

BEHANDLUNGSS- SCHEMATA LBH-REGION

DOSB SPORT PHYSIOTHERAPIE
bodo wisst

BEHANDLUNGSSCHEMATA - BEHANDLUNGSSTRATEGIEN

- TOD ODER LEBENDIG
- LOKAL -> GLOBAL
- URSÄCHLICH – KOMPENSATORISCH
 - PATHOLOGIE / THERAPIE
- MOBILISATION -> STABILISATION -> TRAINING
 - KOORDINATION / AUSDAUER / KRAFT / SCHNELLIGKEIT
- RETURN TO AKTIVITY -> RETURN TO COMPETITION

A large, stylized circle dominates the center of the image. The circle is defined by three concentric arcs. The innermost arc is black, the middle arc is white, and the outermost arc is a gradient transitioning from red at the bottom to yellow at the top. The text is positioned within the white area of the circle.

**INSTABILITÄTEN
DER LBH-REGION**

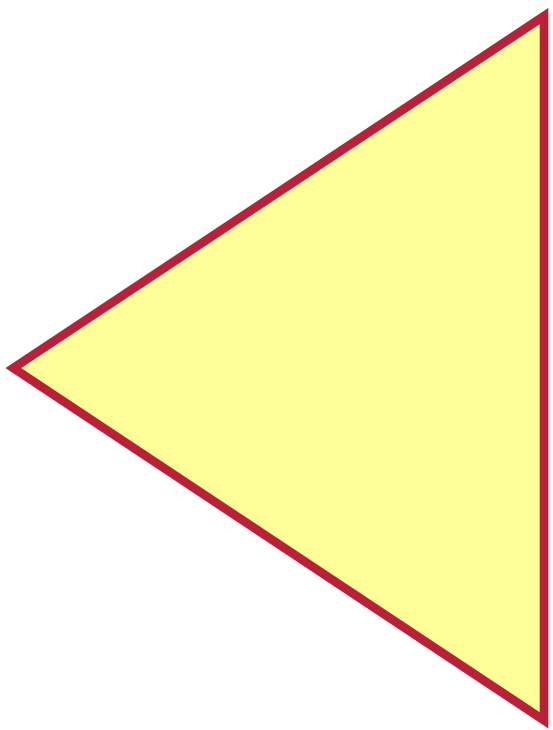


DIE LWS

DOSB SPORT
PHYSIOTHERAPIE
bodo wisst

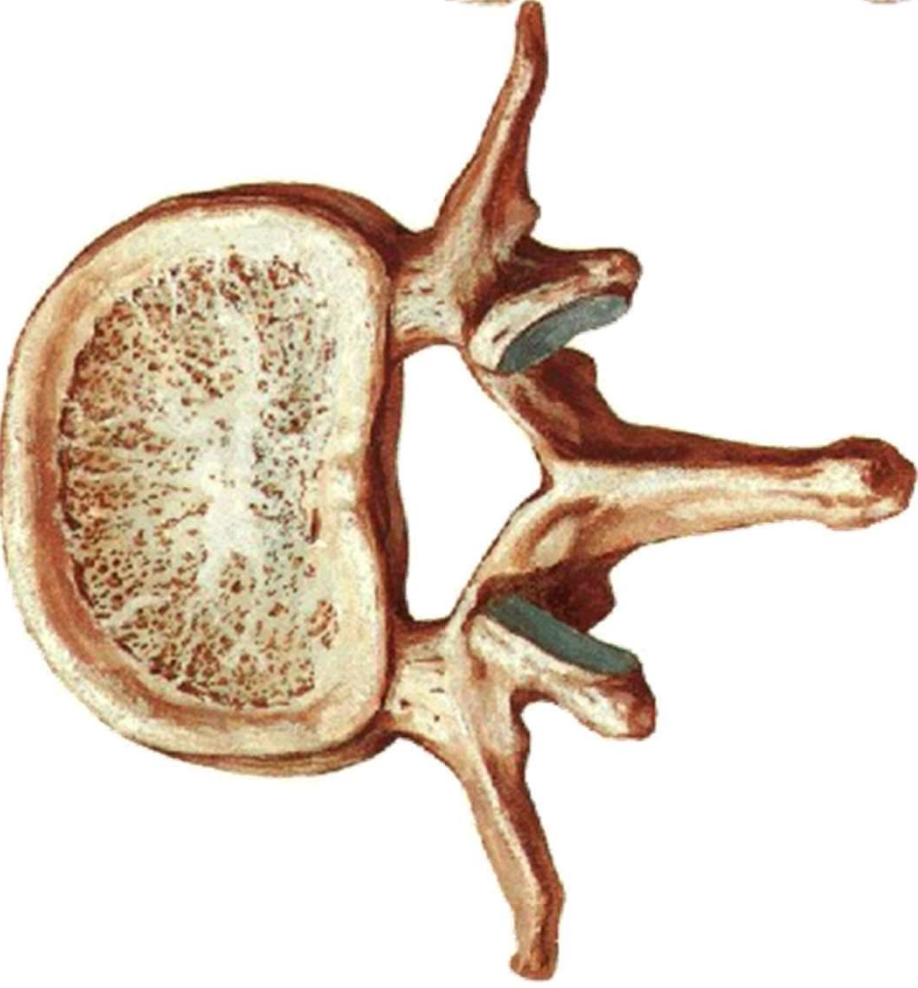
myofasziales system (bewegungsapparat)

neurales
kontrollsystem

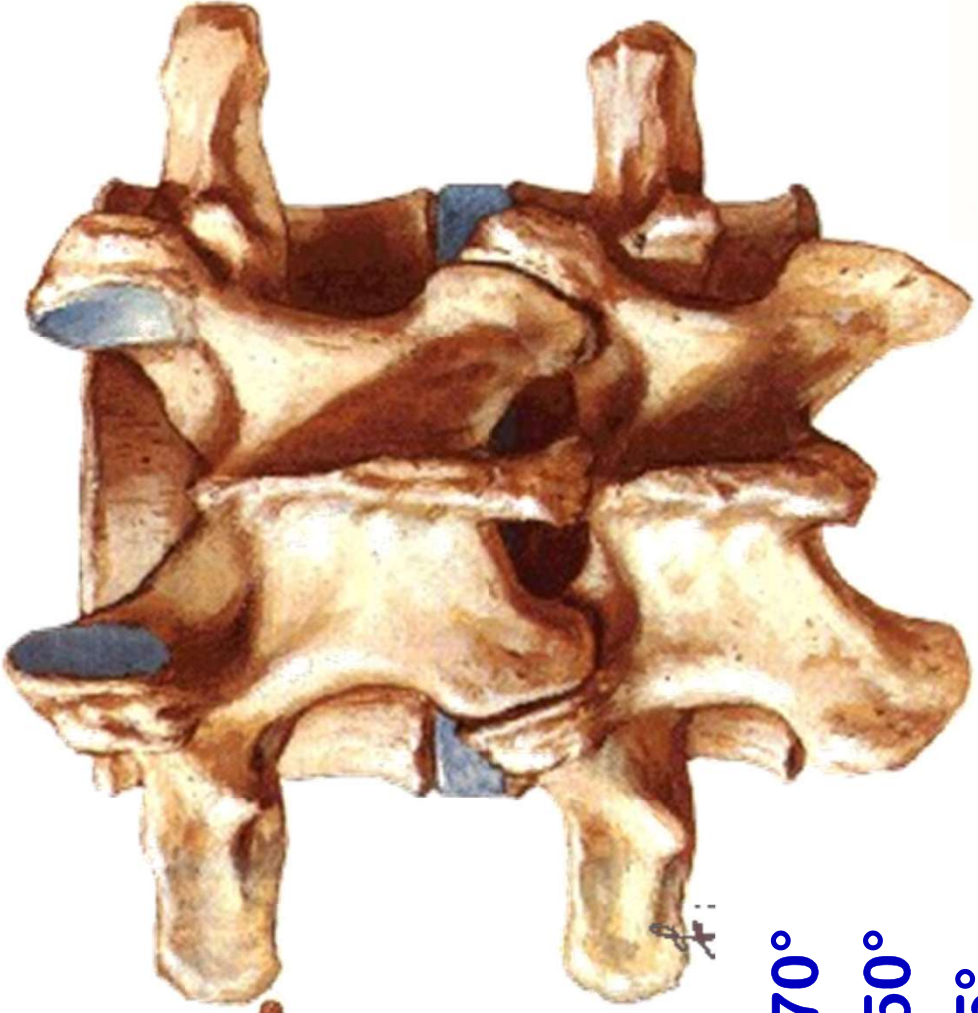


aktives system
passives system

passives system

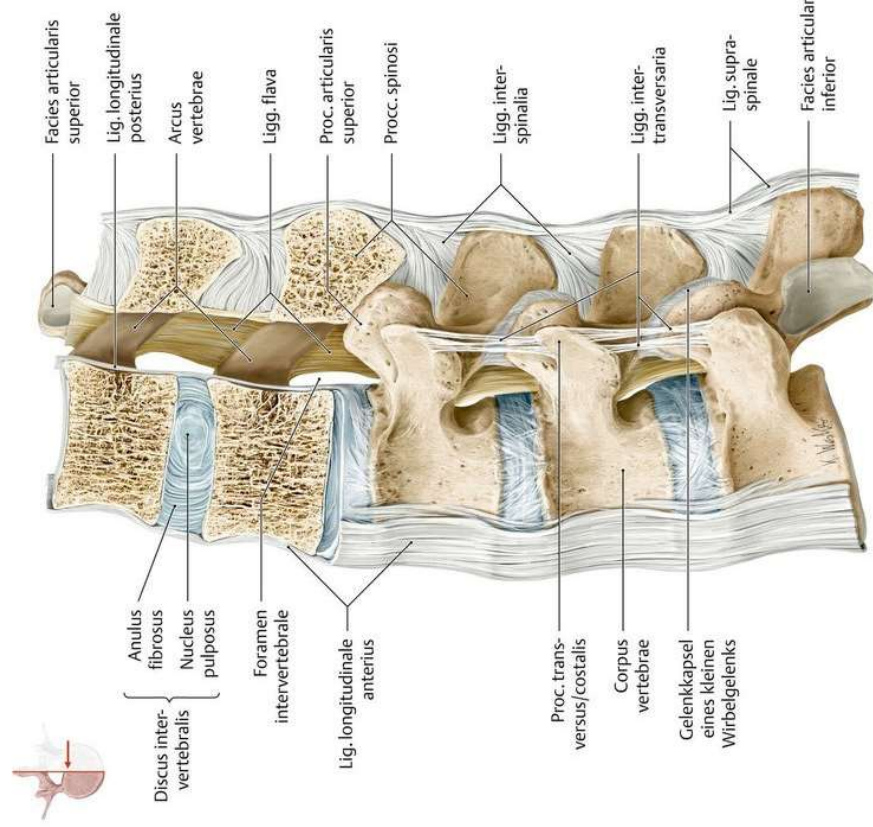
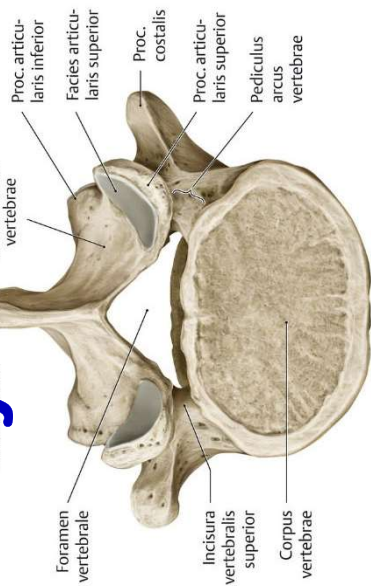


- **facetten:**
 - sagittal
(leicht nach hinten geöffnet)

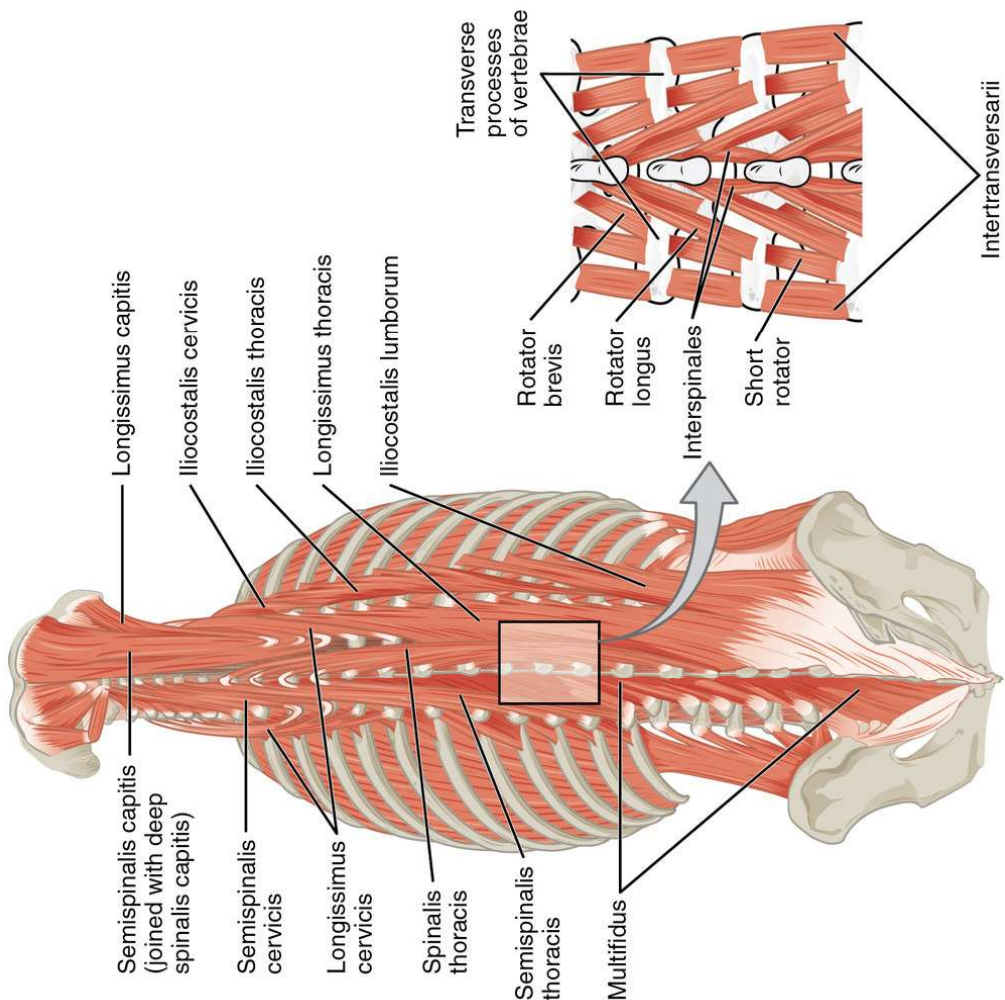


- **bewegungen:**
 - flexion-extension +++ ca. 70°
 - lateralflexion ++ ca. 50°
 - rotation + ca. 5°

passives system



aktives system



Schünke, schulte, schumacher, voll, wesker, hrsg. prometheus lernatlas - allgemeine anatomie und bewegungssystem. 3., überarbeitete und erweiterte Auflage. Thieme; 2011.

FASZIALE ASPEKTE

Manus Fasziopathie ®



Andreas Haas



Lehrberechtigter Heilmasseur
Osteopathie IAO/Upledger/Barral
Fasziopathie Manus
Tuina-Anmo

Gründungsmitglied der Fascia Research Society
Gastdozent Fascia Research Congress, Fascia Summer School, Fascia online summit,
Connect 2021, u.a.
Dissection Member FNPP Fascial Net Plastination Project

Gründer Manus Ausbildungszentrum 1998
Gründer und Leiter Manus Fascia Center 2014
Gründer und Ausbildungsleiter Fasziopathie 2018

<https://vimeo.com/channels/fasziopathie>
<https://www.fascia.center/webinare-fascia.html>

2020-12-01 10:05:10

Fasziologie

die vier faszialen Systeme

	Somatisch	Viszeral	Neurogen	Vegetativ
Kompartiment	Synergistische Muskelgruppe	Organ	Peripherer Nerv	Superfizielles Fasziatom
Raum	Bewegungssegment	Kavität	Plexusäste	Tome eines Segments
Kette	Bewegungslinie	Viszerale Kette	Peripherer Nerv – Plexus – ZNS	Vegetative Projektion
Funktionseinheit	Aktiver/passiver Bewegungsapparat	Viszerales Systeme	Zentrales/ peripheres NS	Sympathikus/ Parasympathikus
System	Bewegungssystem	Organsystem	Somatisches Nervensystem	Vegetatives Nervensystem



Fasziologie – somatische Faszien

- Kompartiment (synergistische Muskelgruppe)
- Kette (Bewegungslinien)
- Raum (Bewegungssegment)
- Funktionseinheit (aktiver/passiver Bewegungsapparat)
- System (Bewegungssystem)



Faszienqualitäten des Bewegungsapparates

Dicke: 1 bis 3 mm
Elastischer Anteil: 1-4%

Dicke: 0,3 bis 0,5 mm
Elastischer Anteil: 7-14%

Dicke: 0,1 bis 0,2 mm
Elastischer Anteil: 5-8%



Aponeurosen

Periost

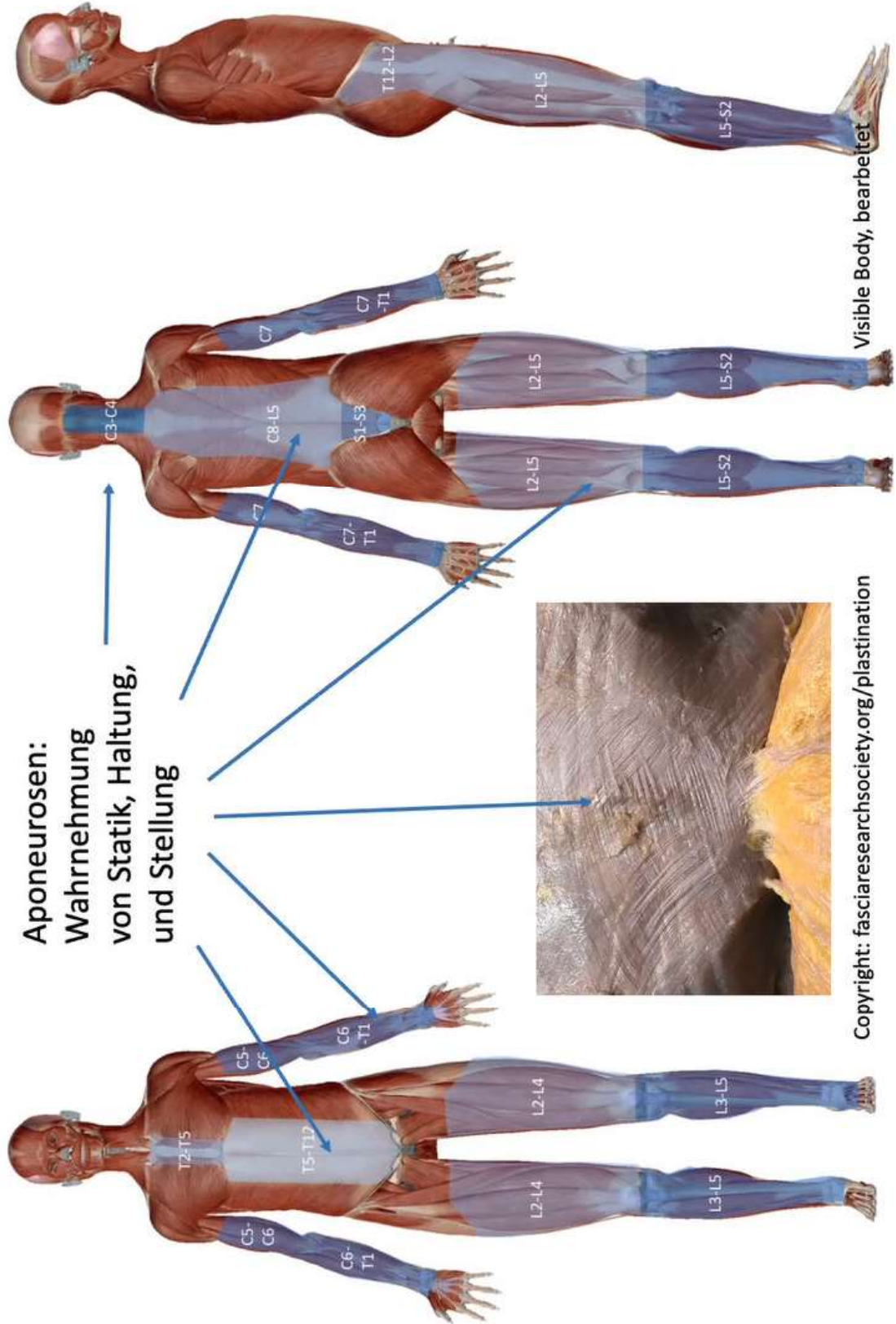
Epimysium

Sehnenplatten

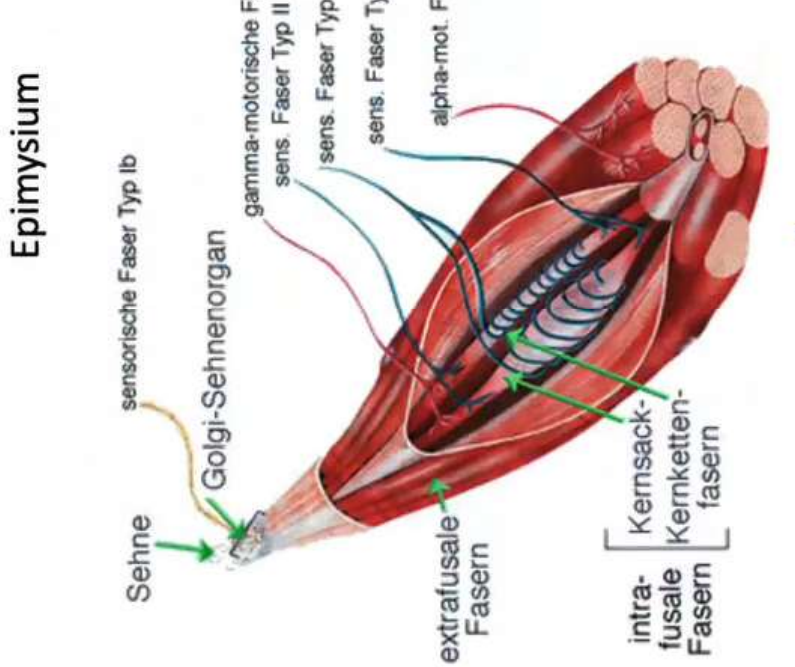
Membrana fibrosa

Epi-, Peri-, Endomysium

Aponeurosen:
Wahrnehmung
von Statik, Haltung,
und Stellung

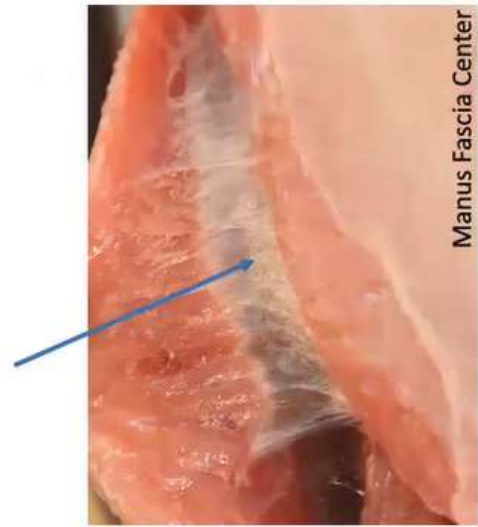


Copyright: fasciaresearchsociety.org/plastination

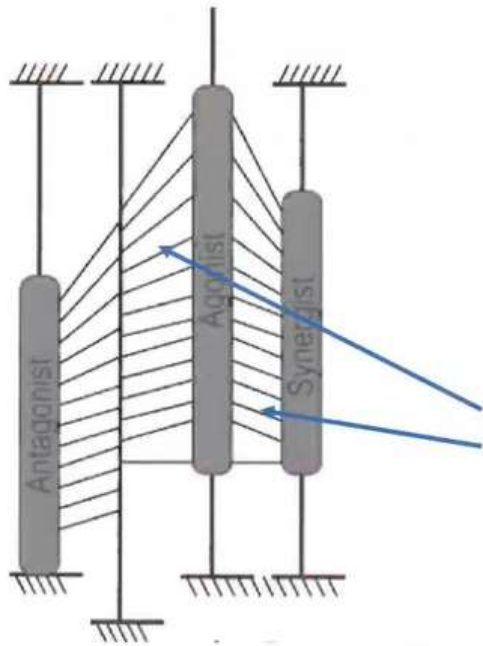


physiologie.cc

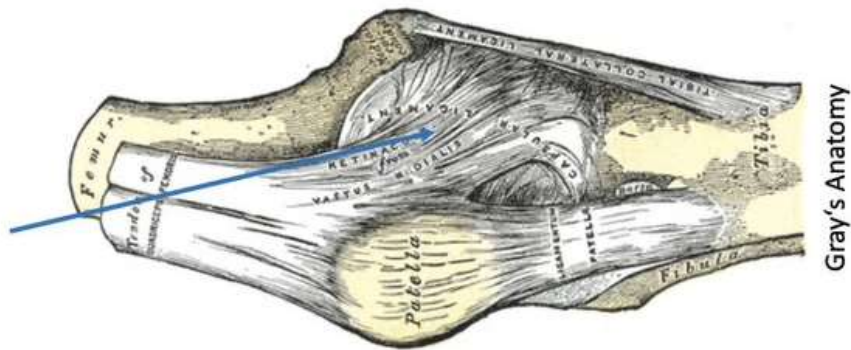
Wahrnehmung singulärer Muskelaktion



Wahrnehmung der Koordination



Fascia fibrosa: Wahrnehmung von Bewegung und
dynamischer Stabilität des passiven Bewegungsapparates



Manus Fascia Center



Copyright: fasciaresearchsociety.org/plastination



Gray's Anatomy

Zusammenfassung Propriozeption

- Epimysium: Dynamik, Mobilität, Koordination
- Aponeurosen: Statik, Stellung, Haltung
- Fibröse Faszien: Stabilität, dynamische Koppelung



Manus Fasziopathie®



Fasziale Qualität	Wahrnehmung	Aufgabe	Dysfunktion	Schmerz
Epimysiale Faszien	Bewegung	Dynamik	Bewegungseinschränkung	Bewegungsschmerz, Aktivitätsschmerz
Aponeurotische Faszien	Position	Statik	Fehlhaltung, Fehlstellung	Stellungsschmerz, Dehnschmerz
Membranöse Faszien	Stabilität	Elastizität	Instabilität Rigidität	Anlaufschmerz, endgradiger Schmerz

Zusammenfassung Propriozeption

- Epimysium: Dynamik, Mobilität, Koordination
- Aponeurosen: Statik, Stellung, Haltung
- Fibrose Faszien: Stabilität, dynamische Koppelung

instabilität:

- **abnormes bewegungsausmaß**
- **abnorme verschiebung**
- **ungleichgewicht zwischen der erwarteten und tatsächlichen bewegungsgeschwindigkeit !
(neurophysiologie)**

bogduk, 2000

instabilität:

,die Veränderungen in der Bewegung treten für ein propriozeptives Feedback zu schnell auf, um auf einem reflektorischen Weg korrigiert werden zu können.“

notfall !! → globaler hypertonus

bogduk, 2000

funktionelle Therapie:

Stabilisierung

über die

lokalen Stabilisatoren

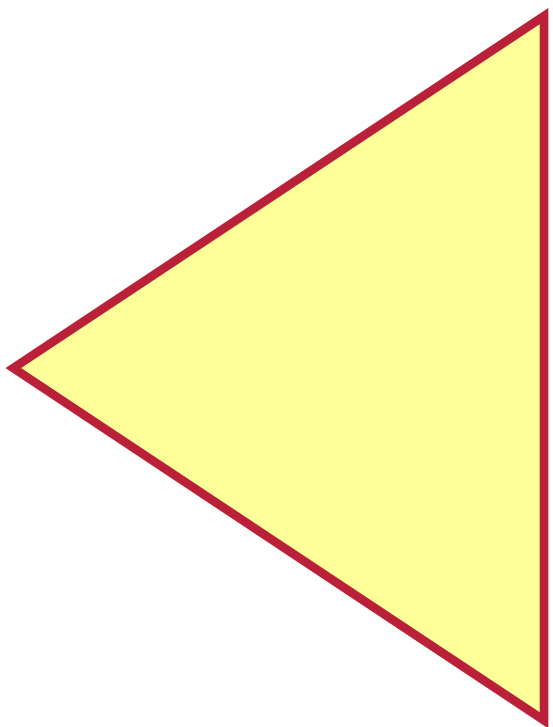
merke!

- **mobilisation**
- vor
- **stabilisation**

myofasziales system

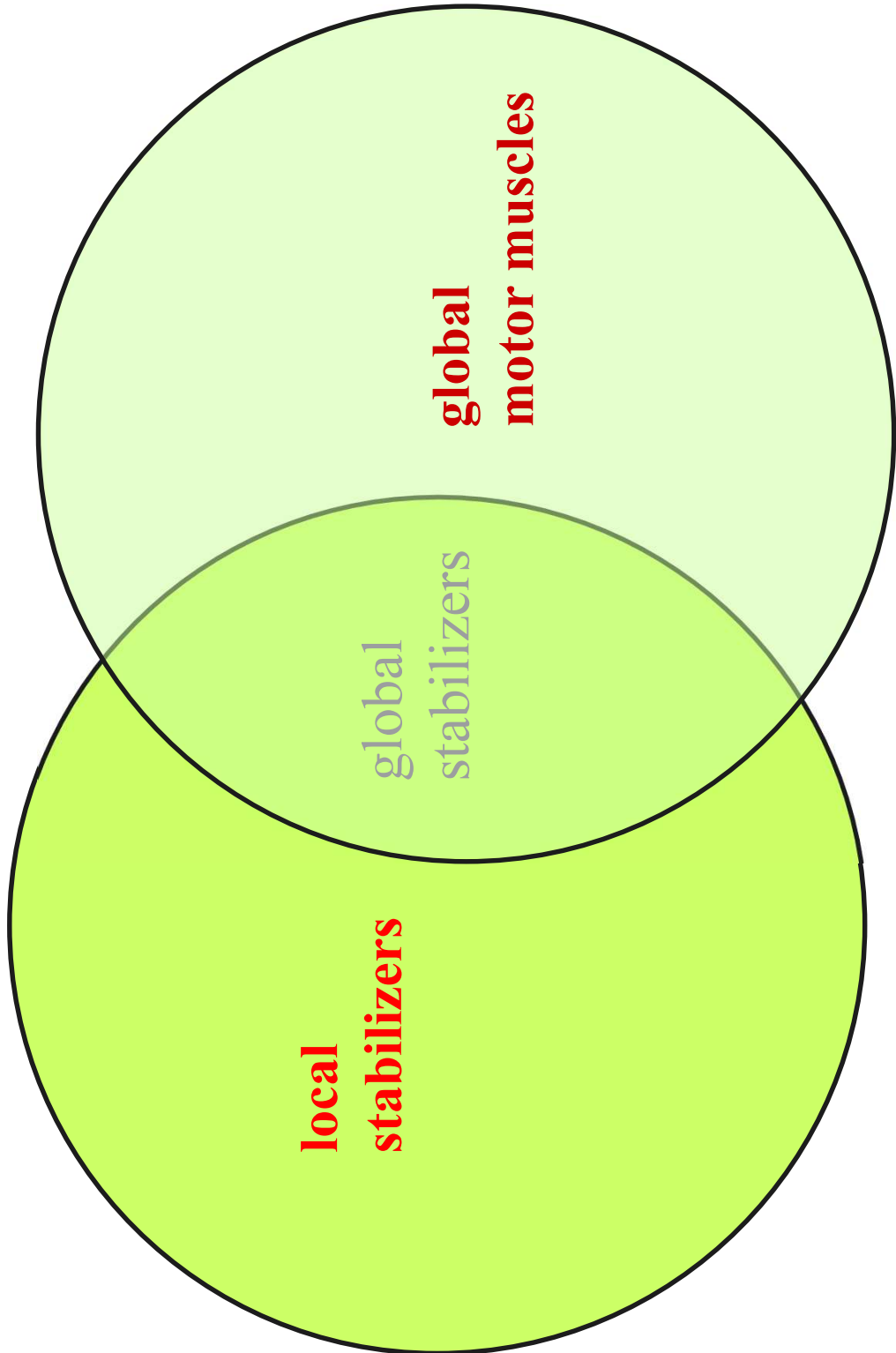
(bewegungsapparat)

neurales
kontrollsystem

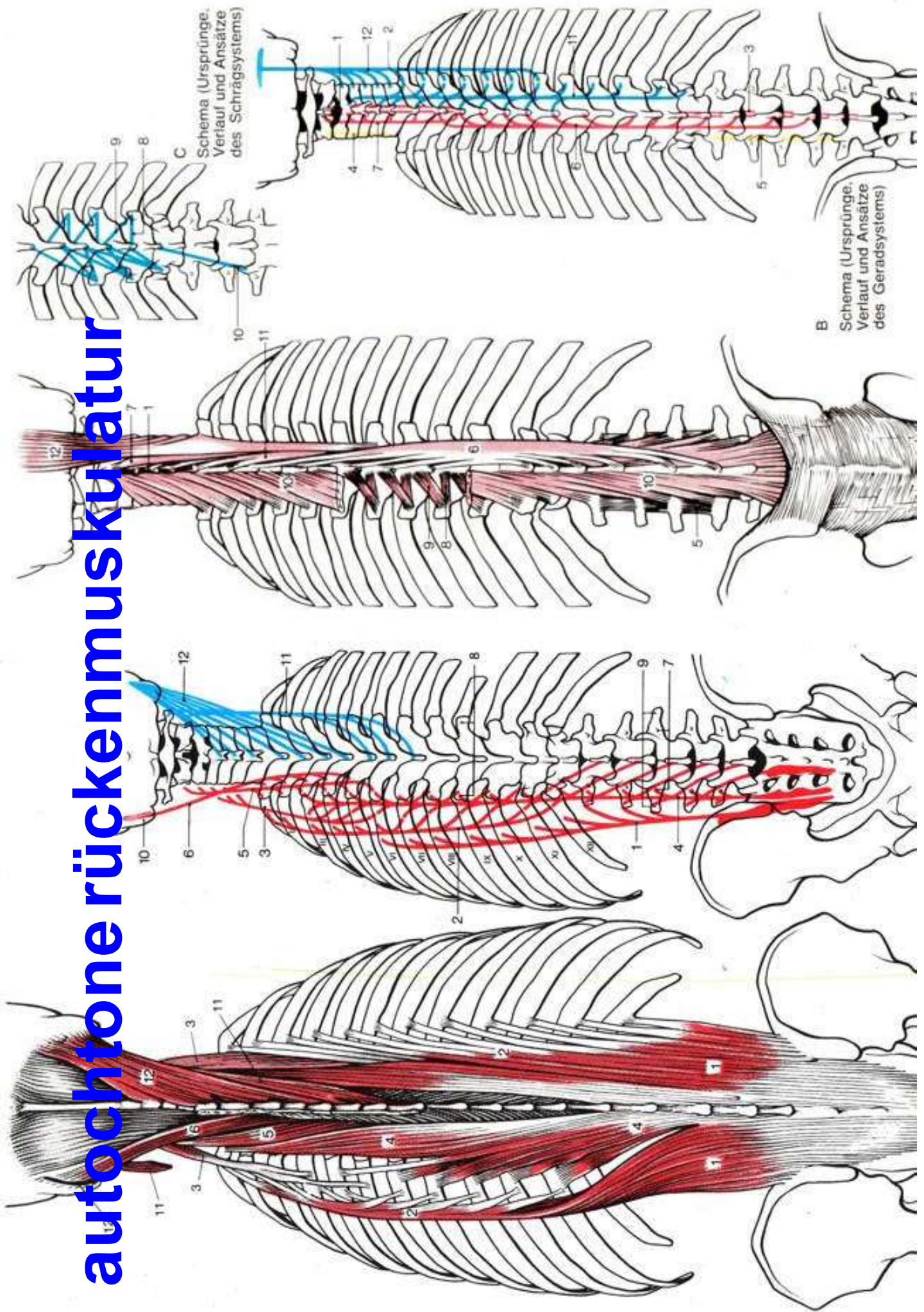


aktives system
passives system

das aktive System



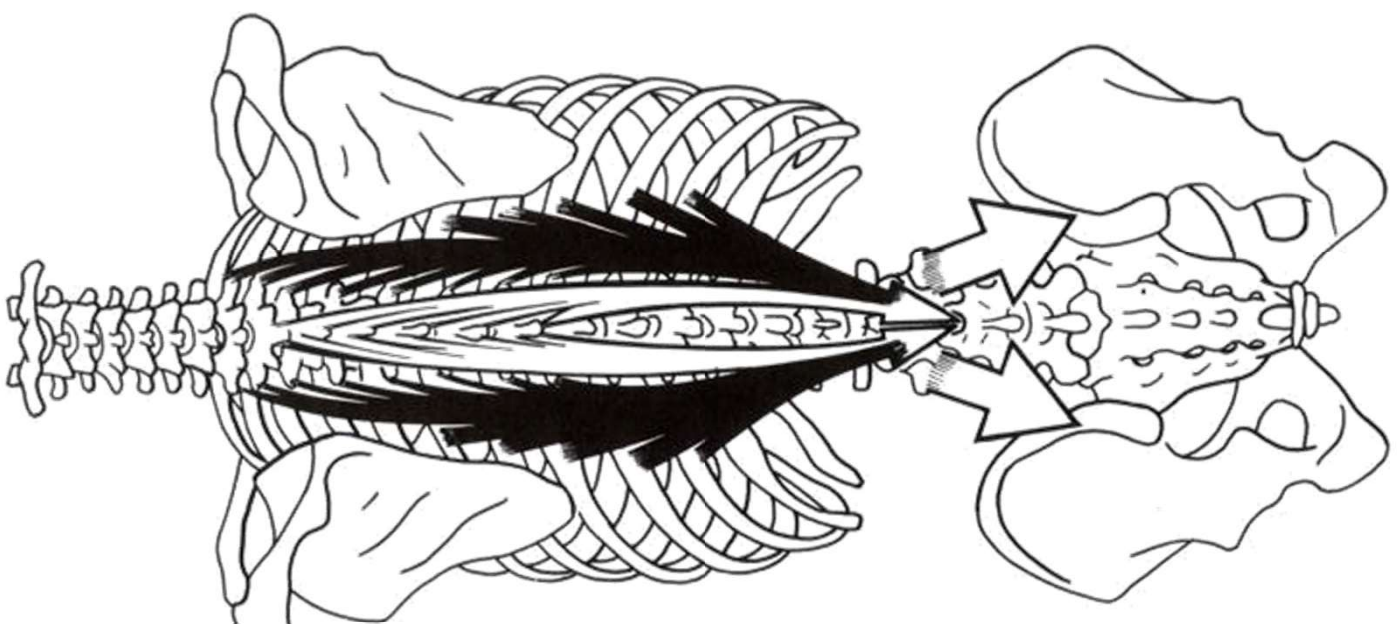
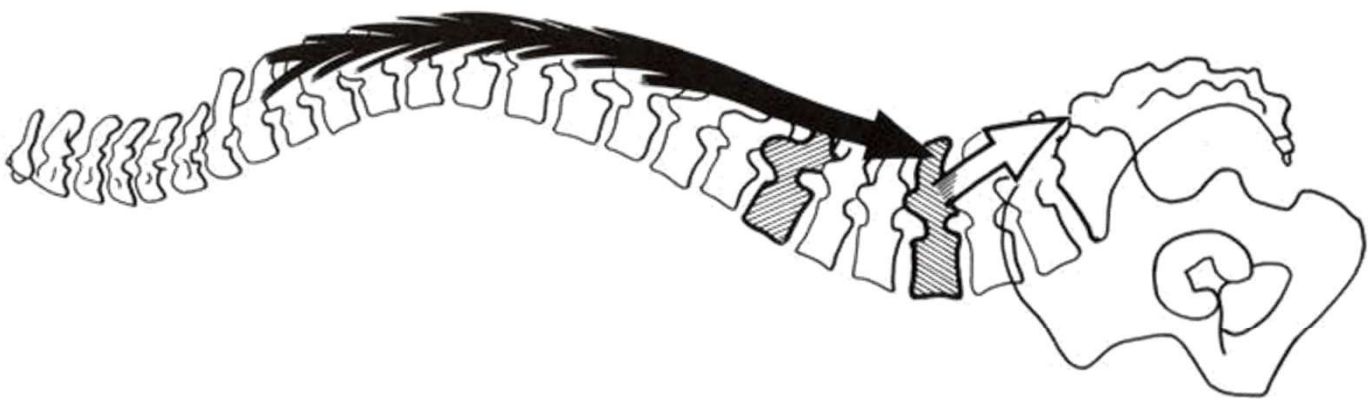
autochthone rückenmuskulatur

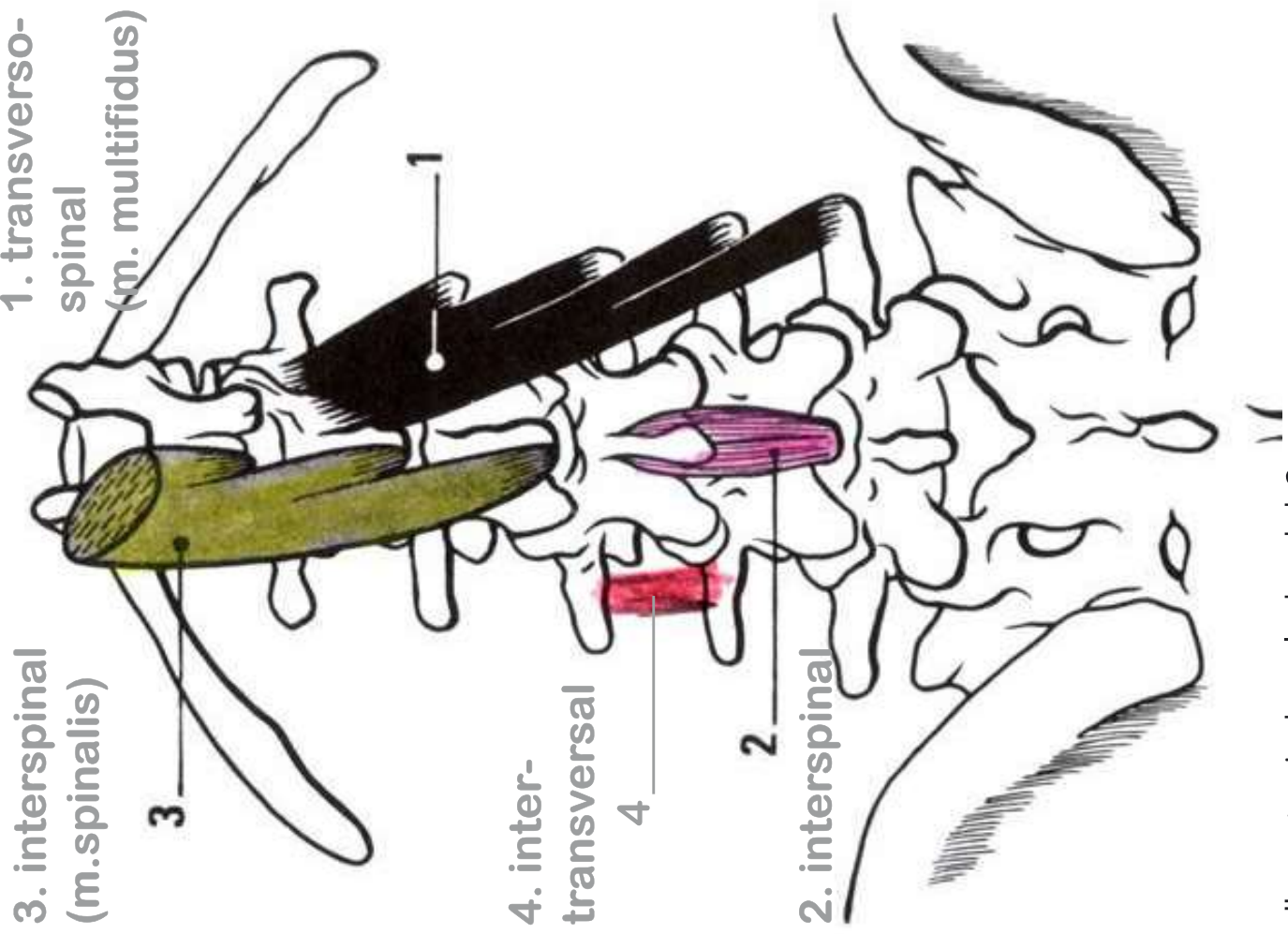


- **lateraler trakt**

überspannt mehrere wirbelsäulenab- schnitte

- **haltung**
- **bewegung**

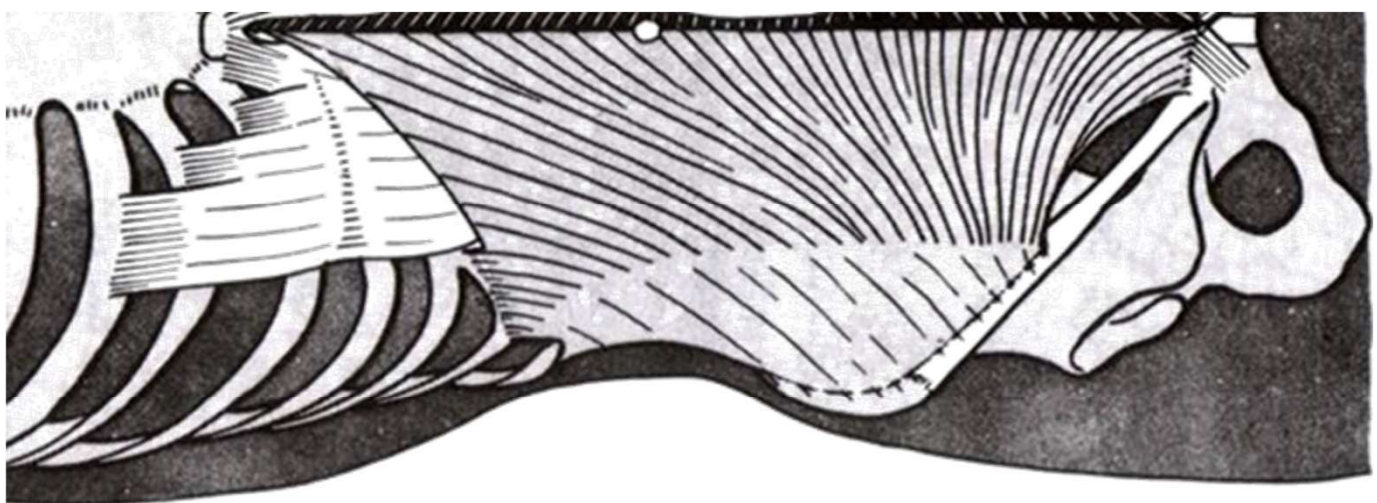
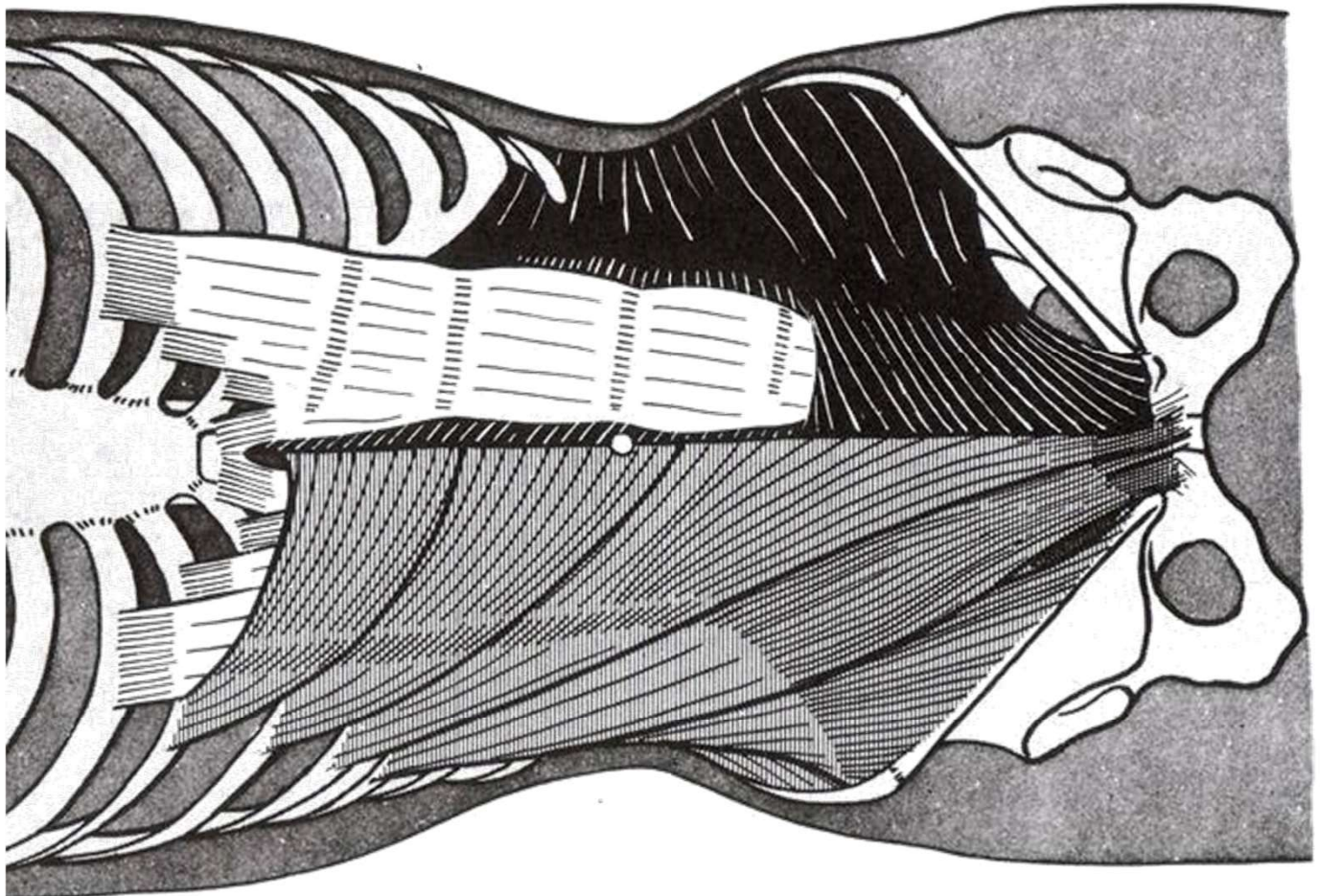




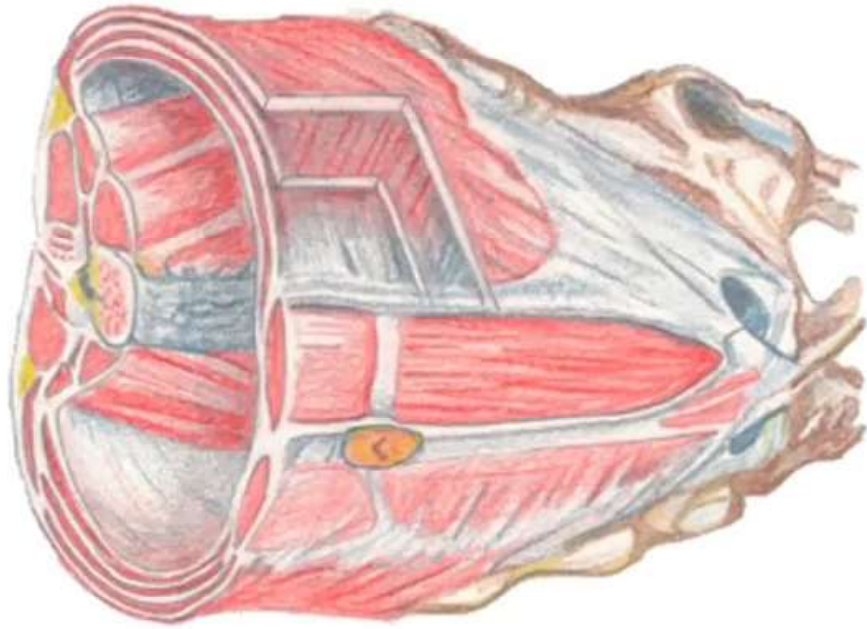
- **medialer trakt**
- (schräg-(1) und geradsystem (2-4))

**überspannen ein oder
mehrere wirbel-
säulensegmente**

- **gelenkstabilisation**
- **bewegungsführung**
- **rotationbewegungen**



Anatomie der Fascia profunda



Drei Faszienblätter des aktiven Bewegungsapparates

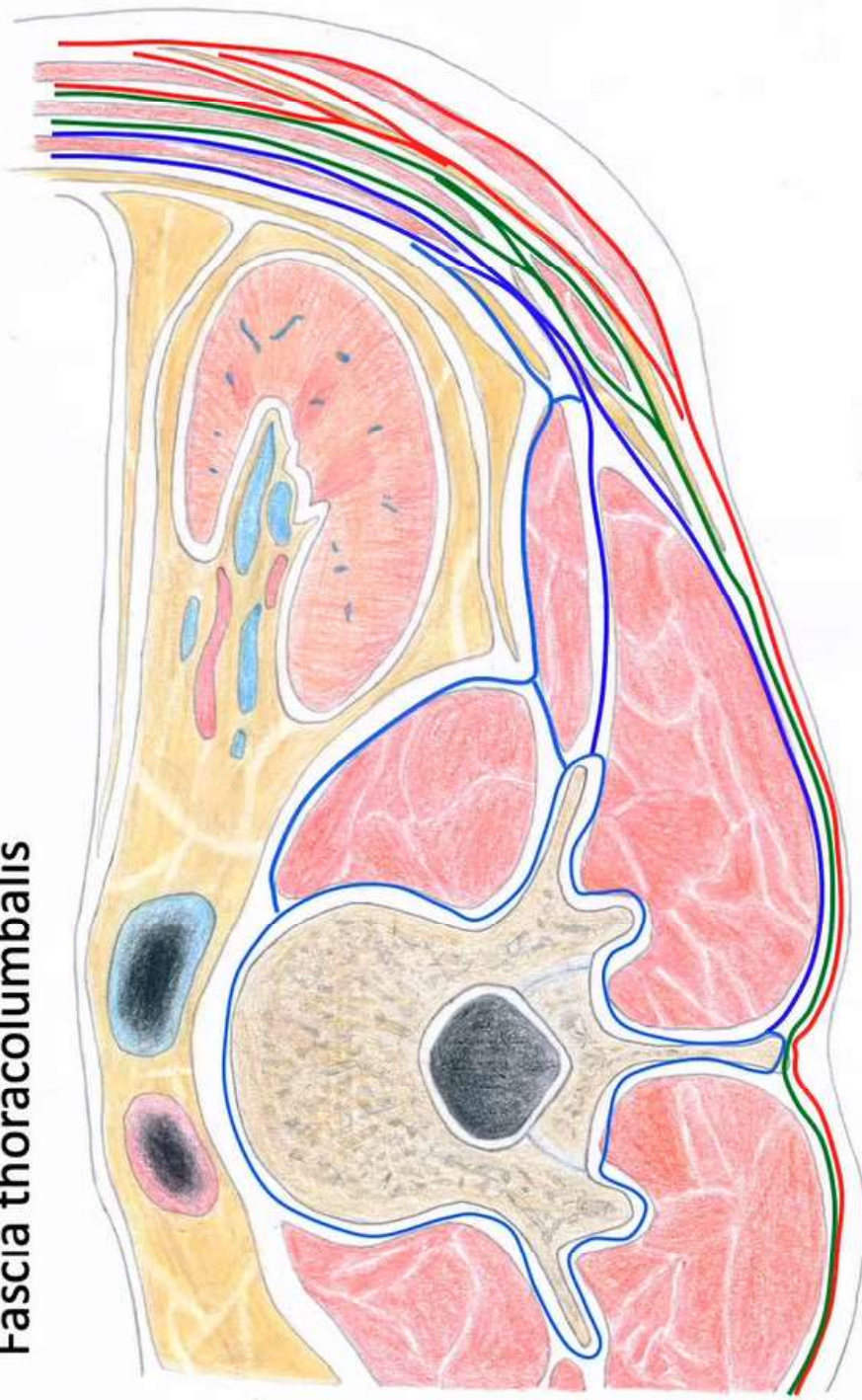
- Lamina superficialis
- Lamina media
- Lamina profunda

Faszienblatt des passiven Bewegungsapparates

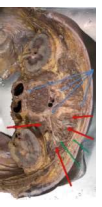
- Lamina alta

© Manus Fascia Center

Fascia thoracolumbalis



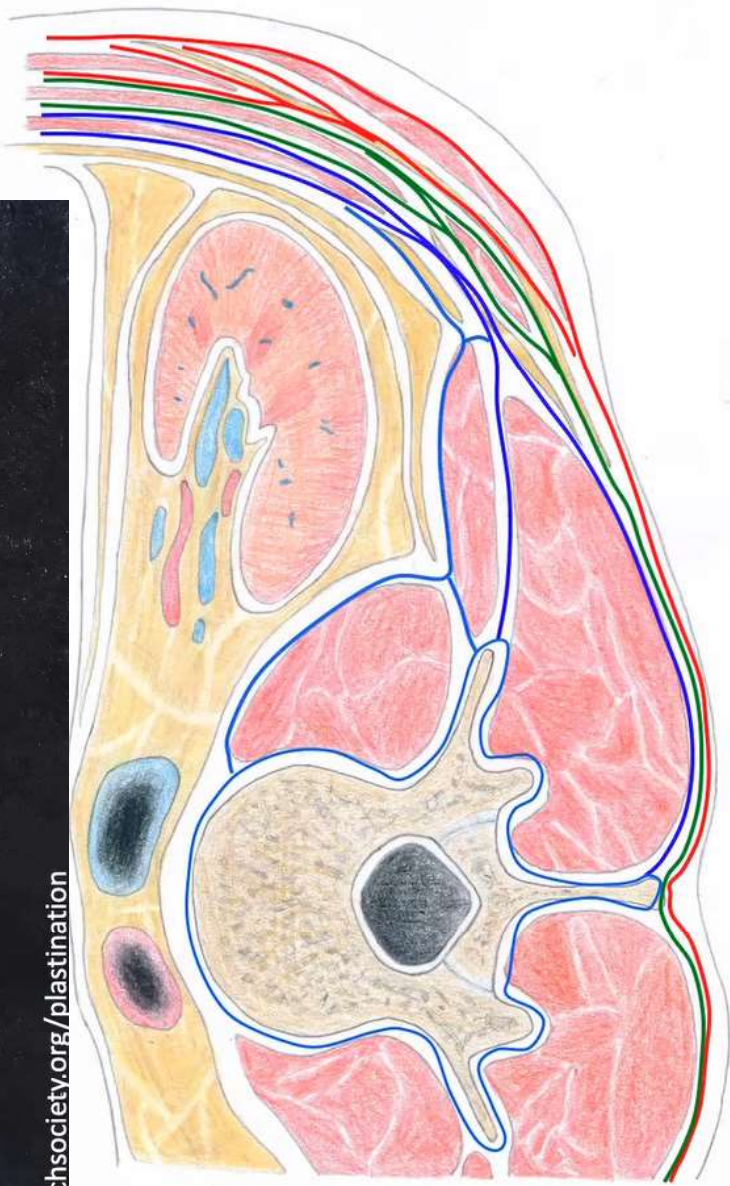
© Manus Fascia Center





manus
FASCIA CENTER

fasciaresearchsociety.org/plastination



webinar, manus faszia center, andreas haas, 01.12.2020

© Manus Fascia Center

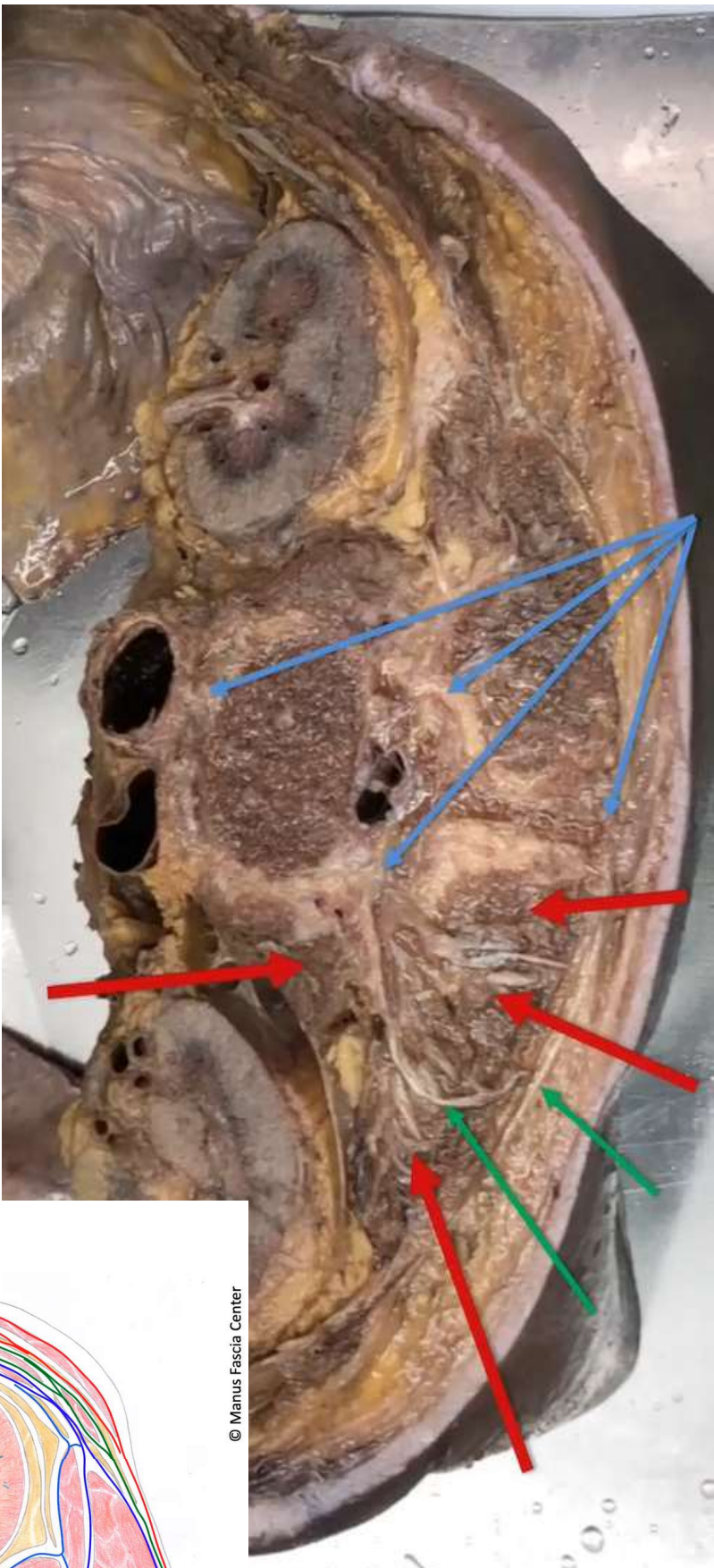


DOSB SPORT
PHYSIOTHERAPIE
body wrist

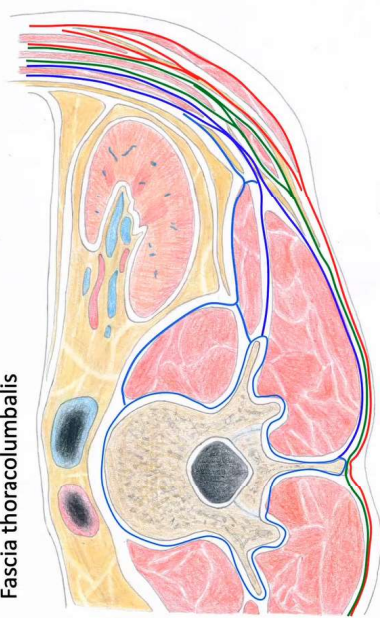


membranös
stabilität
kapsel-band

aponeurotisch epimysial
haltung bewegung
septen muskulatur

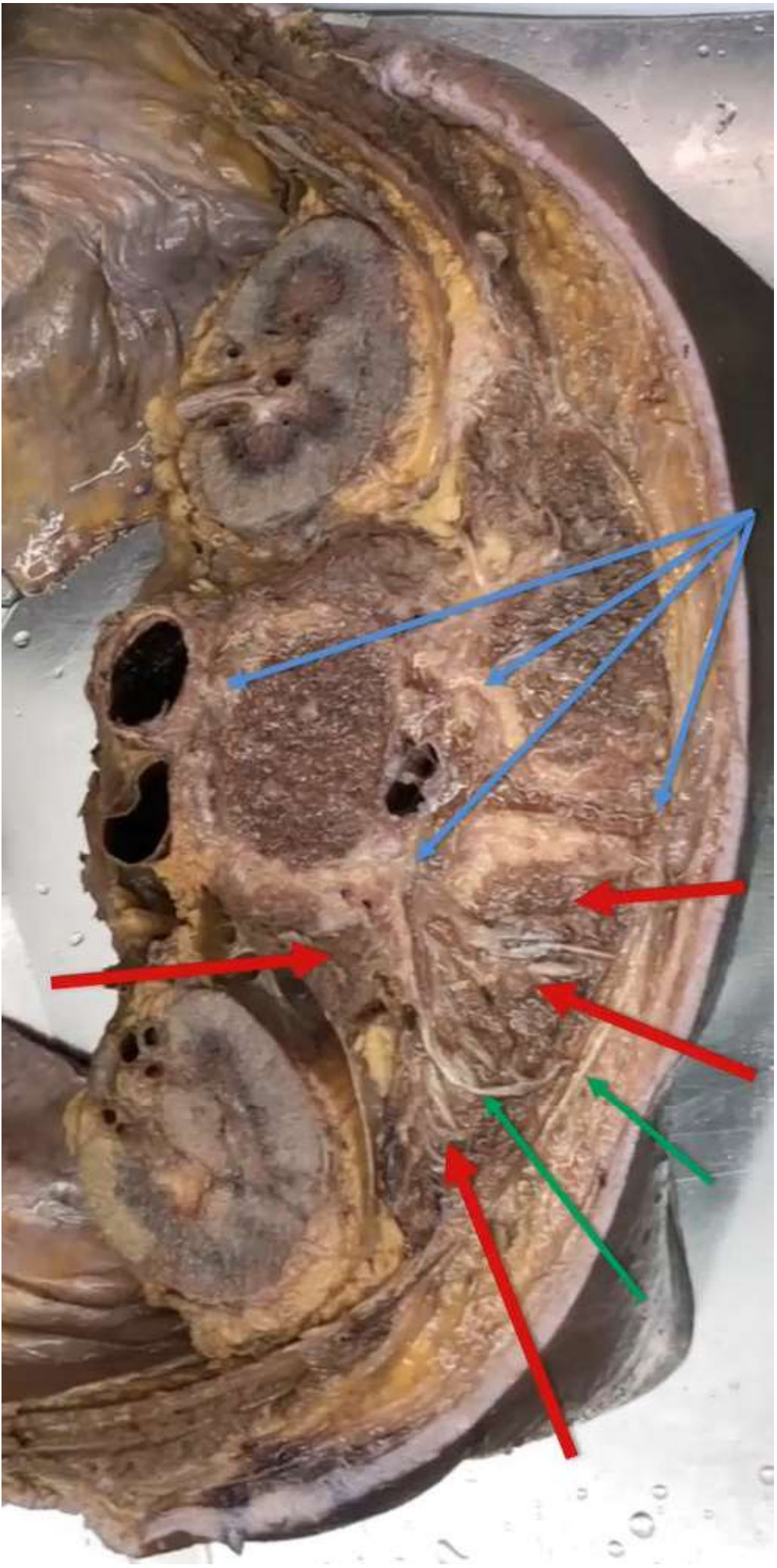


© Manus Fascia Center

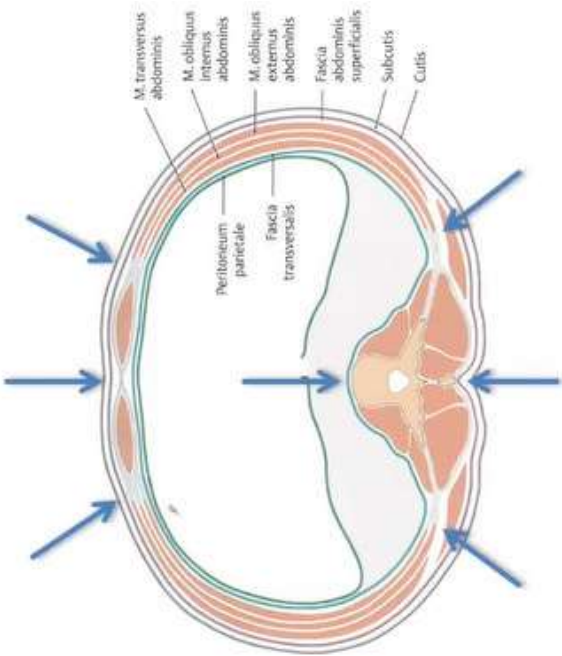


Manus Faszienpathie®

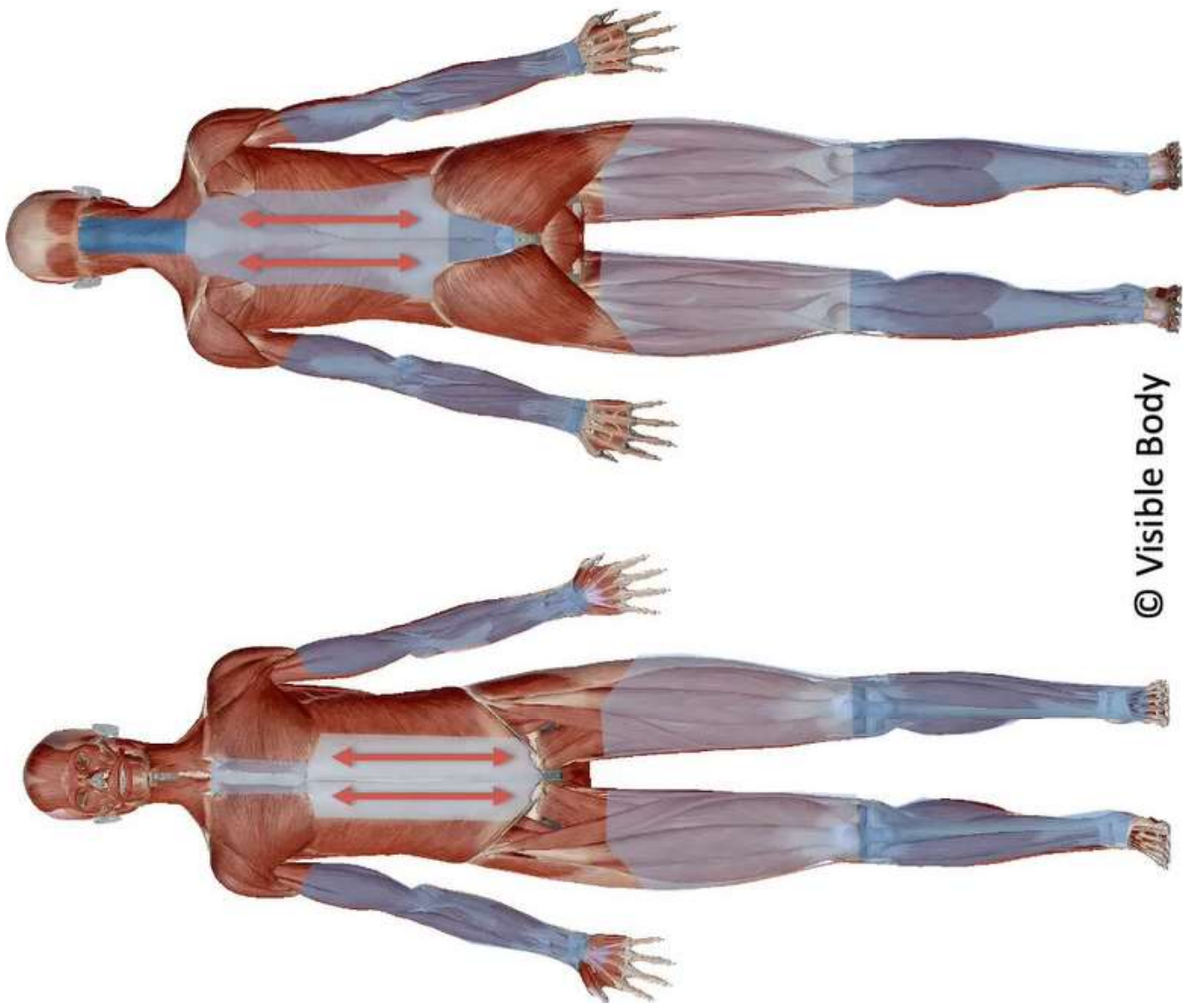
Fascia thoracolumbalis



aponeurotisch
haltung
septen
epimysial
bewegung
muskulatur
menbranös
stabilität
kapsel-band

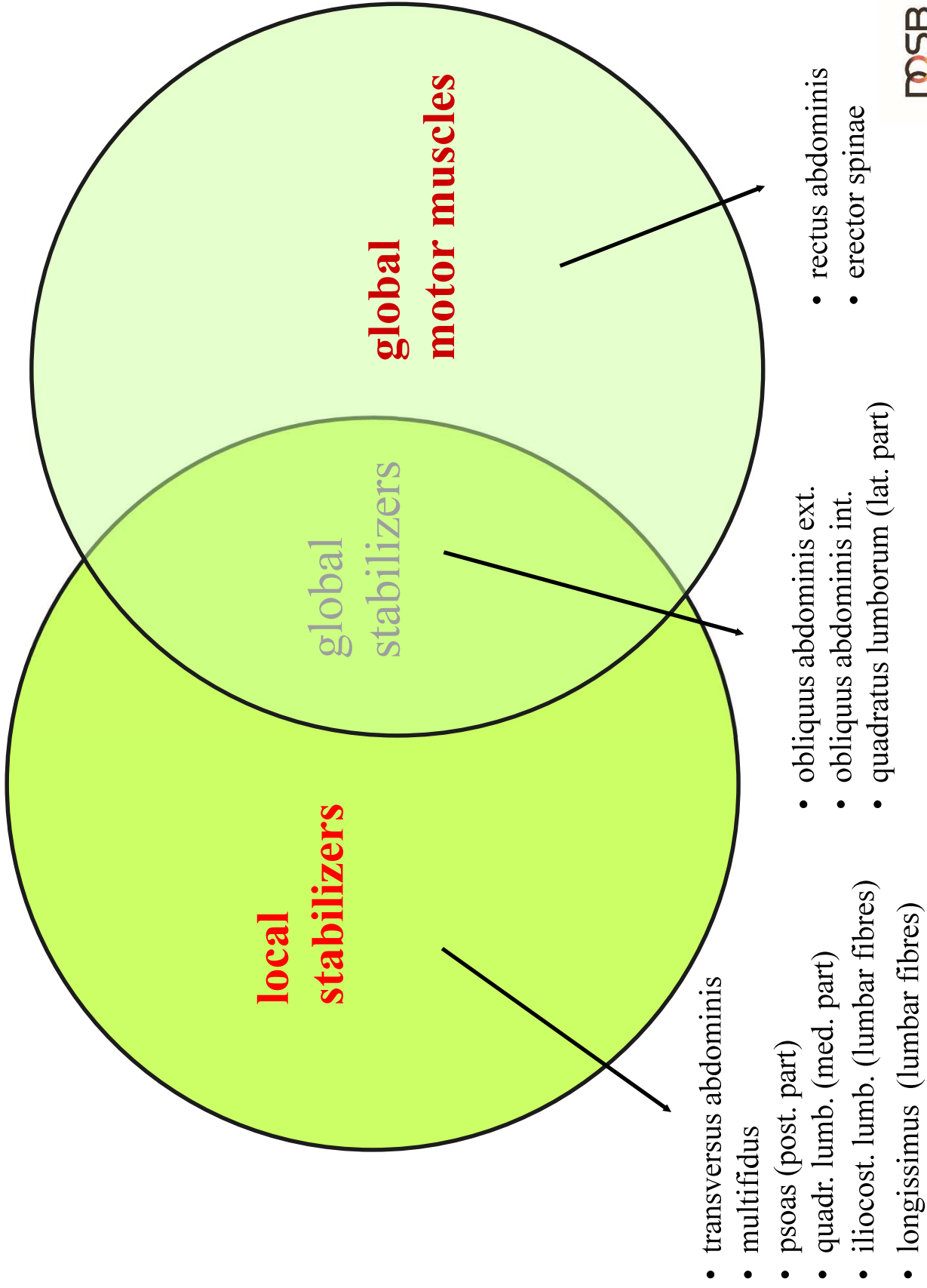


Aponeurosen
gebildet aus den
3 Laminae der
Fascia profunda

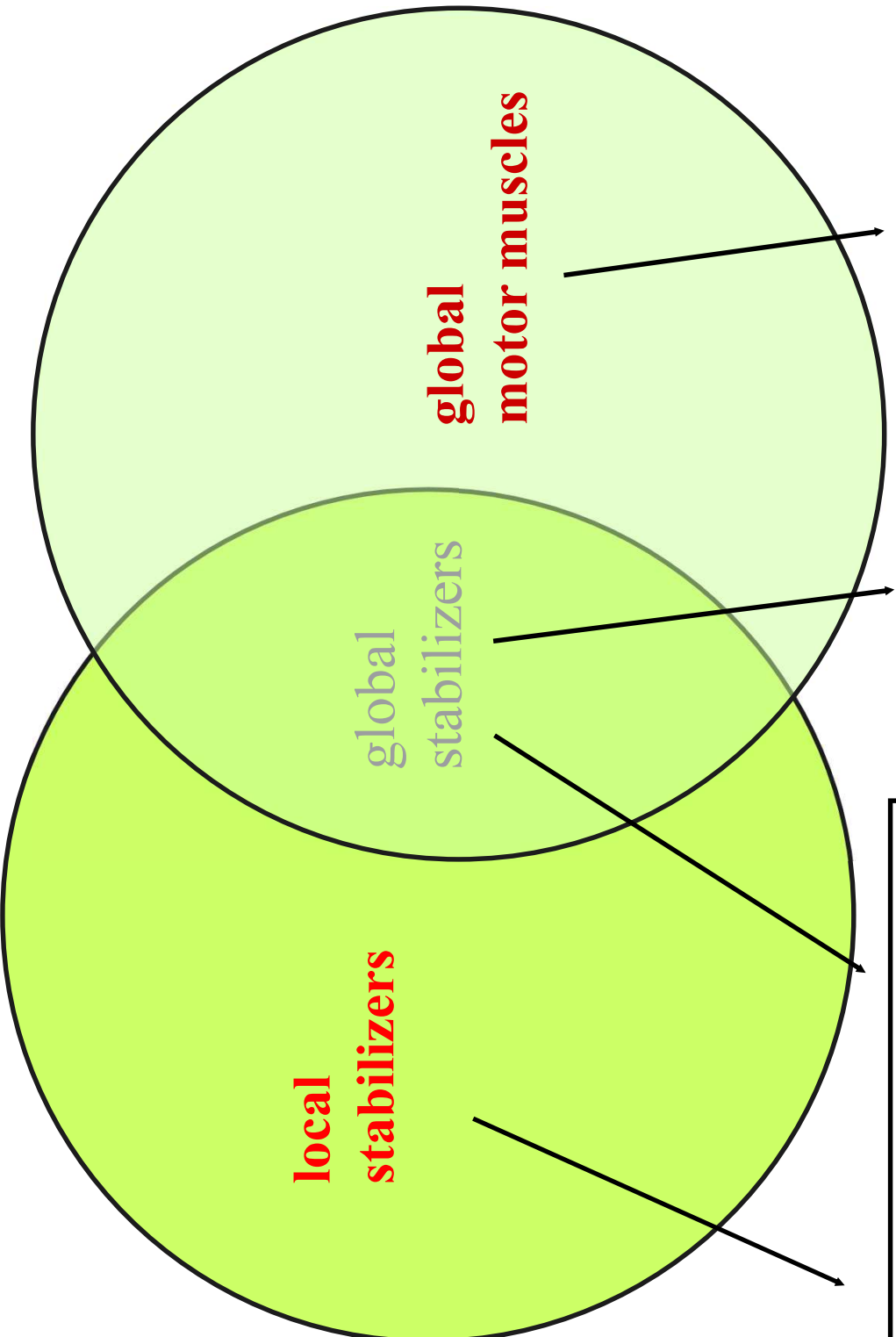


© Visible Body

lumbales stabilisations- und bewegungssystem



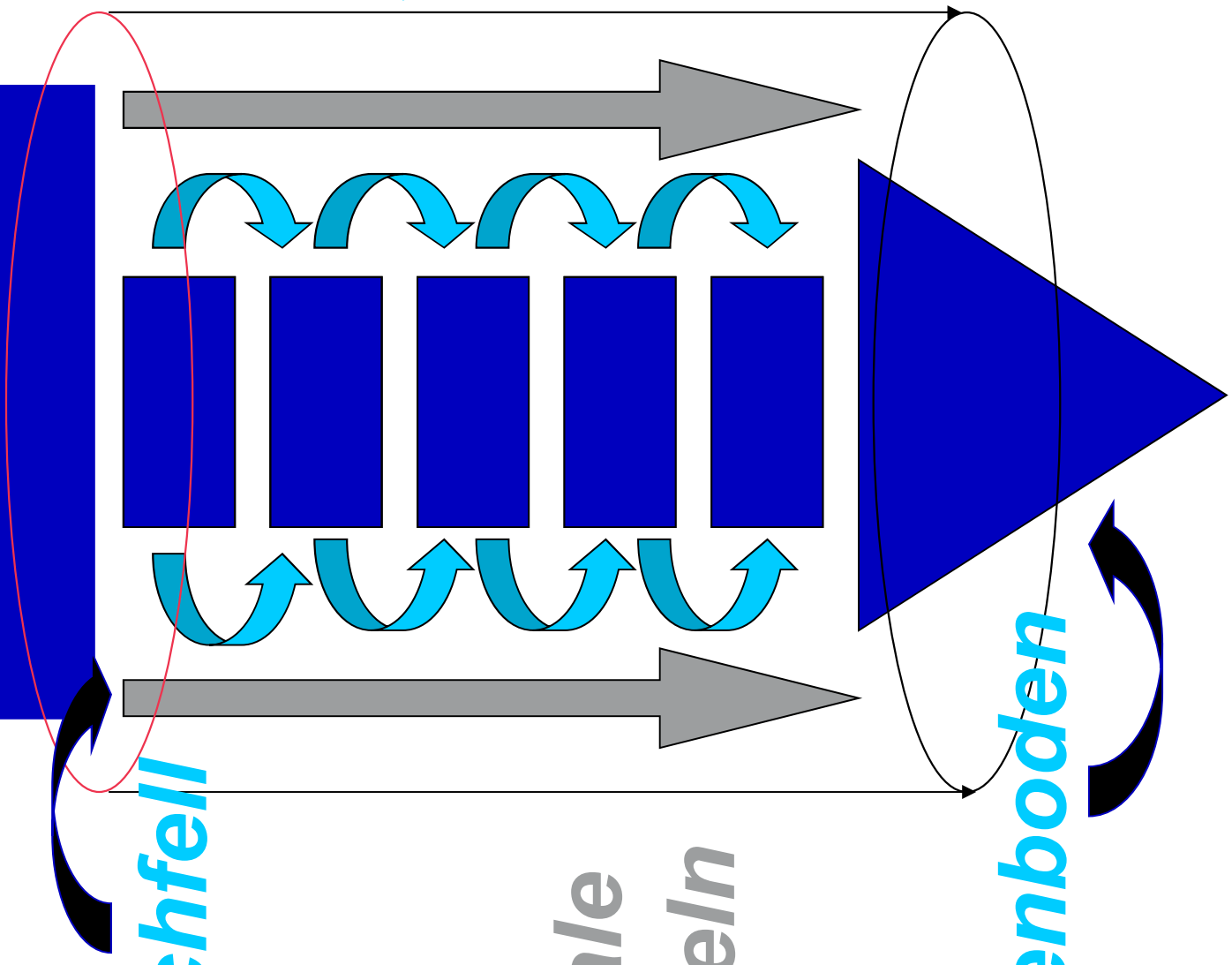
lumbales stabilisations- und bewegungssystem



- tonische motoneurone / < mf typ I aktivität
- lokale aerobe statische ausdauer bzw.
- sensomotorisches training (< 25% mvc)

- phasische motoneurone / < mf typ II aktivität
- globales dynamisches krafttraining (> 40% mvc)

lumbale Stabilisation

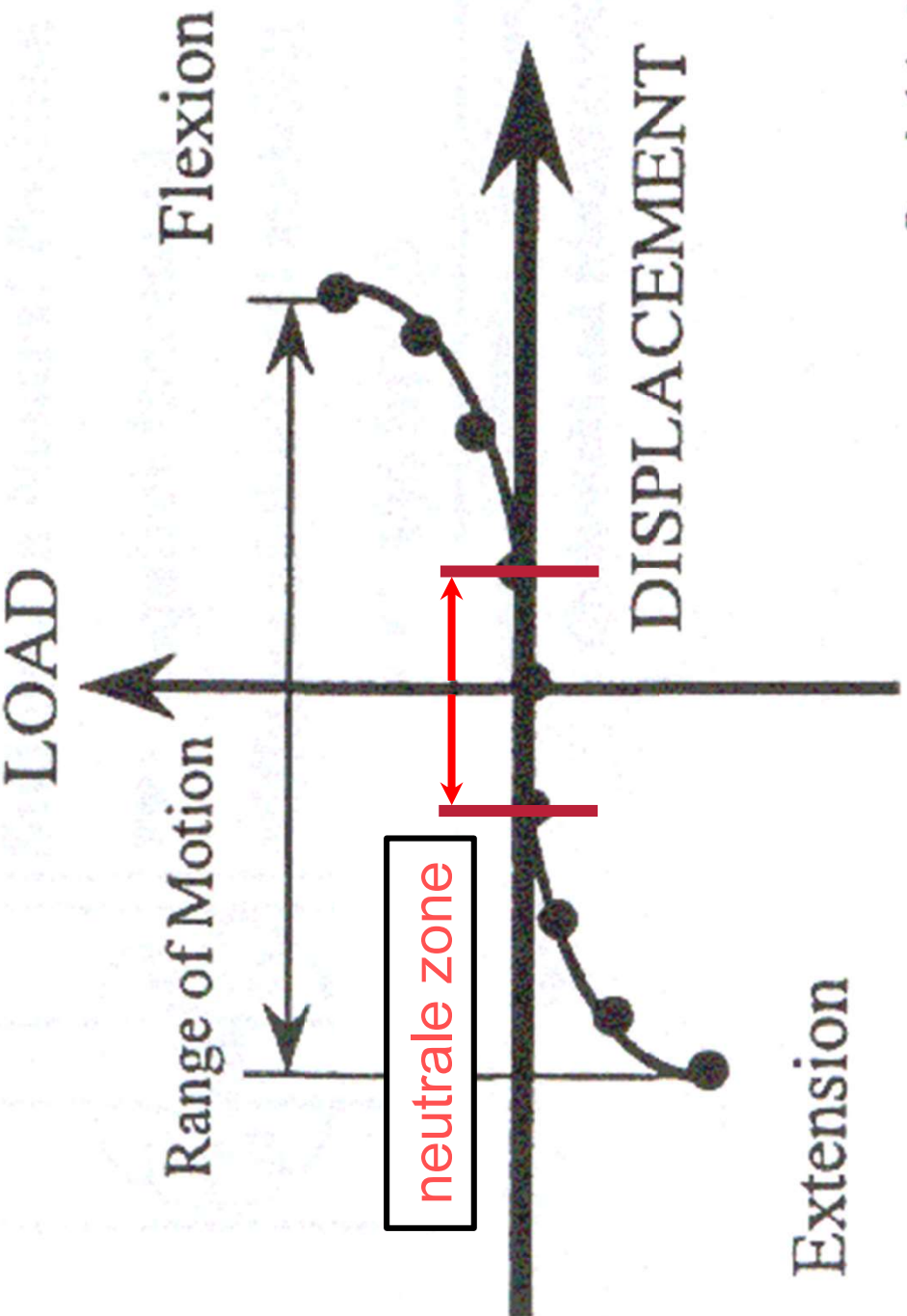


**lokale
Stabilisatoren**

**globale
Muskeln**

beckenboden

lumbale stabilisation



Panjabi, 1994

neutrale zone

lumbale stabilisation

der multifidus ist

**für mehr als 2/3 der Stabilität
in der “neutralen zone”**

des segmentes I4-5

verantwortlich

wilke et al, 1995

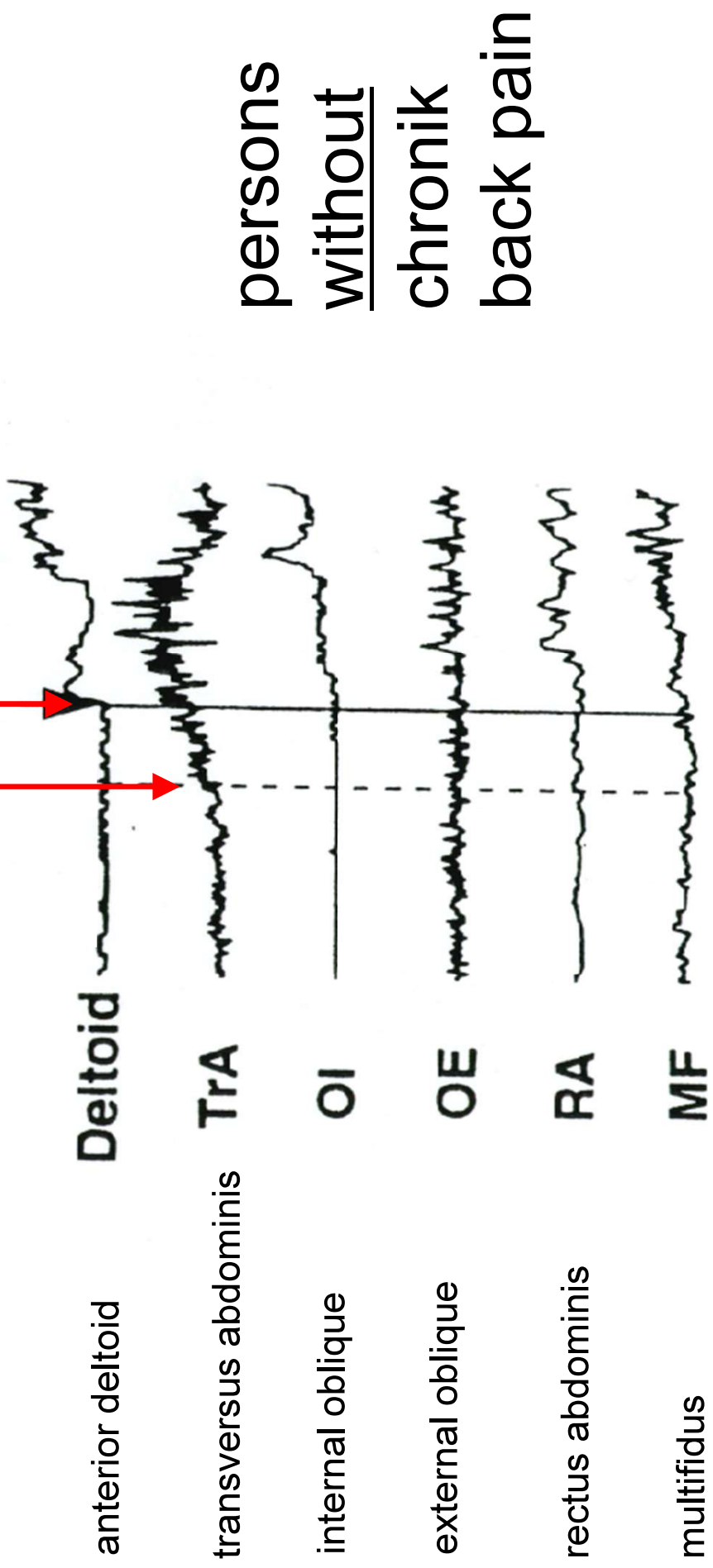
lumbale stabilisation

- der transversus abdominis kontrahiert bei**
- allen schnellen bewegungen des rumpfes**
- er kontrahiert, bevor die “globalen beweger”**
- des rumpfes aktiv werden**

cresswell et al, 1994

lumbale stabilisation

onset deltoideus
onset TrA



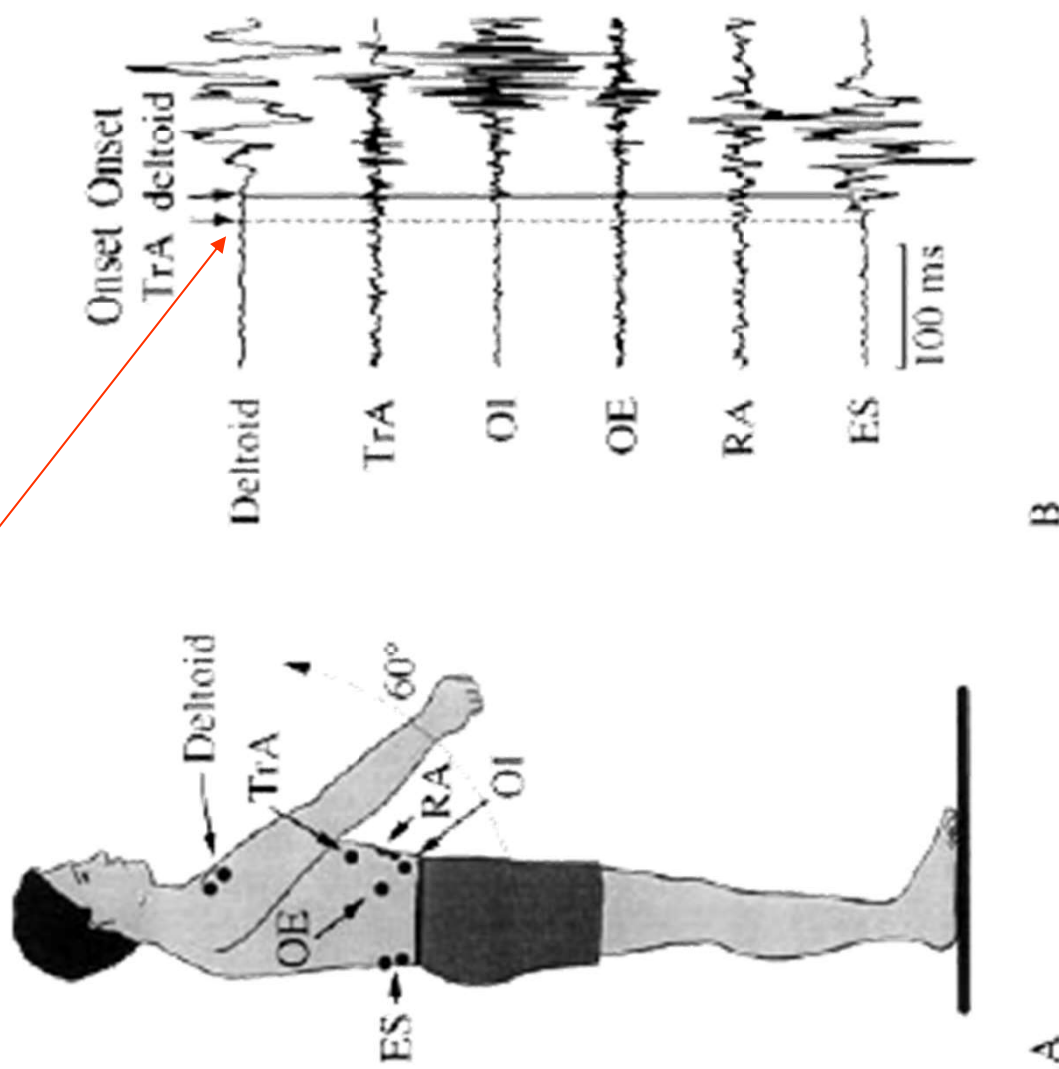
shoulder flexion

kirkesola 2001

lumbale stabilisation

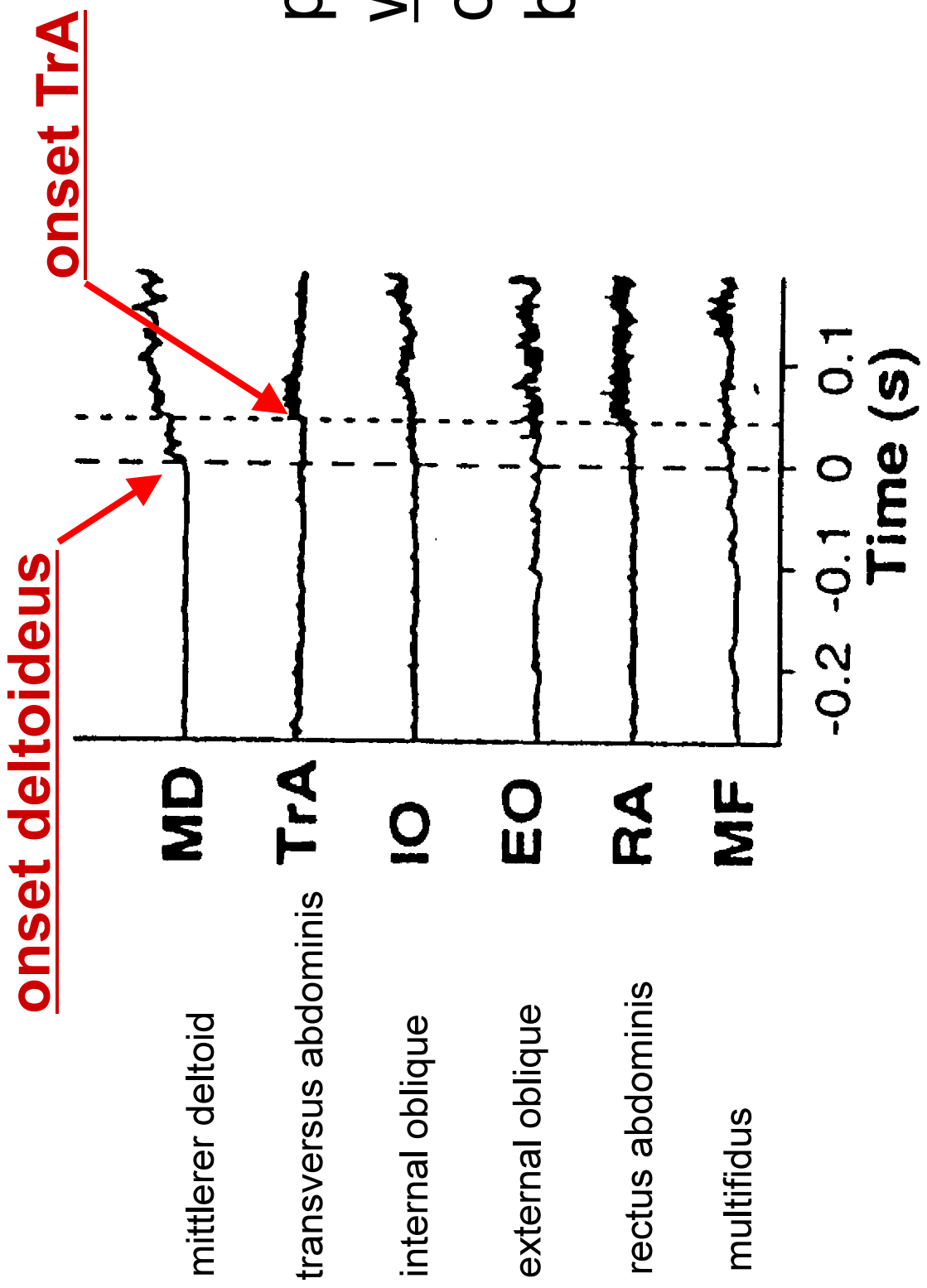
feedforward

**richtungsun-
abhängig**



hodges, is there a role for transversus abdominis in lumbopelvic stability.
man therapy vol.4, nr.2 1999

lumbale stabilisation



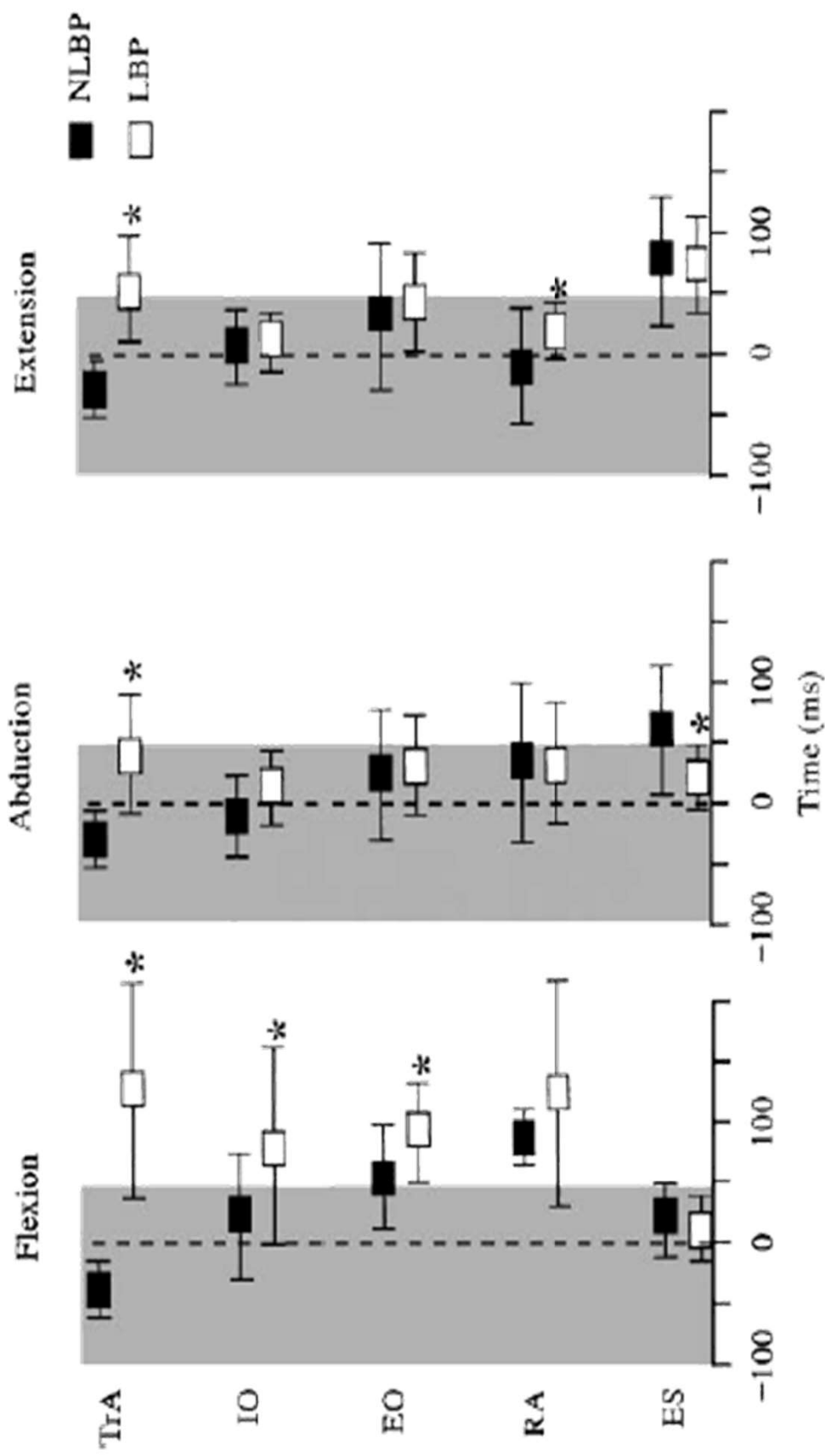
shoulder abduktion

kirkesola 2001

lumbale stabilisation

der m. transversus abdominis bei dysfunktion

NLBP → no lowbackpain / LBP → chron. lws-beschwerden

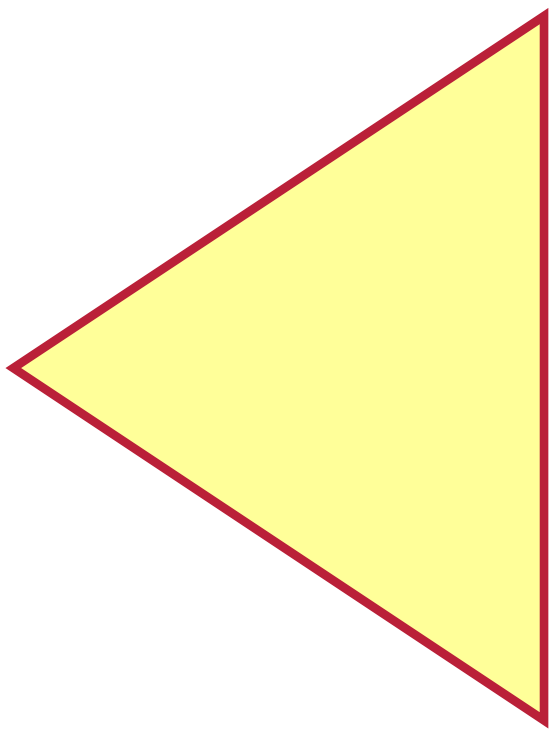


hodges, is there a role for transversus abdominis in lumbopelvic stability.
man therapy vol.4, nr.2 1999

myofasziales system

(bewegungsapparat)

neurales
kontrollsystem



aktives system
passives system

neurales kontrollsyste

,internal model of body dynamics“

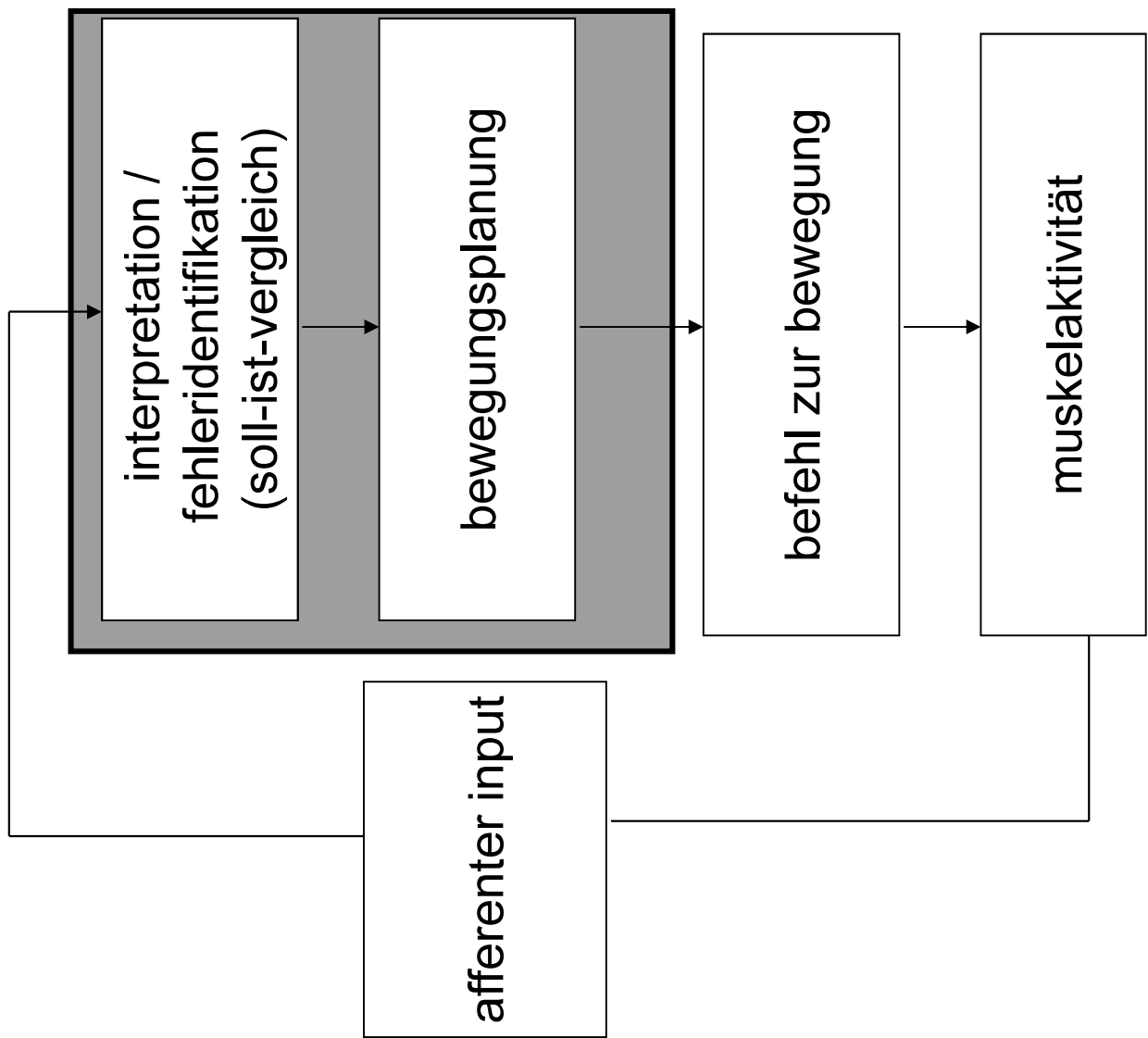
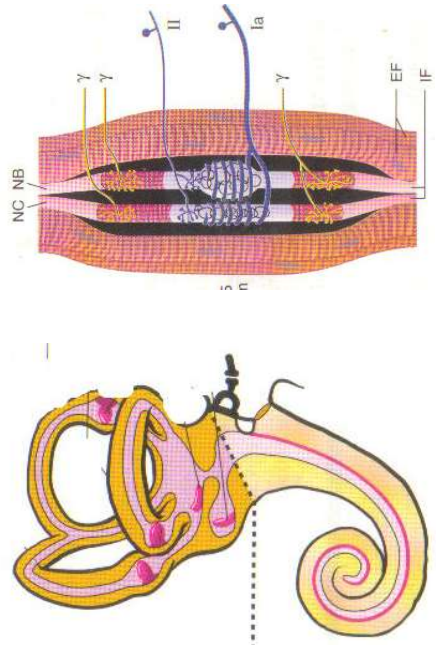
- bewegungsentwicklung
- bewegungsgedächtnis
- handlungsstrategien
- tonussteigerung
- feedback
- feedforward



the sensory homunculus 3-d figure
sculpted by sharon price-james

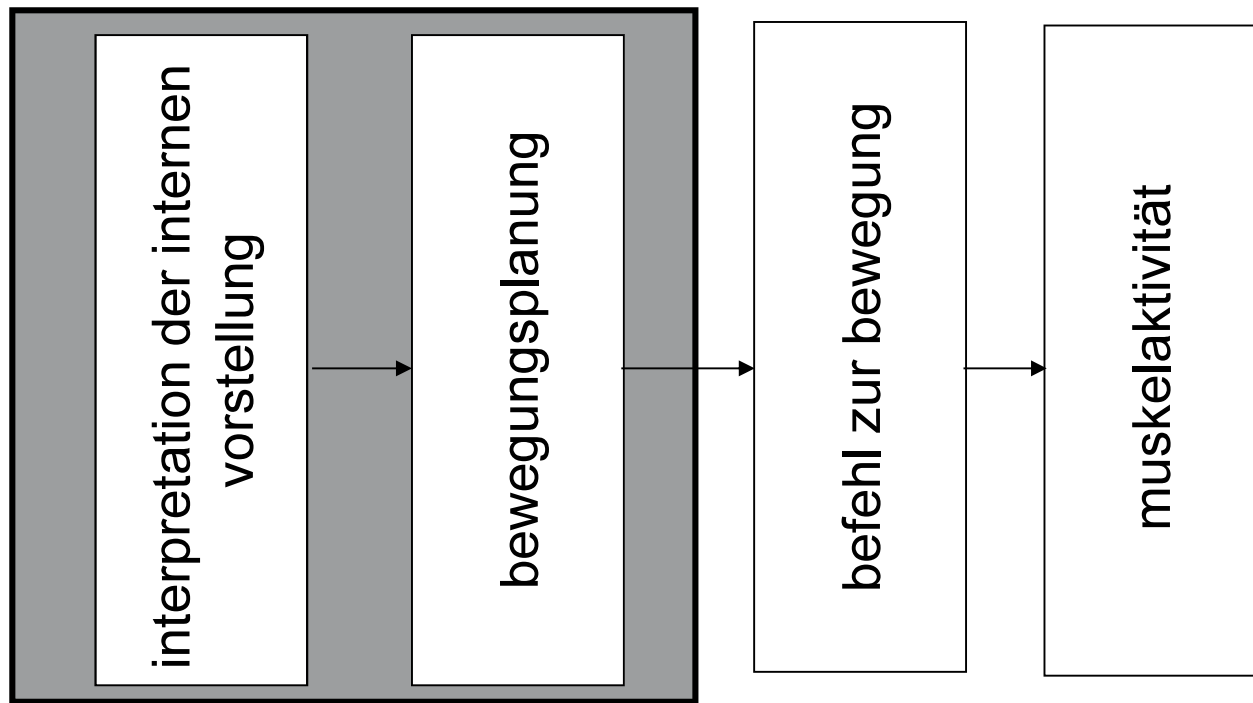
neurales kontrollsyste

- feedback /
closed loop
- reaktion auf



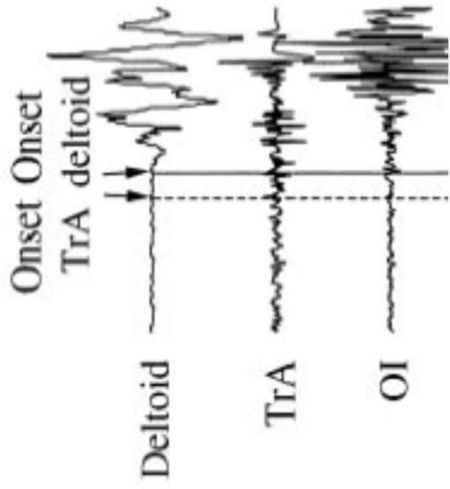
adams (1971)

neurales kontrollsysteem



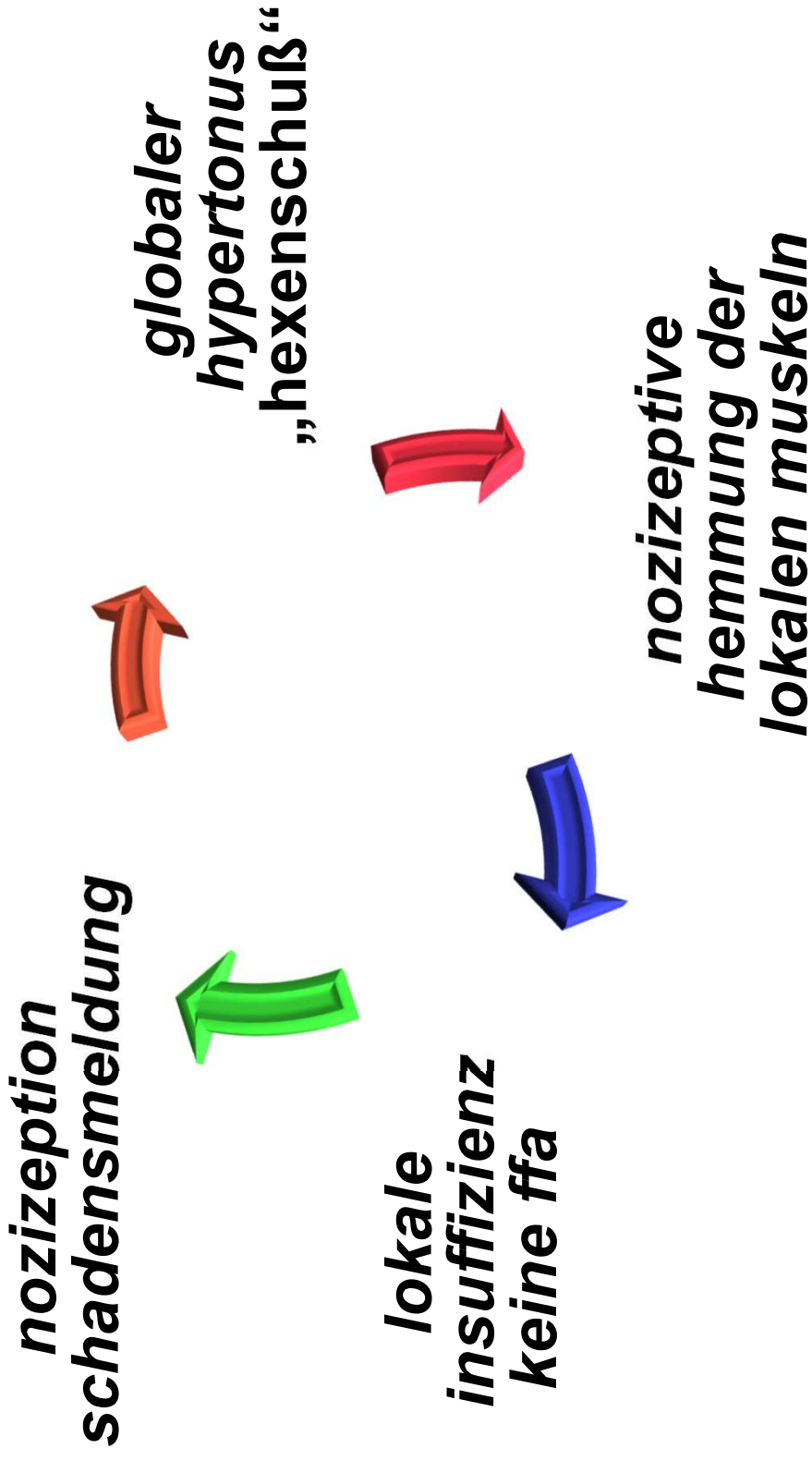
- **feedforward / open loop**

- aktion ist vorhersehbar
- das zns kann im voraus planen



olivier & rockmann (2003)

pathogenese von rückenschmerzen



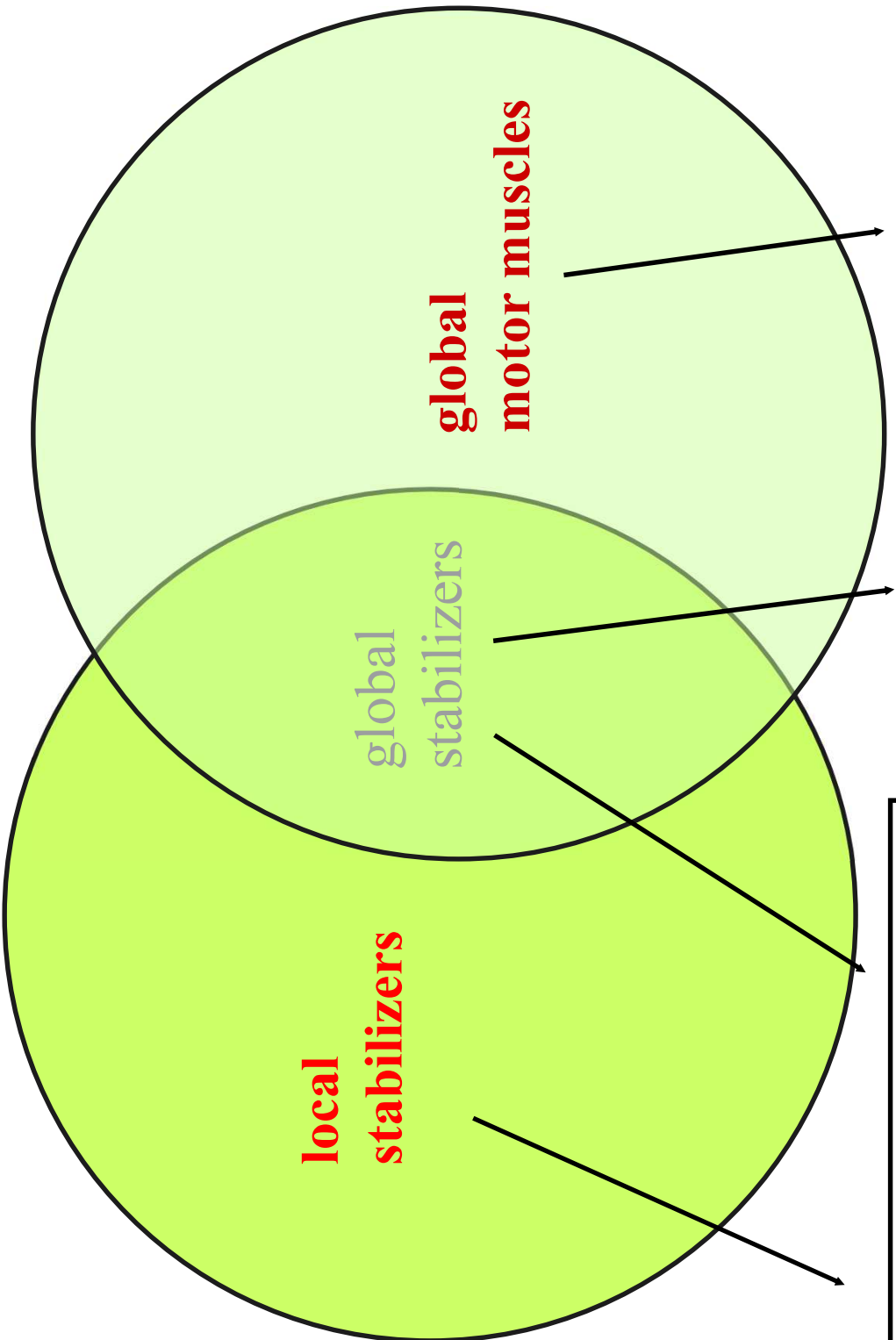
rückenschmerz ...

... nur globale Kraft ?

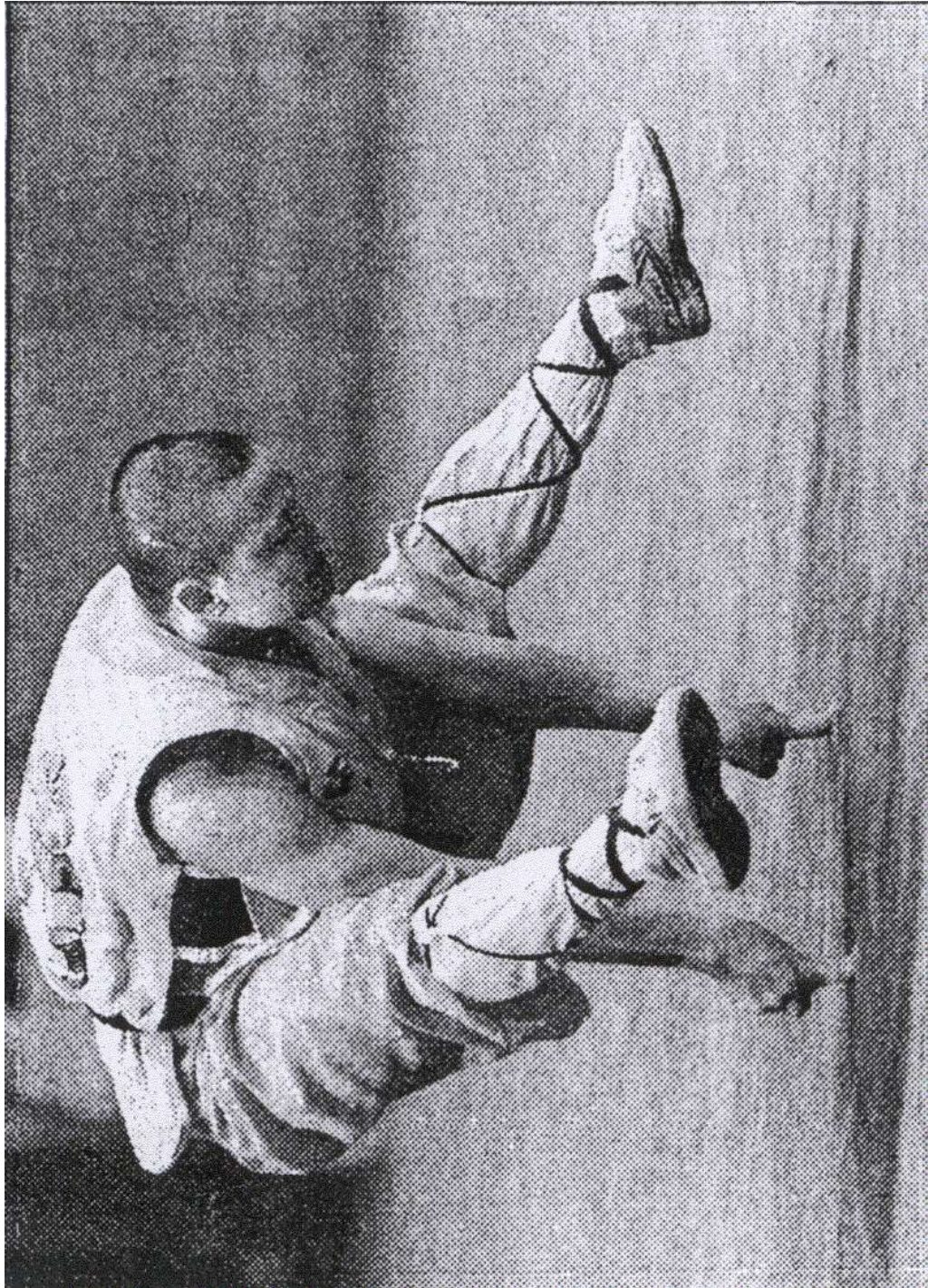


**„Kraft nimmt
Keine
Schmerzen!“**

lumbales stabilisations- und bewegungssystem



sensoMotorik



aber wie?

rumpfstabilisation

wie?

welche Muskeln?

welche Übungen?

dosierung?

sensomotorisches training

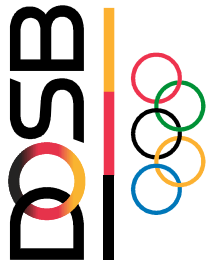
- **statisches mehrgelenktraining**
 - **körpergewicht**
 - **wenig / kleine bewegung**
- **reize: schnell, aggressiv, instabil**

sensomotorisches training

- intensive reize
- kein schmerz
- belastungszeit 20 - 30 sekunden

behandlungsschema instabilität

- 1. lokale aktivität**
- 2. globale aktivität**
- 3. spezifische belastungen**



DIE INSTABILE WIRBELSÄULE IM SPORT

Hape Meier
REHA Valznerweiher
90480 Nürnberg

nachbehandlungskonzept

„instabile lumbale wirbelsäule“

- 1. frontale / lokale aktivität**
- 2. laterale / globale aktivität**
- 3. rotatorische / spezifische
aktivität**

nachbehandlungskonzept „instabile lumbale Wirbelsäule“

1. phase

frontale / lokale Aktivität
**(vorwiegend statisch,
sensomotorisch)**

1. phase

- schmerzlinderung
- erarbeiten einer funktionellen
wirbelsäulenschwingung
- mobilisation bei einschränkungen

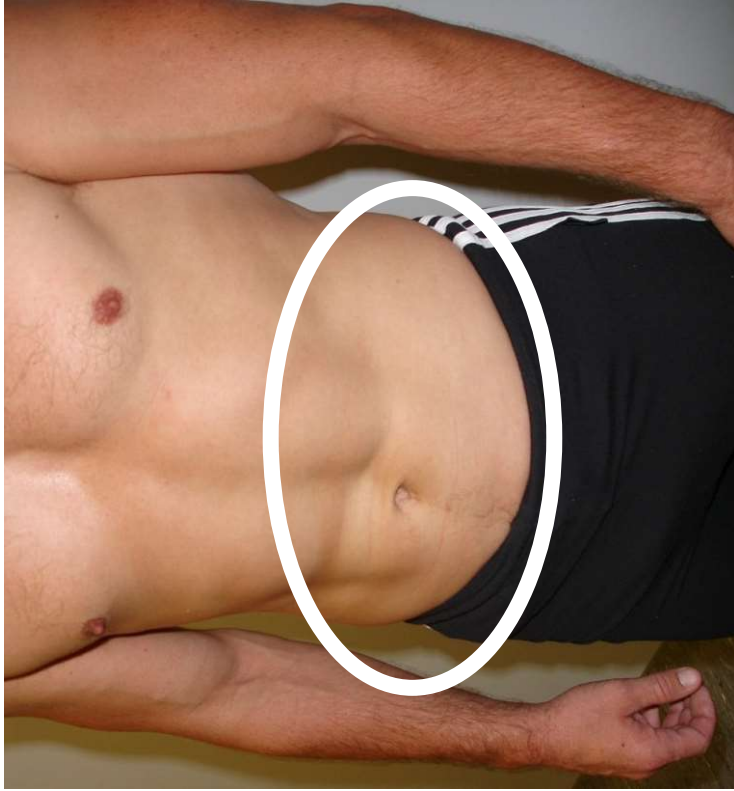
1. phase

- Wahrnehmung
- lokale Stabilisation, Innervation
- sensomotorik

1. phase

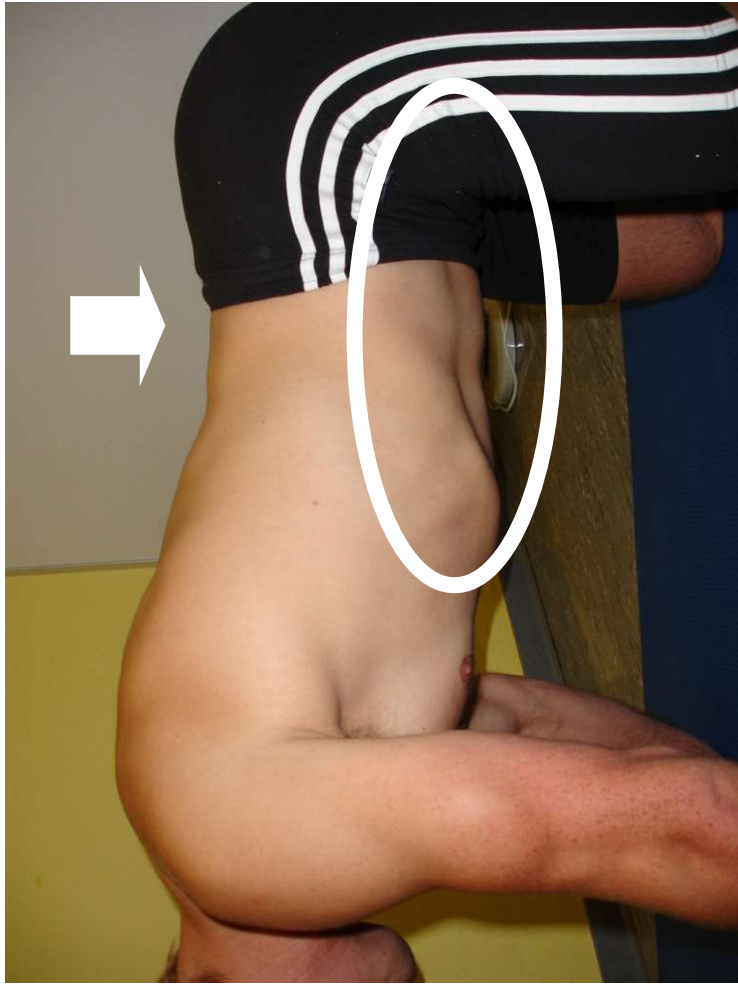
- aufbau physiologischer bewegungsmuster
- haltungskorrektur, -gefühl
- ganzkörperspannung
- statische / dynamische aktivität
 - * kleine amplitude
 - * in extensions- > flexionsrichtung
 - * schmerzfrei

lokale Aktivität



bauchnabel, lordose, Beckenboden, Zwerchfell

lokale Aktivität



bauchnabel, lordose, Beckenboden, Zwerchfell

frontale aktivität



frontale aktivität



beckenlift lateral

frontale aktivität



„charly chaplin“ gebeugt

Slingtraining

(Sling – Slingtrainingstherapie)



frontale Aktivität



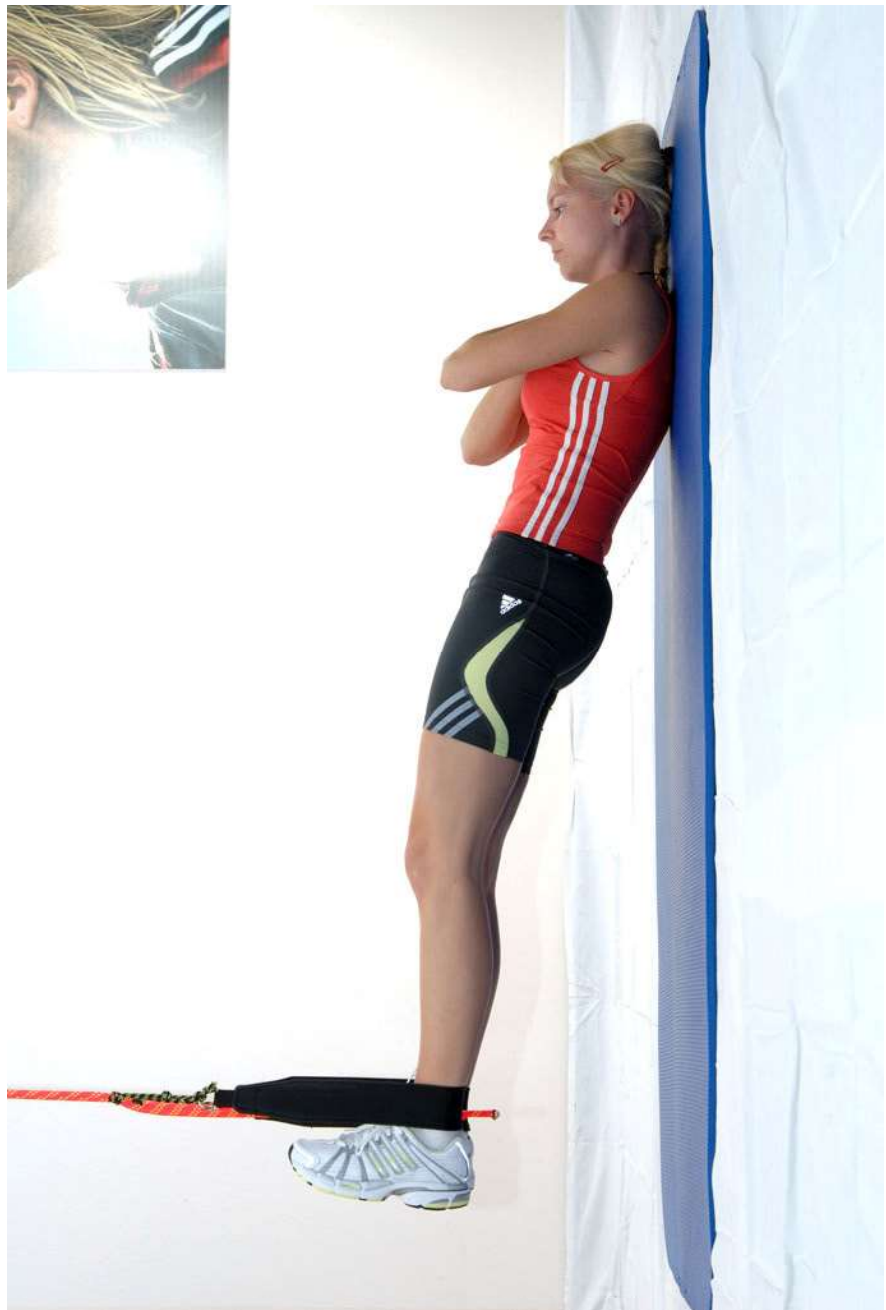
anbahnung der lokalen
stabilisatoren mit stt

frontale aktivität



aktivierung der ventralen kette

frontale aktivität



aktivierung der dorsalen kette

**nachbehandlungskonzept
„instabile lumbale wirbelsäule“**

2. phase

l laterale / globale aktivität

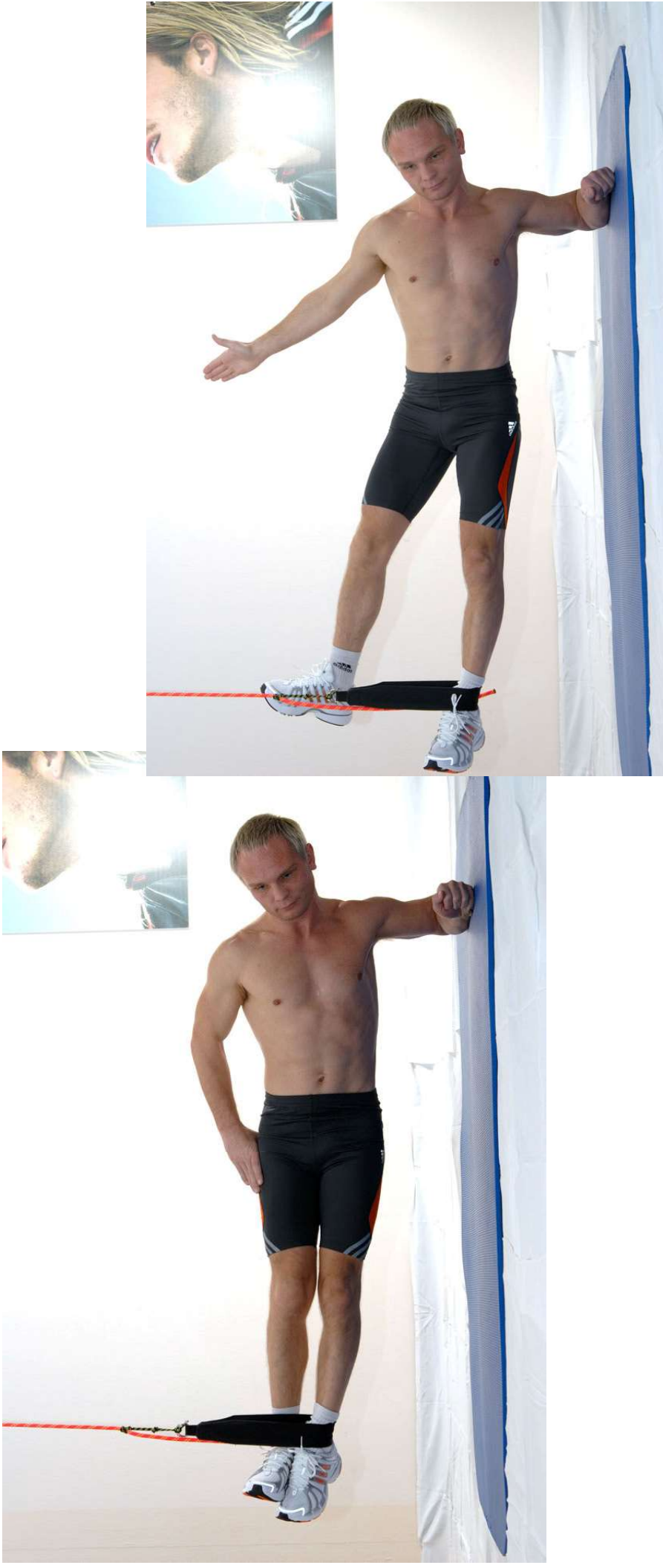
2. phase

- weitere mobilisation bei einschränkungen
- segmentale stabilisation
- rotationsstabilisation
- laterale aktivität
- dynamisierung der muskelaktivität

laterale aktivität



laterale aktivität



aktivierung der lateralen kette

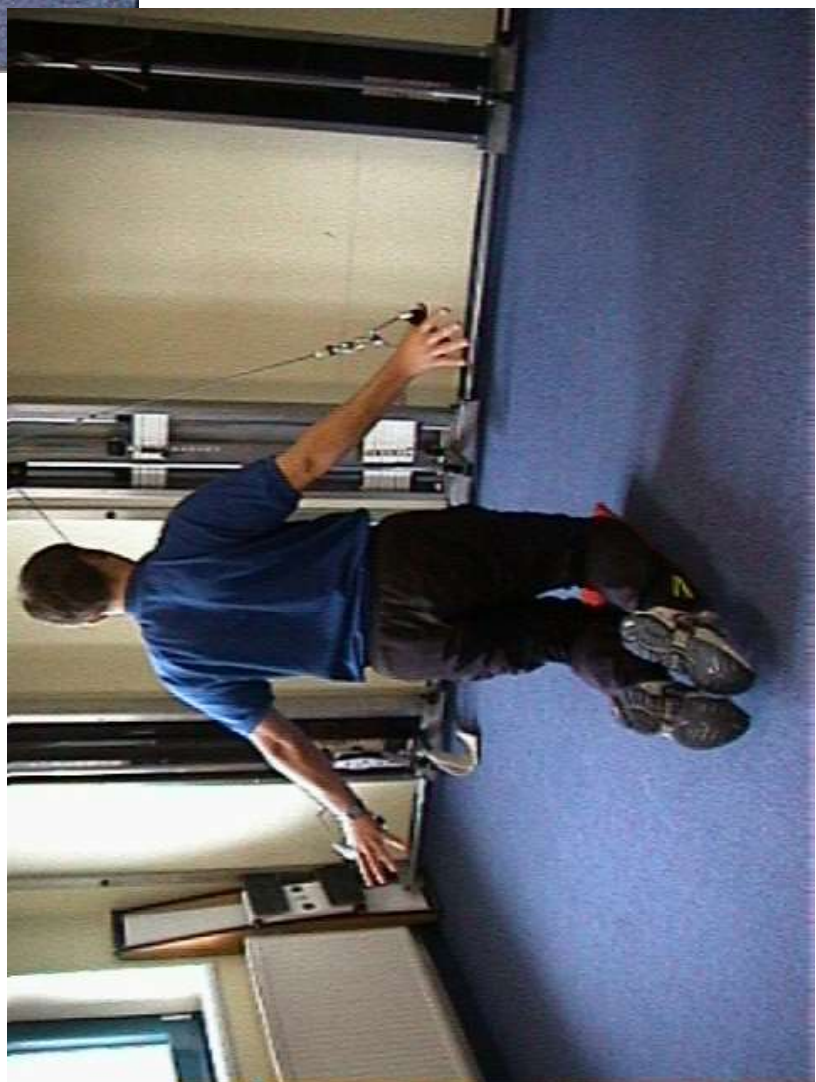
laterale aktivität



aktivierung der lateralen kette - dynamisierung



**laterale Instabilität
auf dem Kippbrett**



**dorsale Aktivität
unter
Rumpfstabilisation**

rotatorische stabilisierung



rotatorische stabilisierung



anbahnung der
rotatorischen aktivität

rotatorische stabilisierung



dorsale kette - rotationsstabi
mit
“agressiver” instabilität

nachbehandlungskonzept „instabile lumbale Wirbelsäule“

3. phase

**rotatorische Aktivität /
spezifische Belastungen**

3. phase

- endgradige stabilisation
- dynamische rotation
- vermehrt freie gewichte / langhantel
- spezifisches rumpftraining
alltag – sport (3d)
- belastungssteigerung bis supramaximal,
schnell, exzentrisch, reaktiv

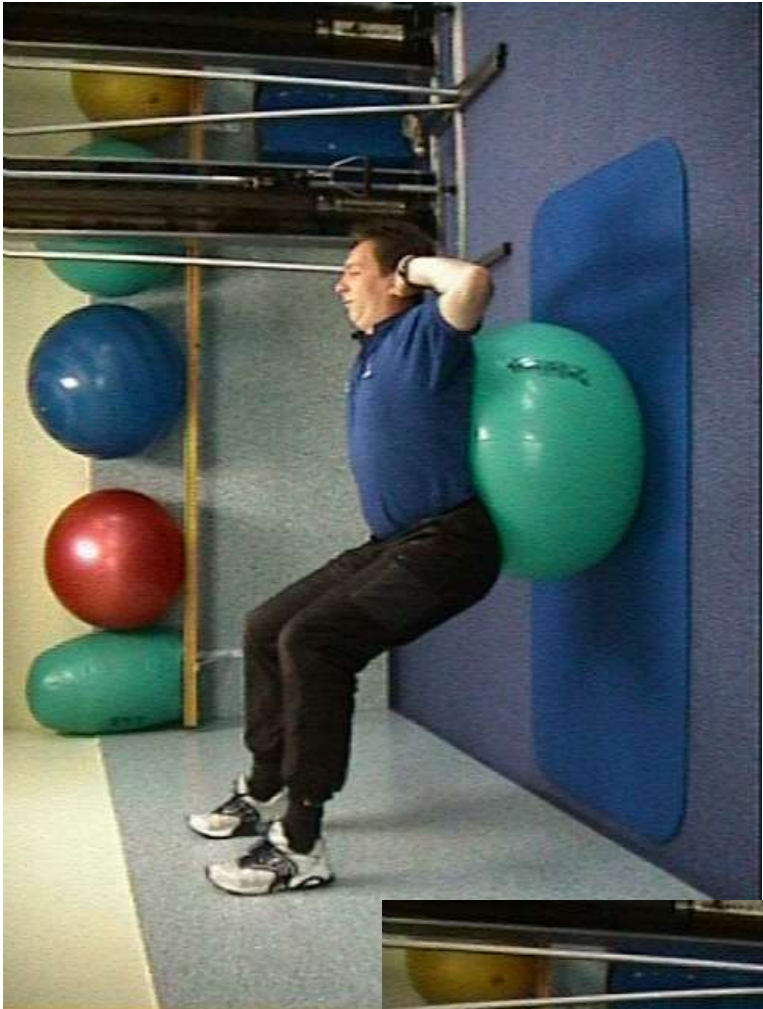
dynamische rotation

dynamische
rotation

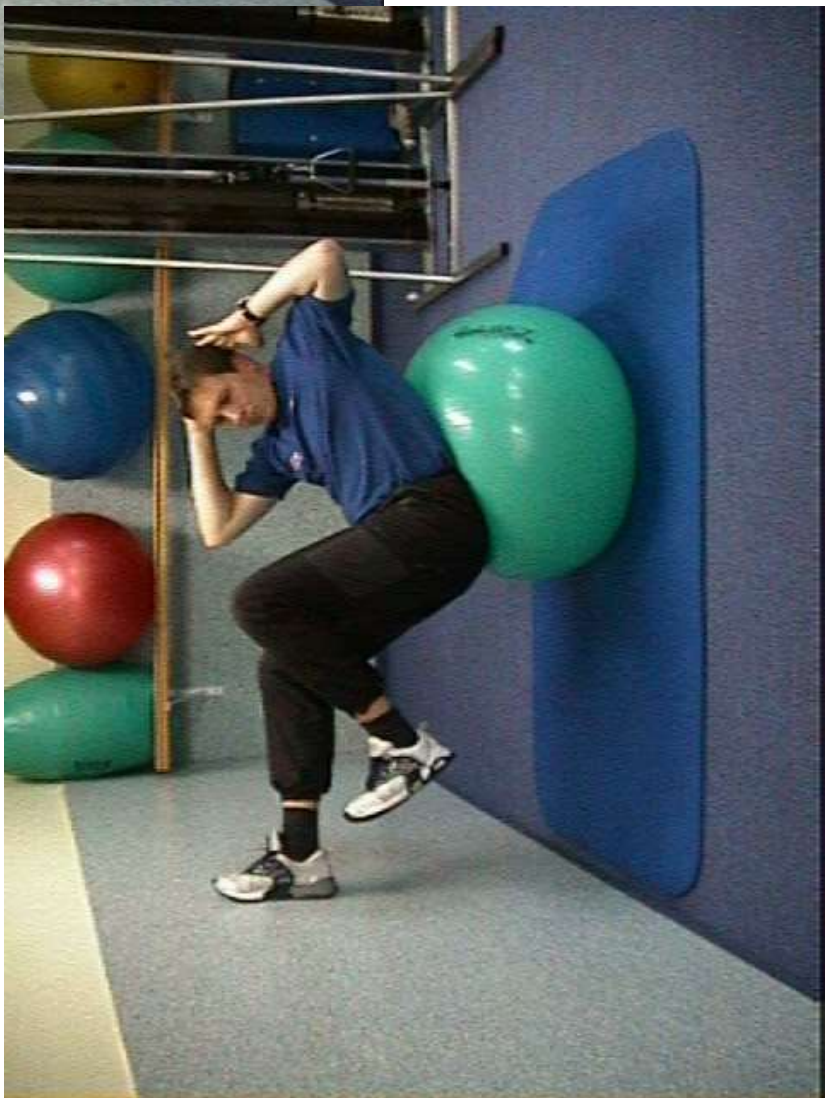


bei lateraler
instabilität

dynamische rotation



ventrale Kette im
geschlossenen
System,
dynamisch - instabil



dynamische rotation spezifische belastung



Good Mornings with Thoracic Rotation



Kettlebell - High Pull

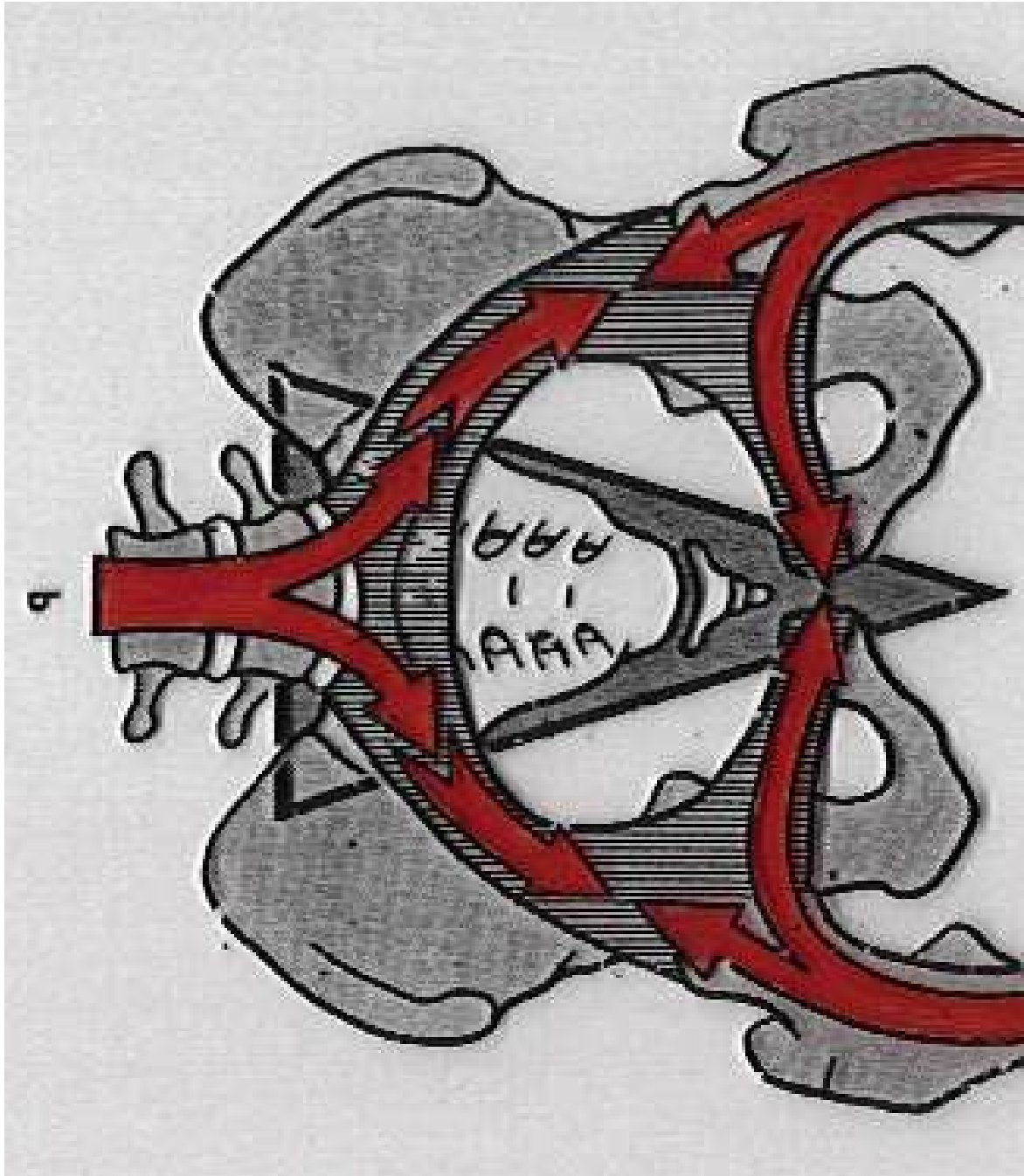




DAS BECKEN

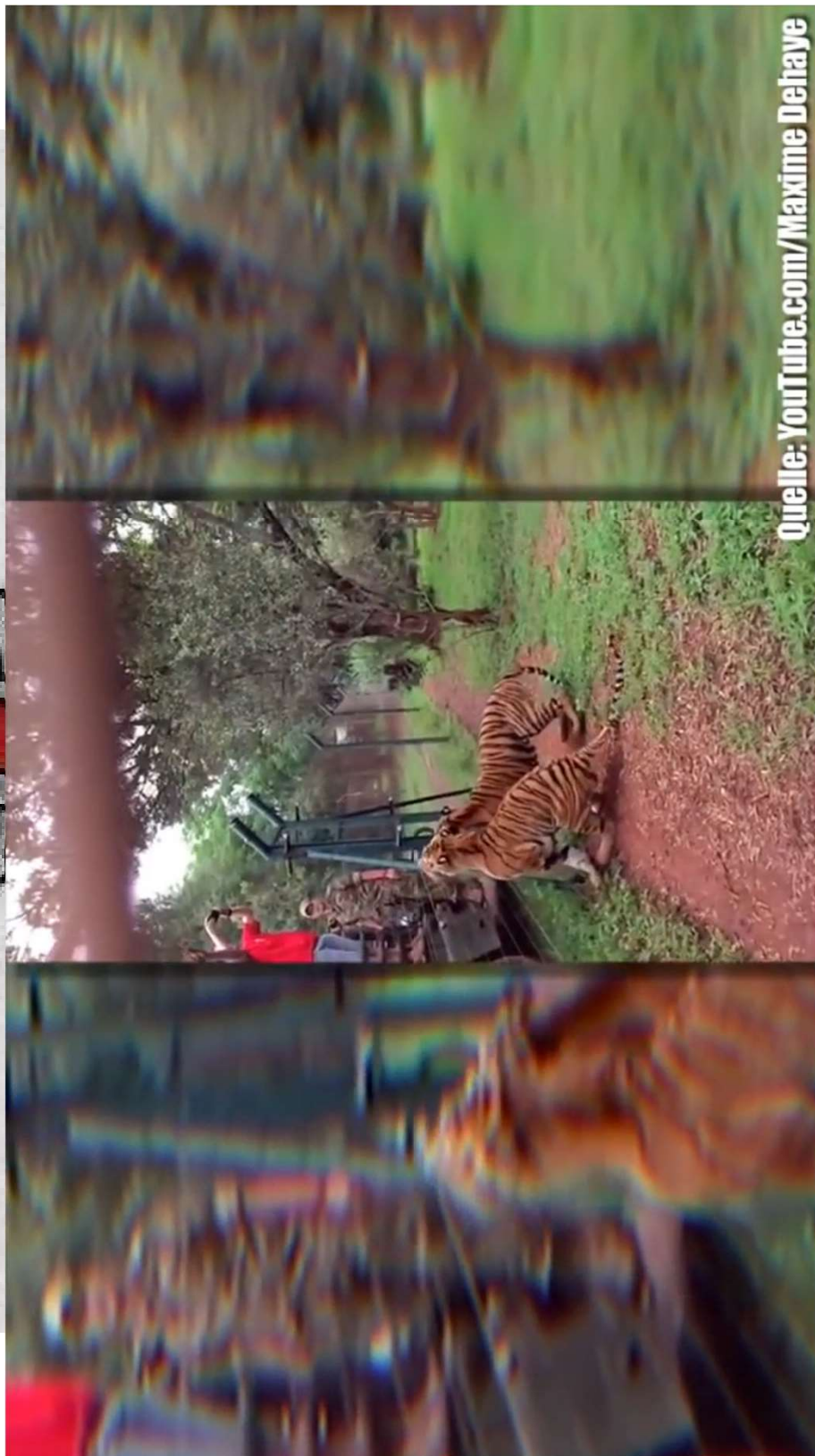
DOSB SPORT
PHYSIOTHERAPIE
bodo wisst

belastungsverteilung im Beckenring



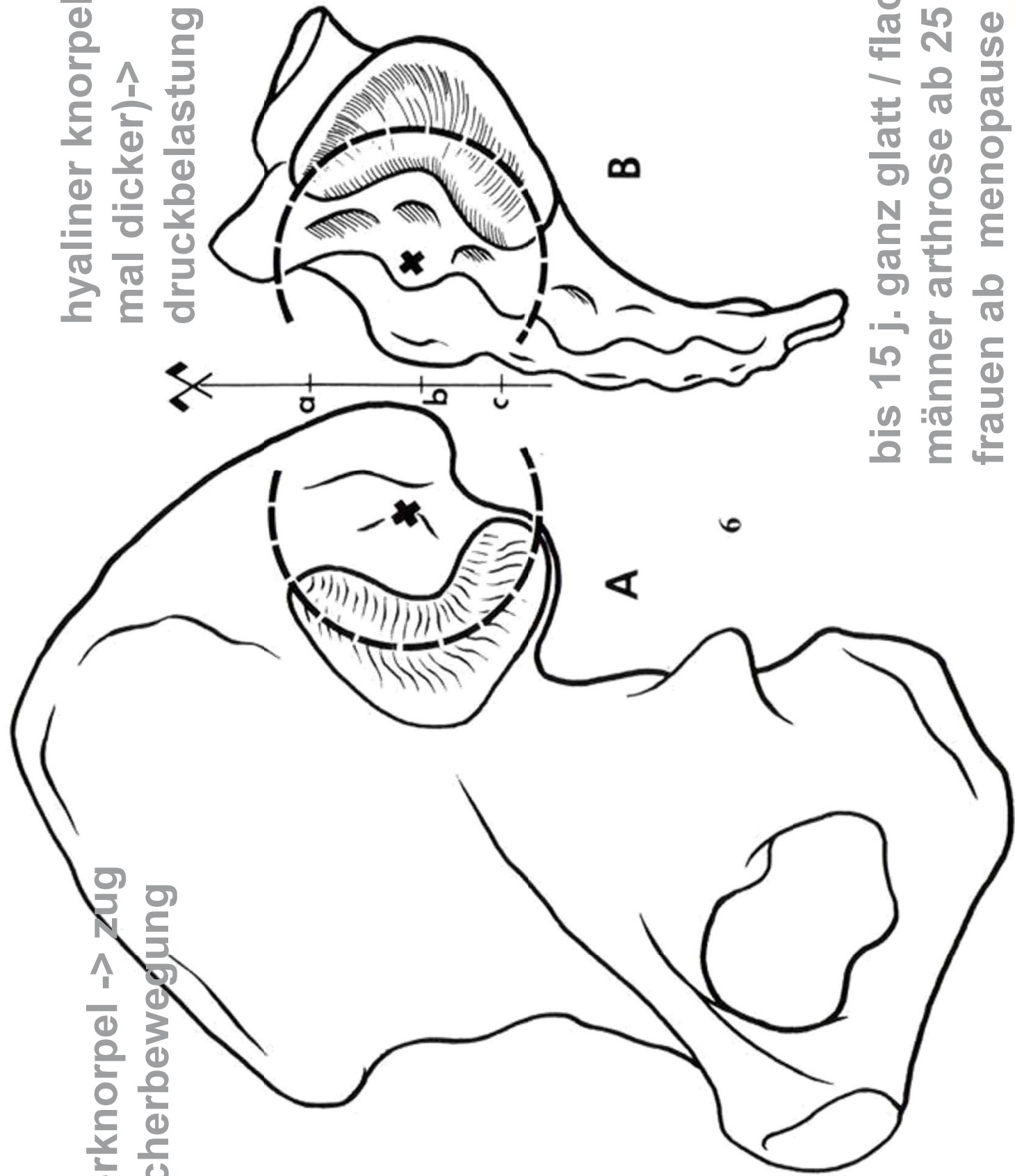
belastungsverteilung im Beckenring

Quelle: YouTube.com/Maxime Delhayé

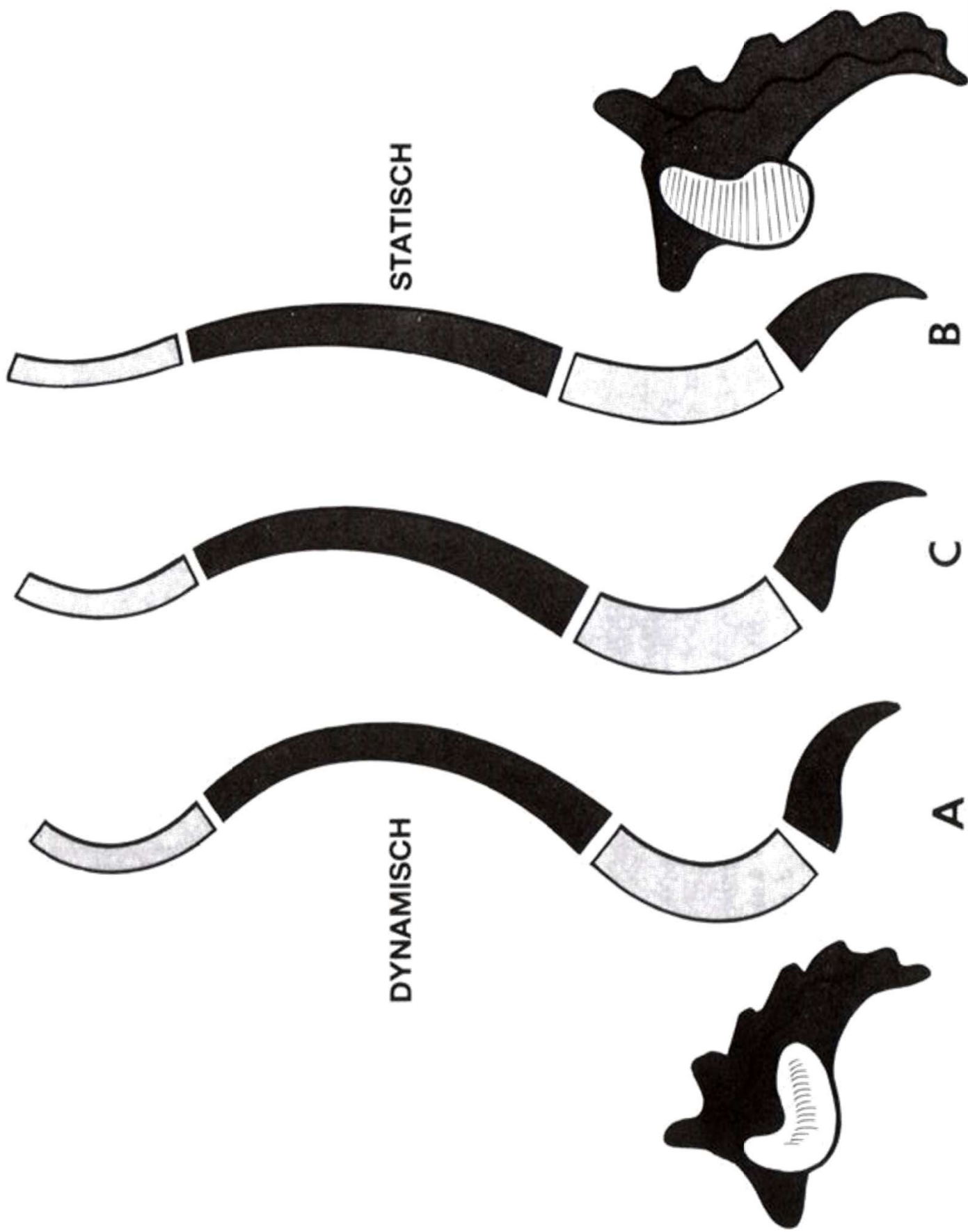


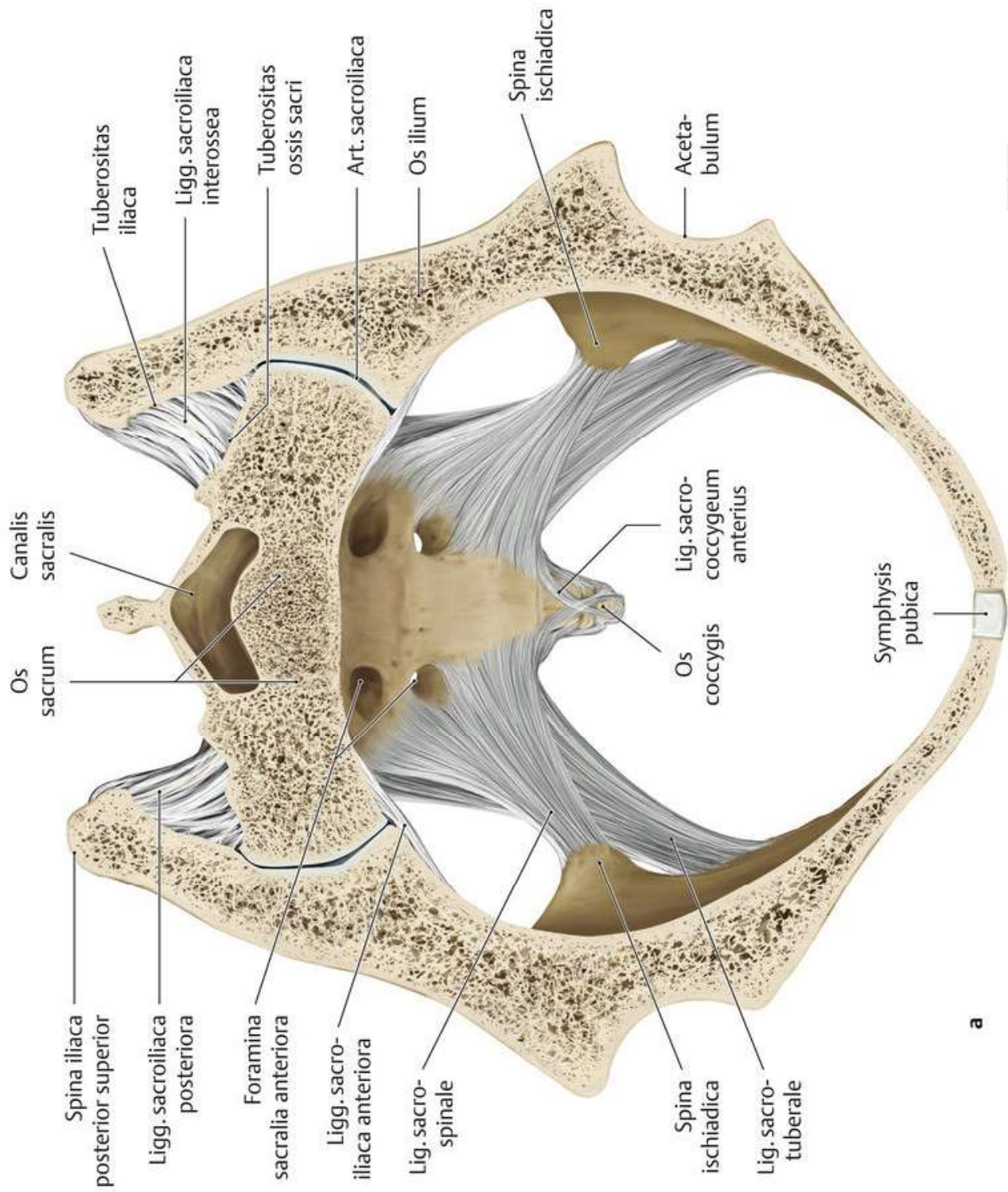
faserknorpel -> zug
u. scherbewegung

hyaliner knorpel (3-5
mal dicker)->
druckbelastung



bis 15 j. ganz glatt / flach
männer arthrose ab 25 j.
frauen ab menopause





Komplexe und feinste Differenzierung. Bei diesem für die unterschiedlichen Disziplinen gleichen Anatomie-Kennzeichnungen können nur die SGO festgelegte werden. Der Normativkatalog entspricht nicht nur den Anforderungen der SGO, sondern auch internationalen Ausführungen. Dieses Katalog ist ein amtierender Konsens. Die entsprechenden Normen kommen in unterschiedlicher Häufigkeit von 100% amtiert bis 100% unterschritten vor. 12 bis 15% Abweichungen werden als akzeptabel angesehen. Die Innovation des SGO kommt aus bis zu 2 Segmenteinheiten erweitert werden.

Normativ	100%	90%	80%	70%	60%	50%	40%	30%	20%	10%	<10%
Spina iliaca posterior superior	100%	90%	80%	70%	60%	50%	40%	30%	20%	10%	<10%
Ligg. sacroiliaca posteriore	100%	90%	80%	70%	60%	50%	40%	30%	20%	10%	<10%
Foramina sacralia anteriora	100%	90%	80%	70%	60%	50%	40%	30%	20%	10%	<10%
Ligg. sacroiliaca anteriora	100%	90%	80%	70%	60%	50%	40%	30%	20%	10%	<10%
Lig. sacrospinae	100%	90%	80%	70%	60%	50%	40%	30%	20%	10%	<10%
Spina ischiadica	100%	90%	80%	70%	60%	50%	40%	30%	20%	10%	<10%
Lig. sacrotubere	100%	90%	80%	70%	60%	50%	40%	30%	20%	10%	<10%
Spina sacrospinosa	100%	90%	80%	70%	60%	50%	40%	30%	20%	10%	<10%
Canalis sacralis	100%	90%	80%	70%	60%	50%	40%	30%	20%	10%	<10%
Ligg. sacroiliaca interossea	100%	90%	80%	70%	60%	50%	40%	30%	20%	10%	<10%
Tuberositas ossis sacri	100%	90%	80%	70%	60%	50%	40%	30%	20%	10%	<10%
Art. sacroiliaca	100%	90%	80%	70%	60%	50%	40%	30%	20%	10%	<10%
Os ilium	100%	90%	80%	70%	60%	50%	40%	30%	20%	10%	<10%
Spina ischiadica	100%	90%	80%	70%	60%	50%	40%	30%	20%	10%	<10%
Acetabulum	100%	90%	80%	70%	60%	50%	40%	30%	20%	10%	<10%
Lig. sacrococcygeum anterius	100%	90%	80%	70%	60%	50%	40%	30%	20%	10%	<10%
Os coccygis	100%	90%	80%	70%	60%	50%	40%	30%	20%	10%	<10%
Symphysis pubica	100%	90%	80%	70%	60%	50%	40%	30%	20%	10%	<10%

Schünke, schulte, schünmacher, voll, wesker, hrg. prometheus lernatlasc - allgemeine anatomie und bewegungssystem. 3., überarbeitete und erweiterte Auflage. Thieme; 2011.

Tab. 1: Innervation des SIG in verschiedenen Studien

Autor	Rami ventralis	Rami dorsalis	Nerven
Nakagawa 1966	L5- S1	L5 - S2	N. gluteus sup.
Ikeda 1991	L3 - S3	L5, S1, S3	Äste des Plexus sacralis
Fortin, Kissling et al. 1999	Nein	S1 – S4	Nein
Grob, Neuhuber et al. 1995	Nein	S1 – S2	Nein
Cox and Fortin 2014	Nicht untersucht	L5 –S1	N. gluteus sup.
Yin, Willard et al. 2003	Nicht untersucht	L5, S1- S4	Nicht untersucht
Cohen and Abdi 2003	Nicht untersucht	L4- S3	Nicht untersucht

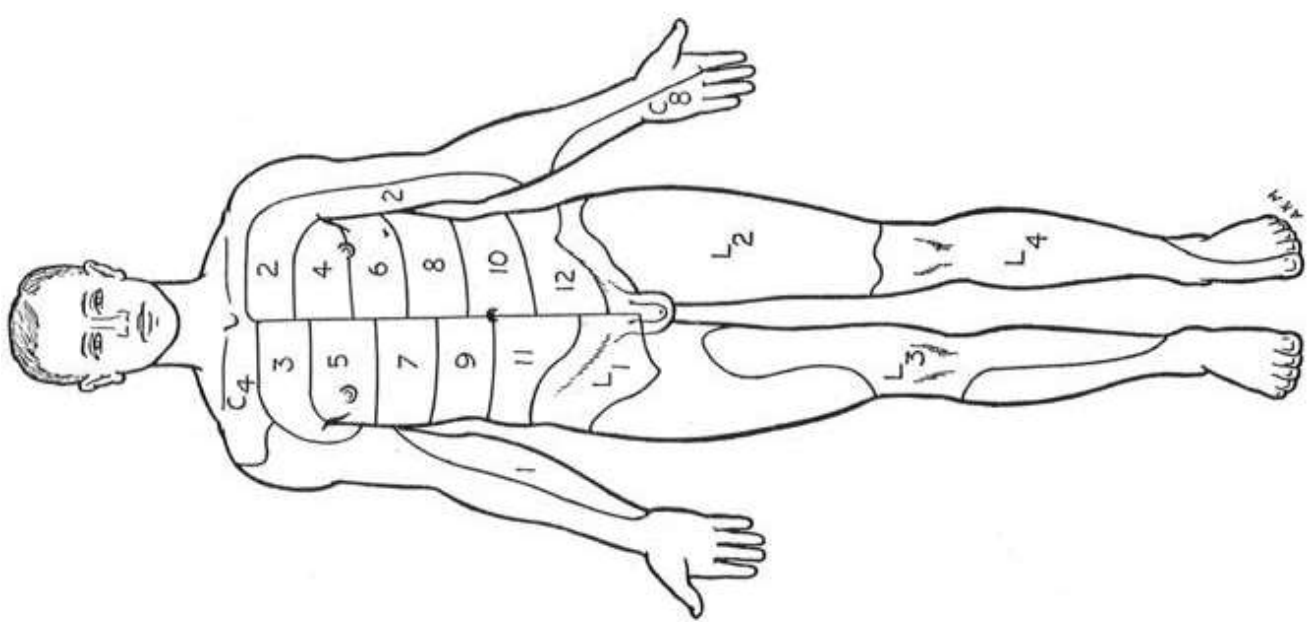
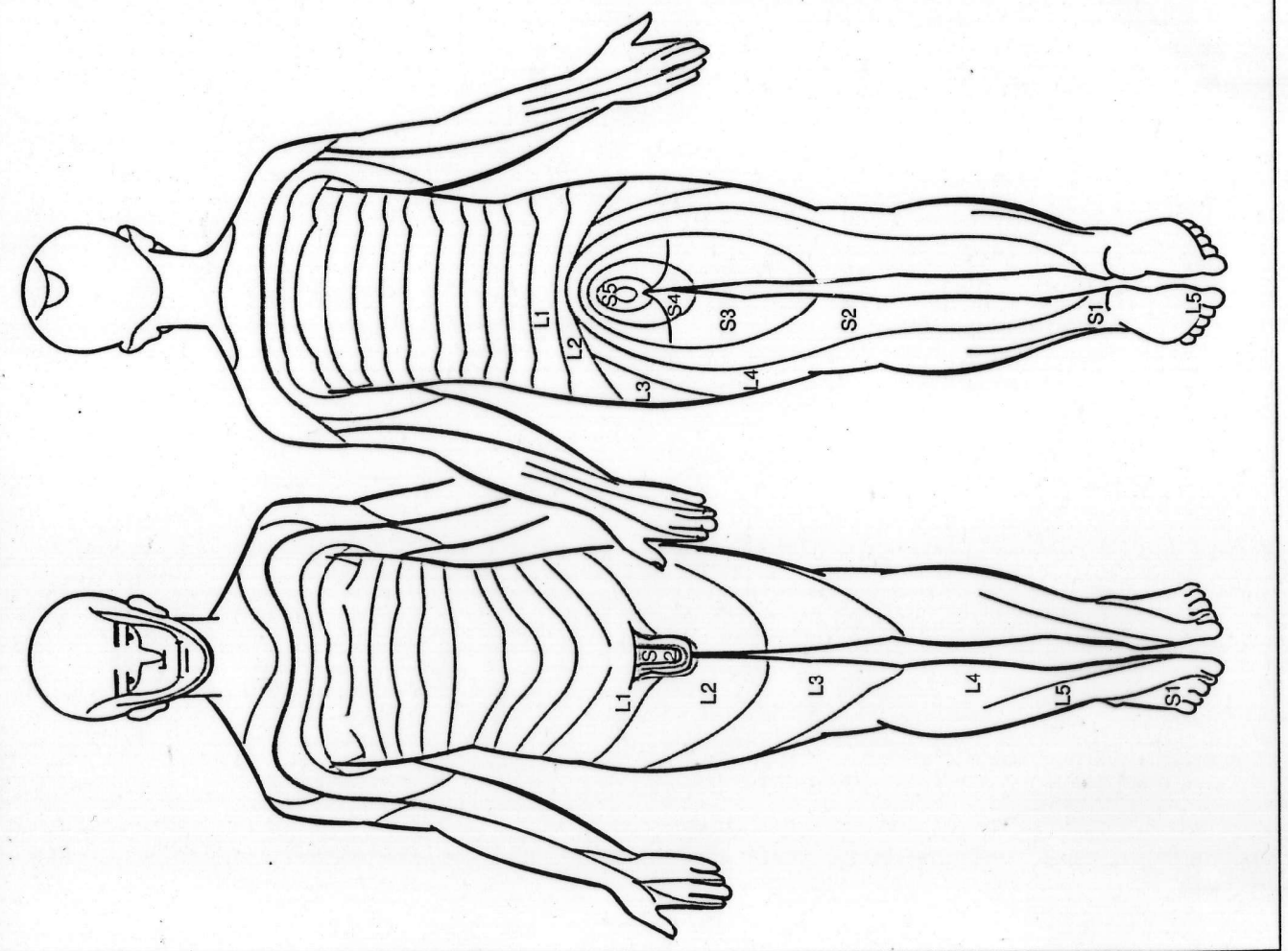
Aus dem Institut der Anatomie I
der Heinrich-Heine-Universität Düsseldorf
Direktor: Univ.-Prof. Dr. med. Dr. rer. pol. Svenja Caspers

Klinische Anatomie von lendenwirbelsäule und sakrum, nikolai bogduk, 1997

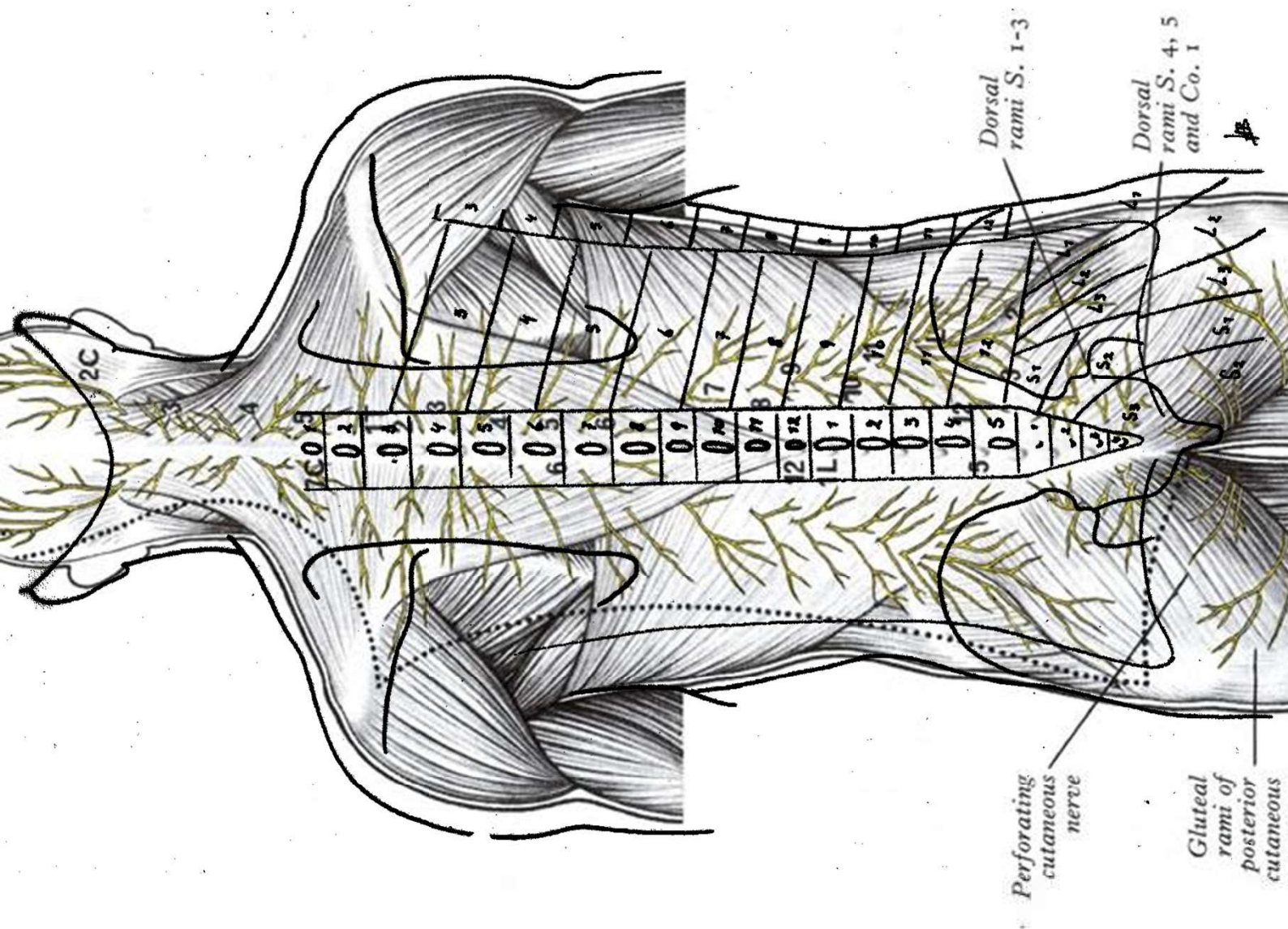
Ergebnisse und Schlussfolgerung Bei keinem der untersuchten Präparate konnte eine gleichförmige nervale Versorgung des SIG festgestellt werden. Der Nervenverlauf zeigte nicht nur zwischen den einzelnen Präparaten sondern auch intraindivuell zwischen linkem und rechtem SIG erhebliche Variationen. Die dargestellten Nerven konnten in unterschiedlicher Häufigkeit einer Versorgungsinnervation von L2 bis S5 zugeordnet werden. Die Innervation des SIG konnte aus bis zu 9 Segmenten erfolgen.

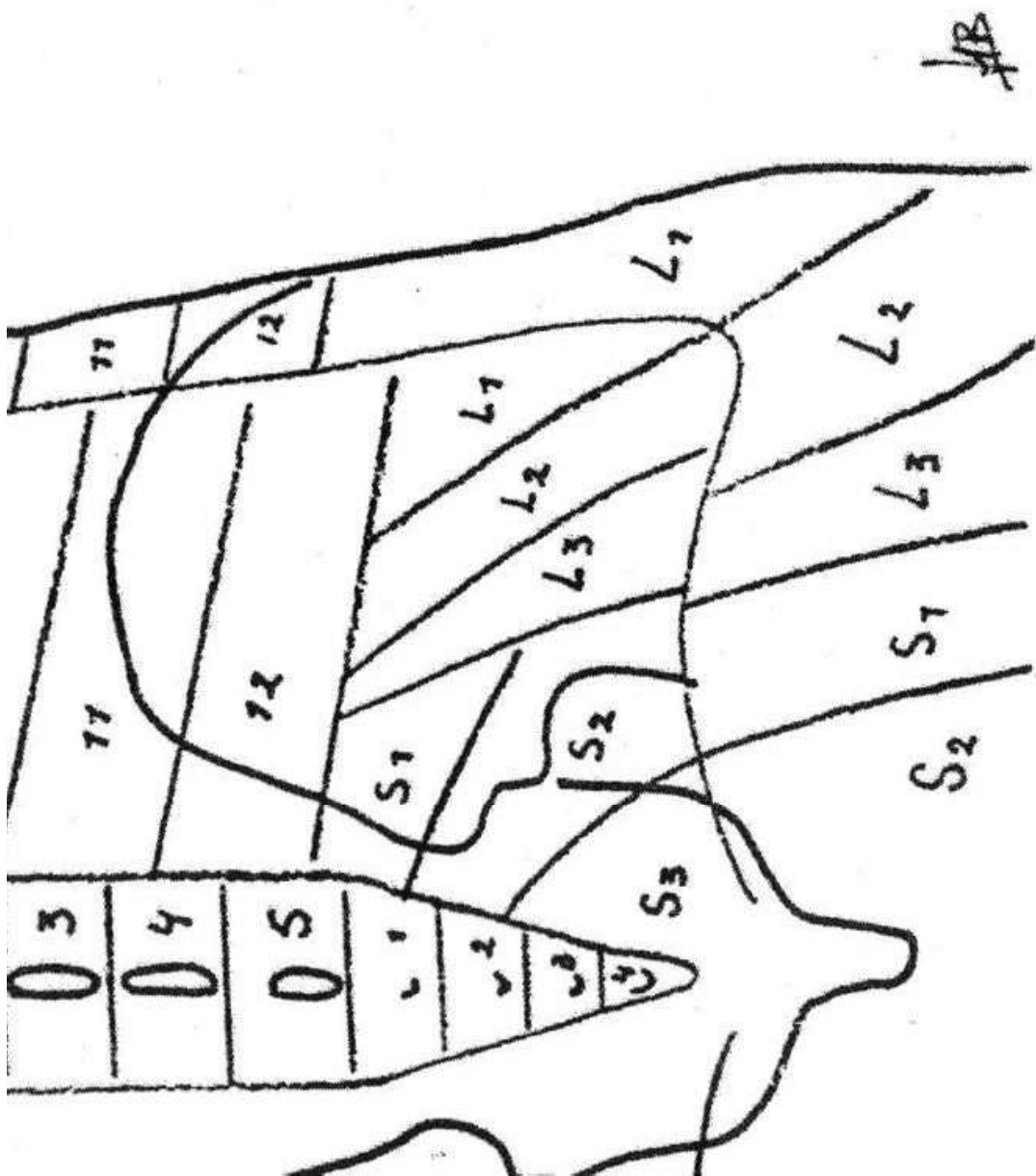
dissertation von christina maria kampsen,
2019 (10 Körperspender zw. 61 und 101
Jahre 70% männl. / 30% weibl.)

Abbildung 9. Schema der Dermatome nach Hansen und Schliack sowie wichtigste neurologische Muster bei lumbalen Bandscheibenvorfällen (siehe Tabelle I auf Seite 17).

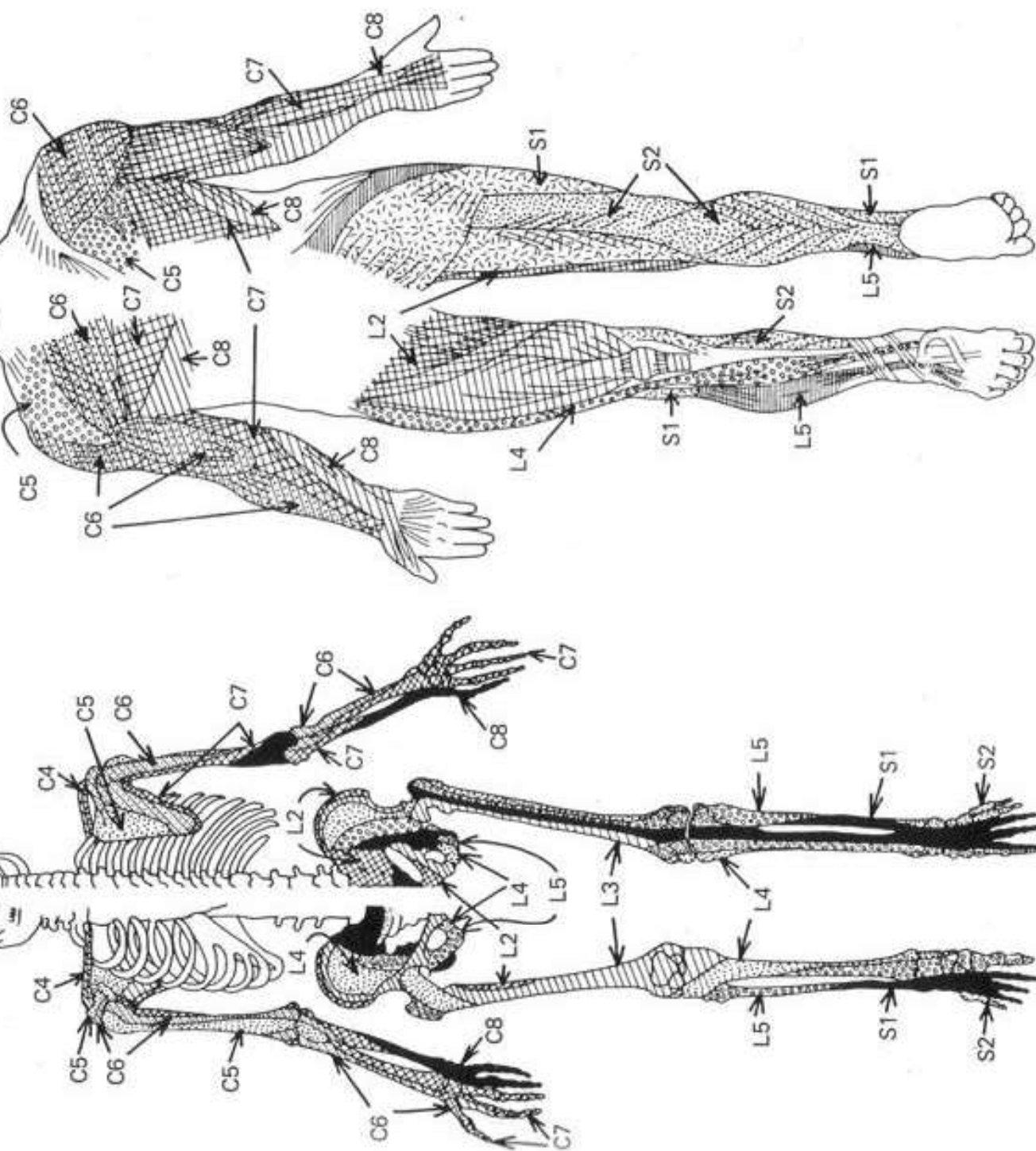


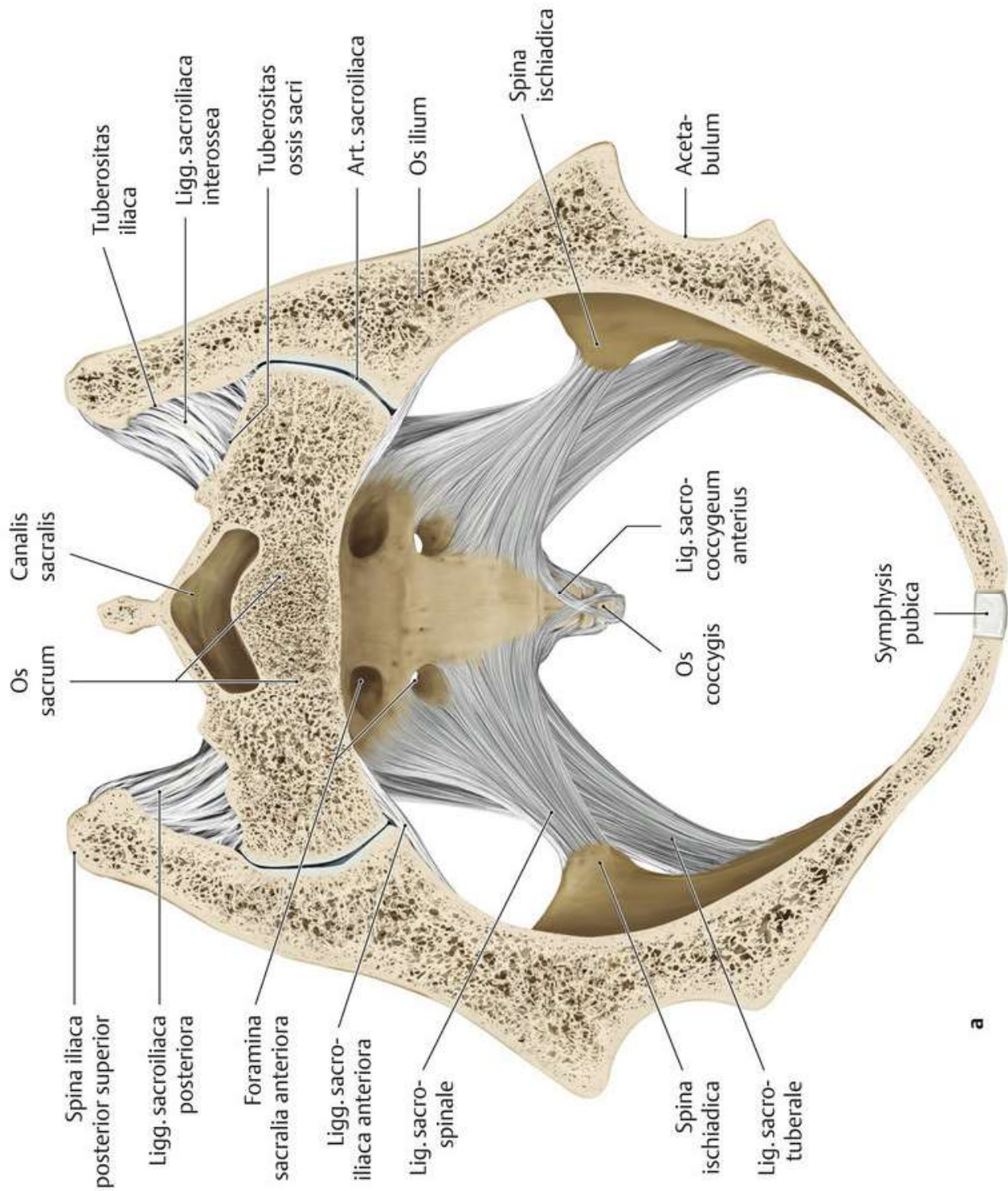
67 The cutaneous areas supplied by the ventral rami of the thoracic and upper four lumbar nerves (after Foerster 1933). By comparing both sets the degree of overlapping and the area of exclusive supply of any individual nerve may be estimated. See text for the areas supplied by T1 on trunk.





aus „Maitland
manipulation
der
Wirbelsäule“





a

schünke, schulte, schumanncher, voll, wesker, hrg. prometheus lernatlas - allgemeine anatomie und bewegungssystem. 3., überarbeitete und erweiterte Auflage. thieme; 2011.

sacrum nach
anterior

ilium nach
posterior

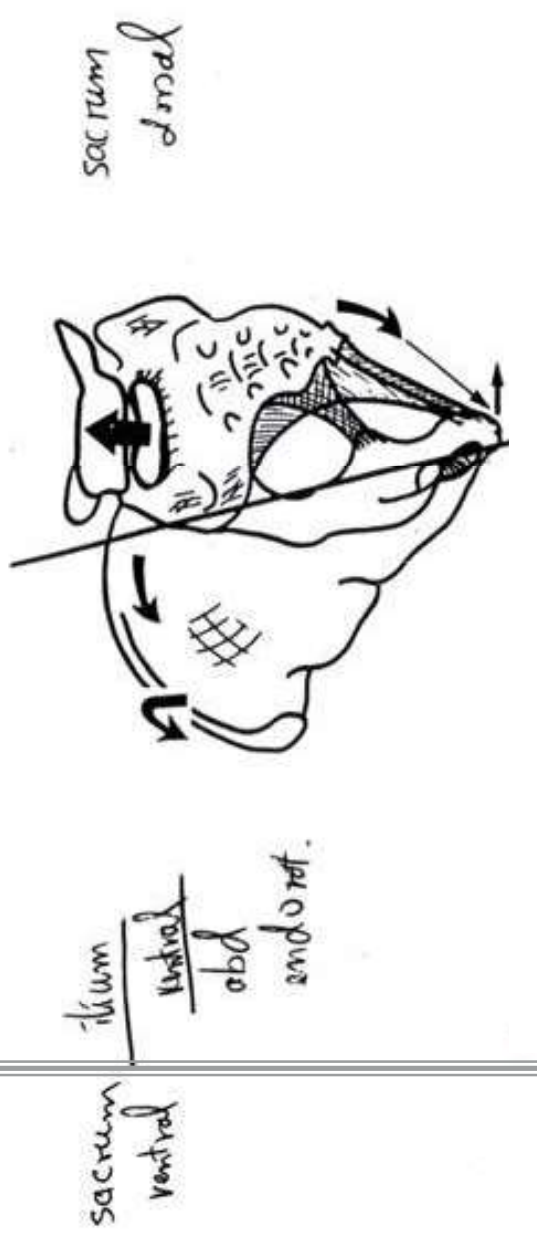
+
außenrotation,
crista in
adduktion,
tuber isch.
nach außen

(ilium posterior
mit inflare)

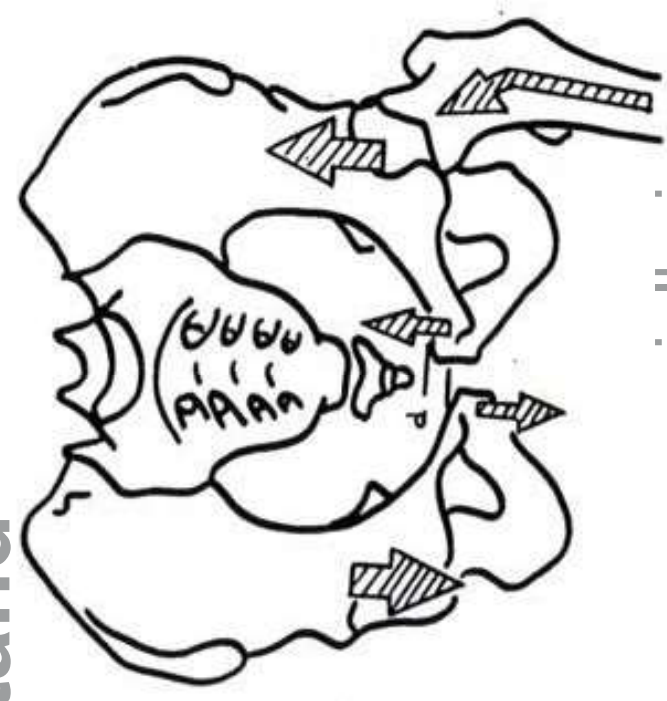


Bewegung des Os coxae auf der Seite des Standbeines

Bewegung des Os coxae auf der Seite des Drehbeines **spicoll**

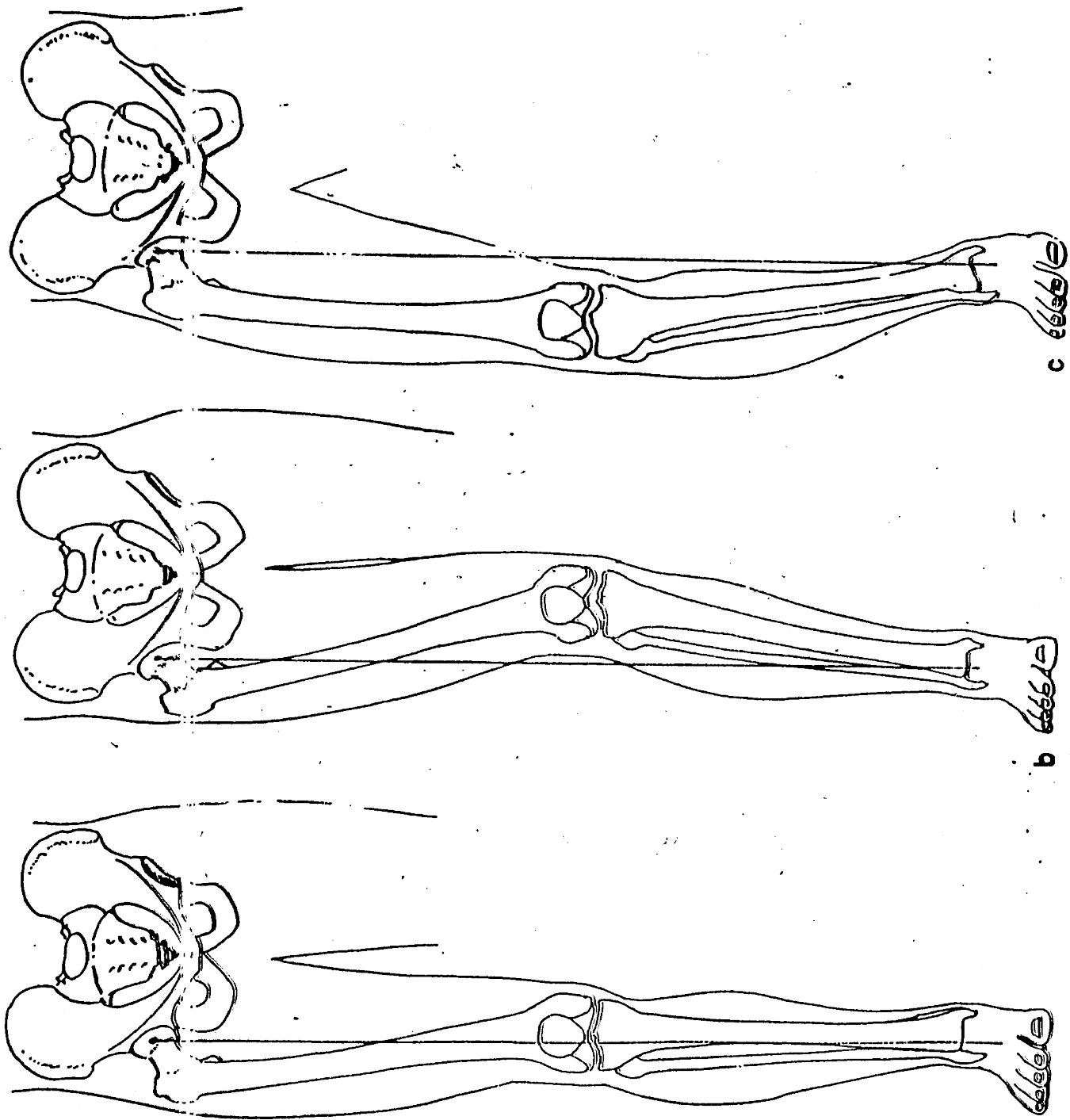


einbeinstand



standbein

spielbein



**die bein-
achse im
stand**

**ursache-
folgen-
ketten**

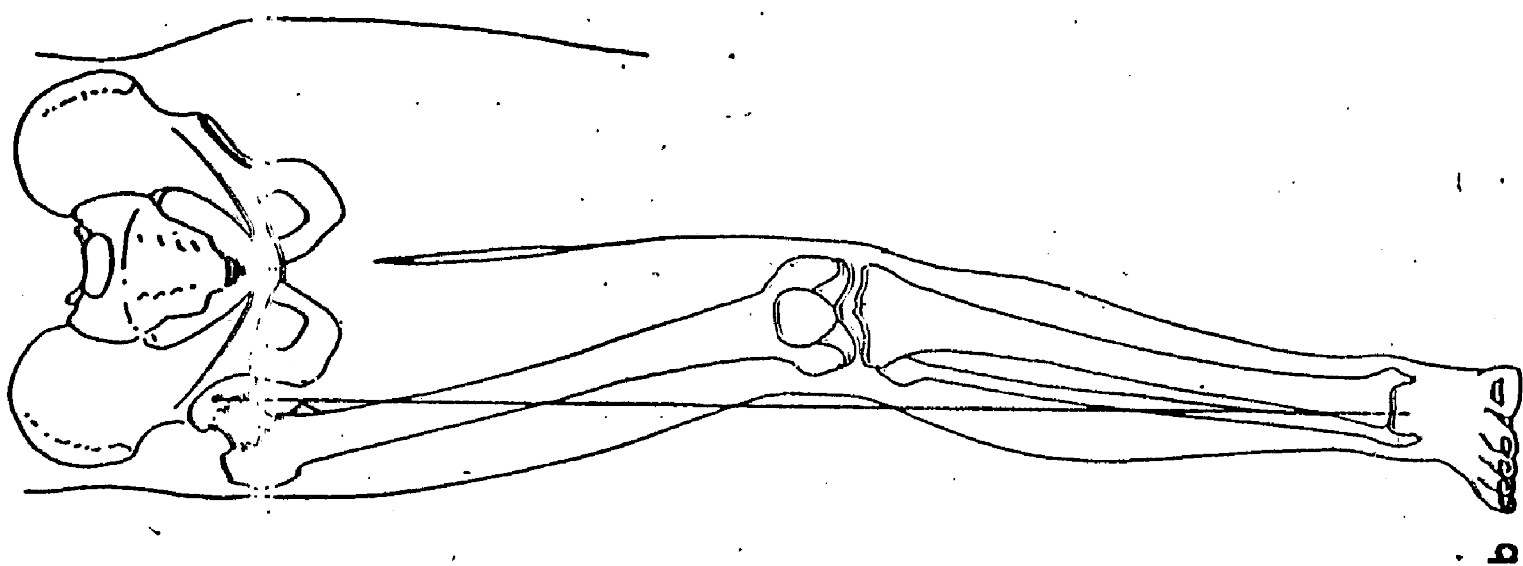
valguskette

ilium anterior, outflare

add, innenrotation

genu valgum,
streckdefizit

knick-senk-fuß,
abflachung des
medialen
längsgewölbes



b

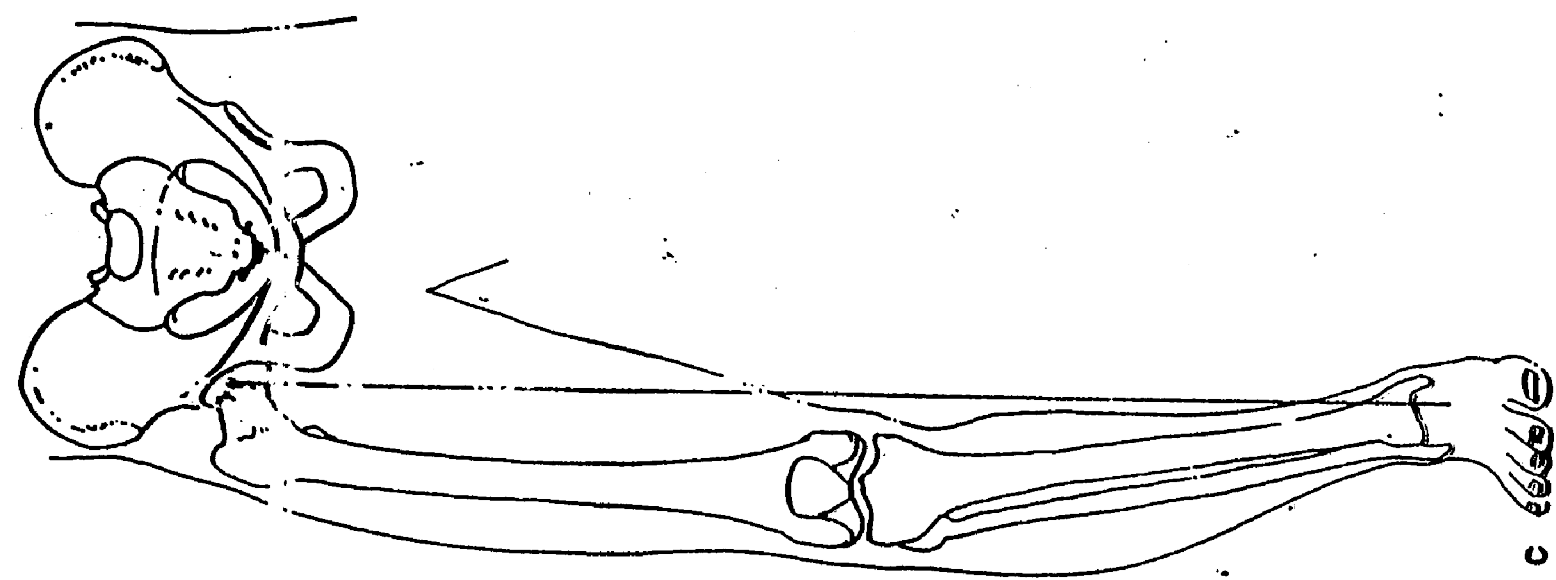
varuskette

ilium posterior, inflare

extension, außenrotation

genu varum
genu recurvatum

**laterale belastung,
“hohlfuß”**

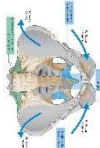
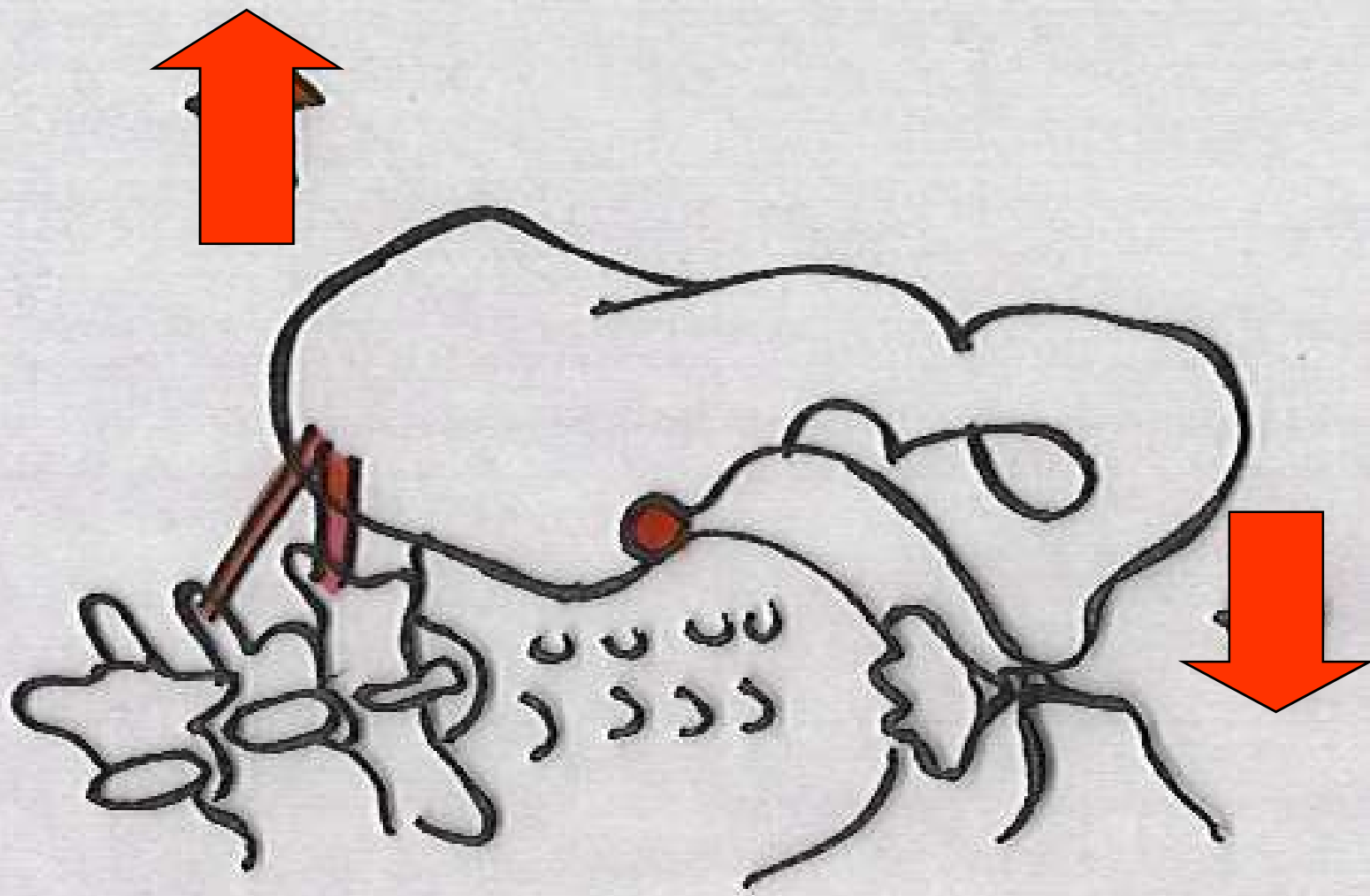


**ilium anterior,
outflare**

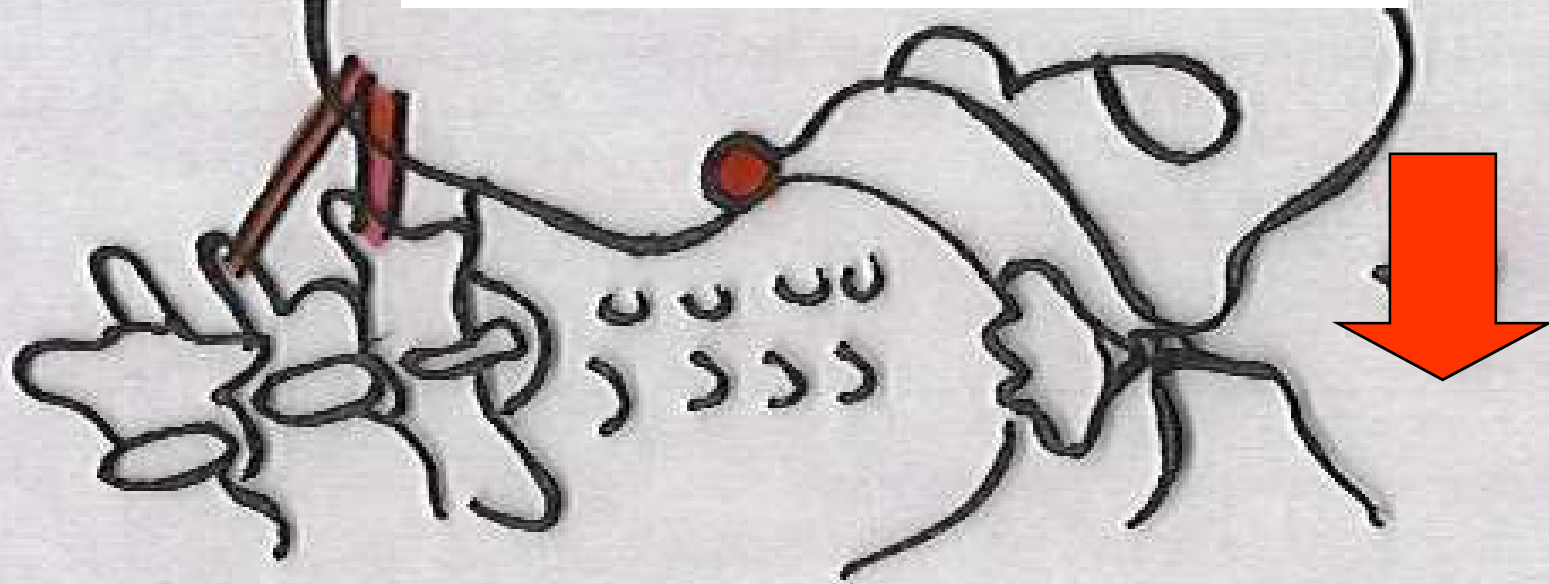
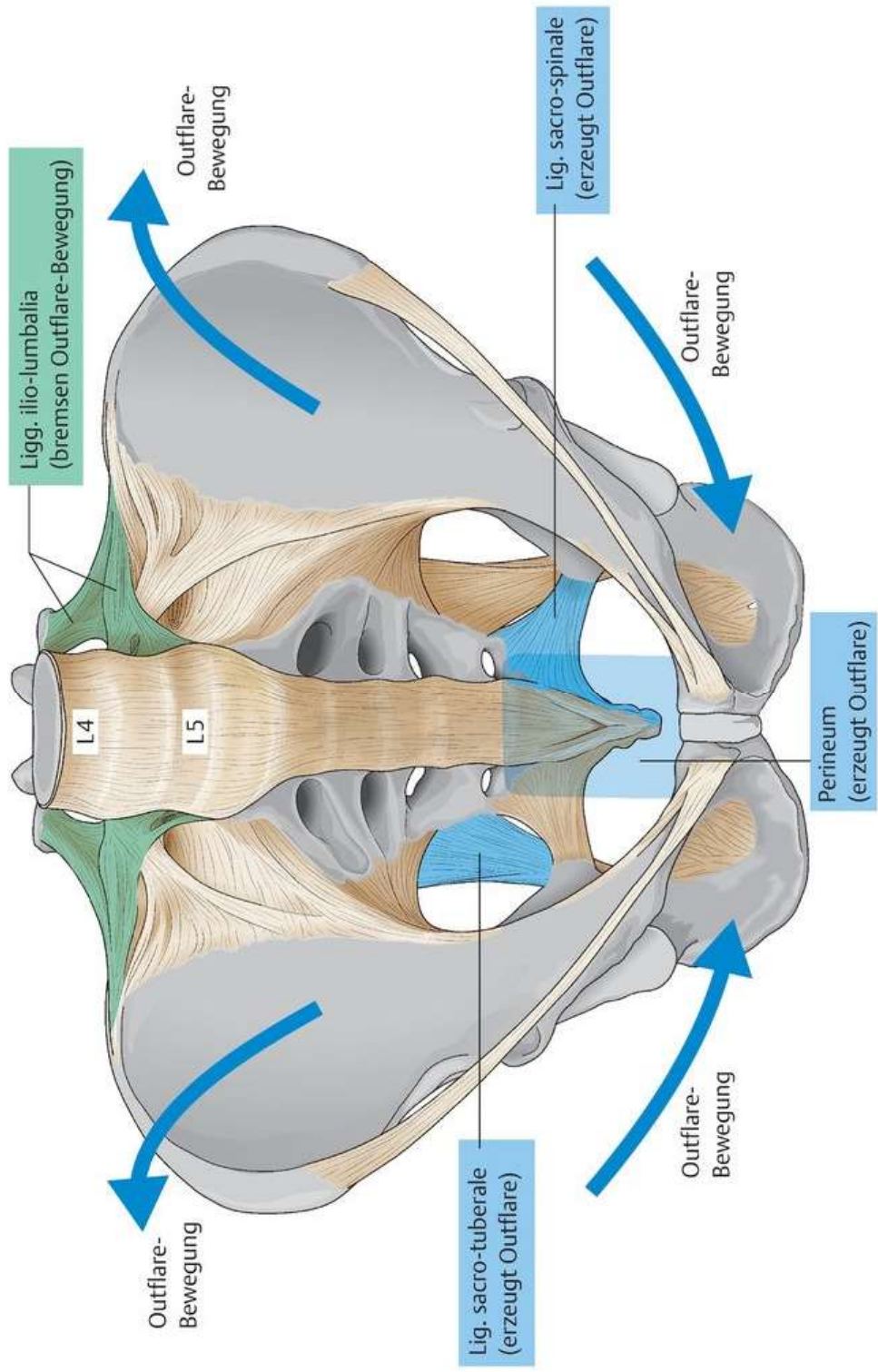
**ligg. iliolumbalia
unter Spannung**

**sips und sias nach
lateral**

**tuber ischiadicum
nach medial**



ilium anterior, outflare

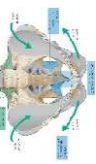
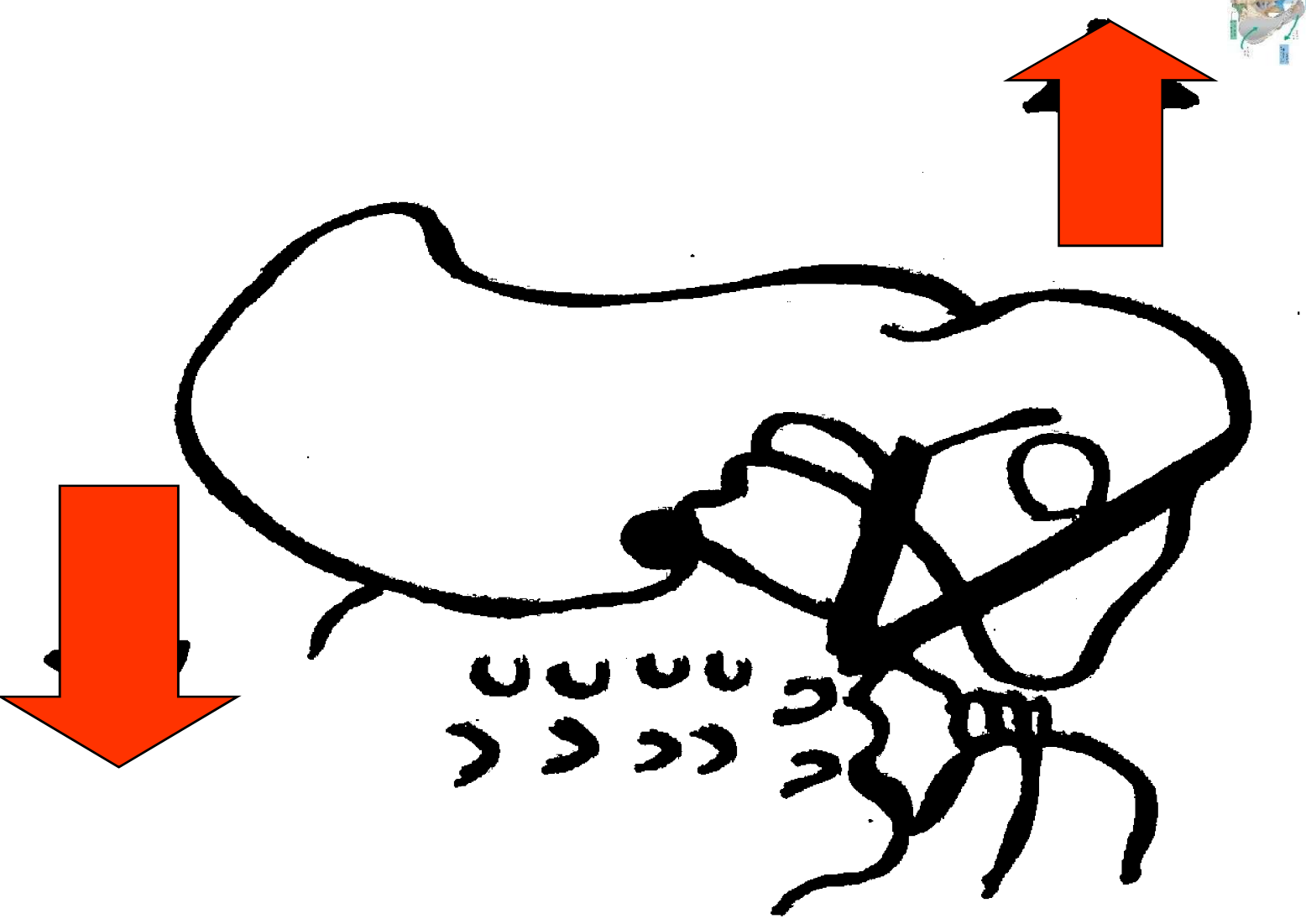


**ilium posterior,
inflare**

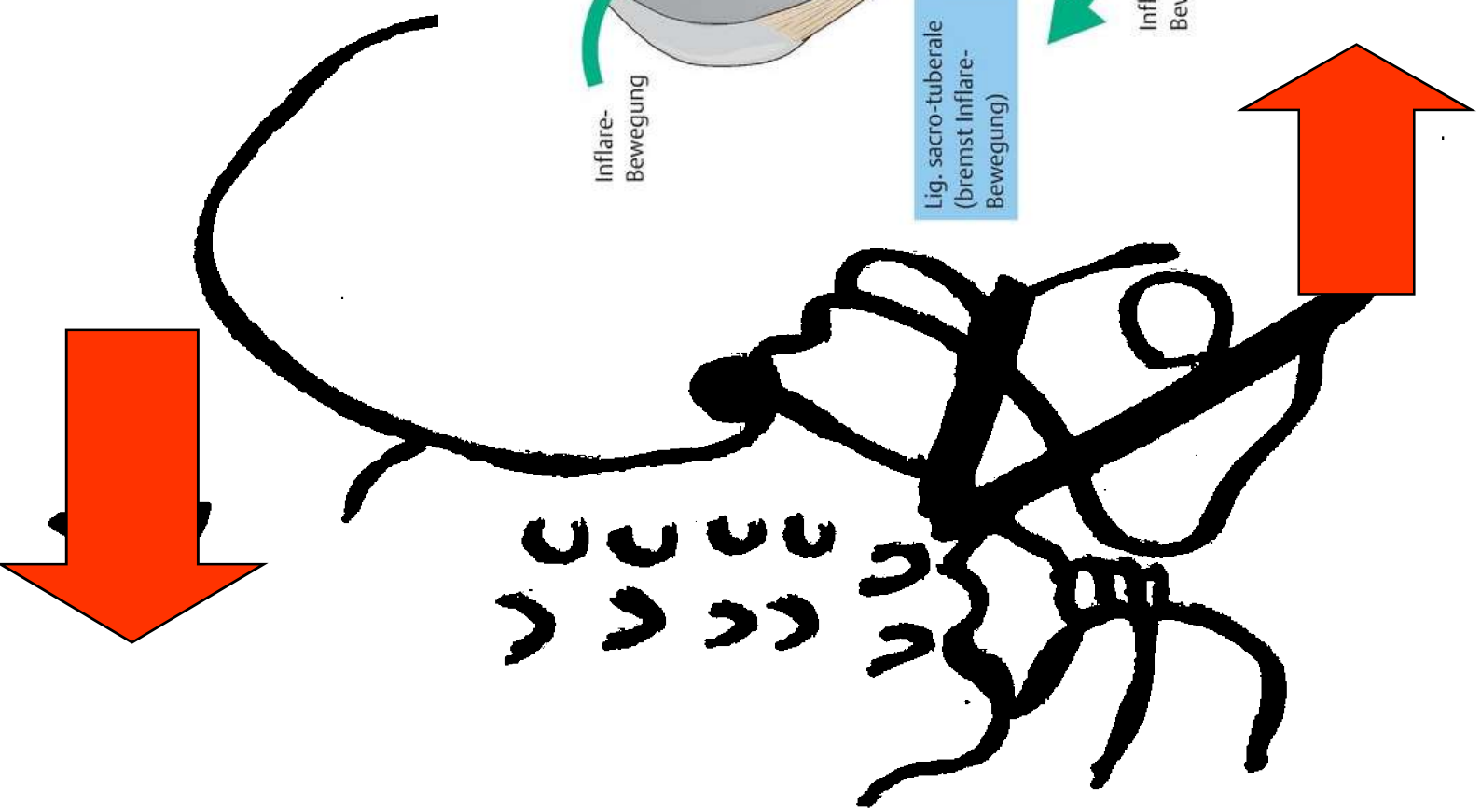
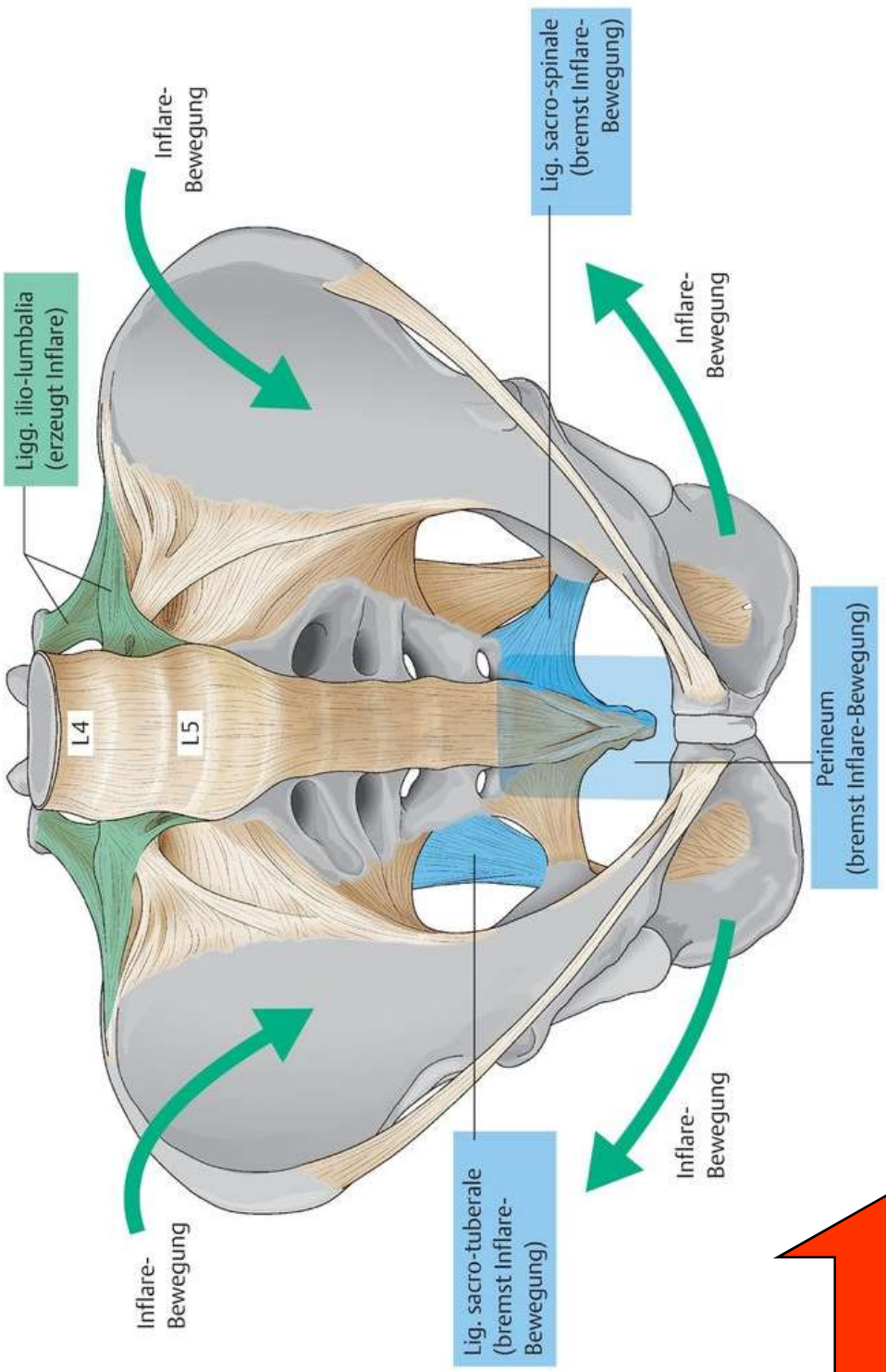
**sips und sias nach
medial**

**tuber ischiadicum
nach lateral**

**lig. sacrotubercle
und sacrospinale
unter spannung**



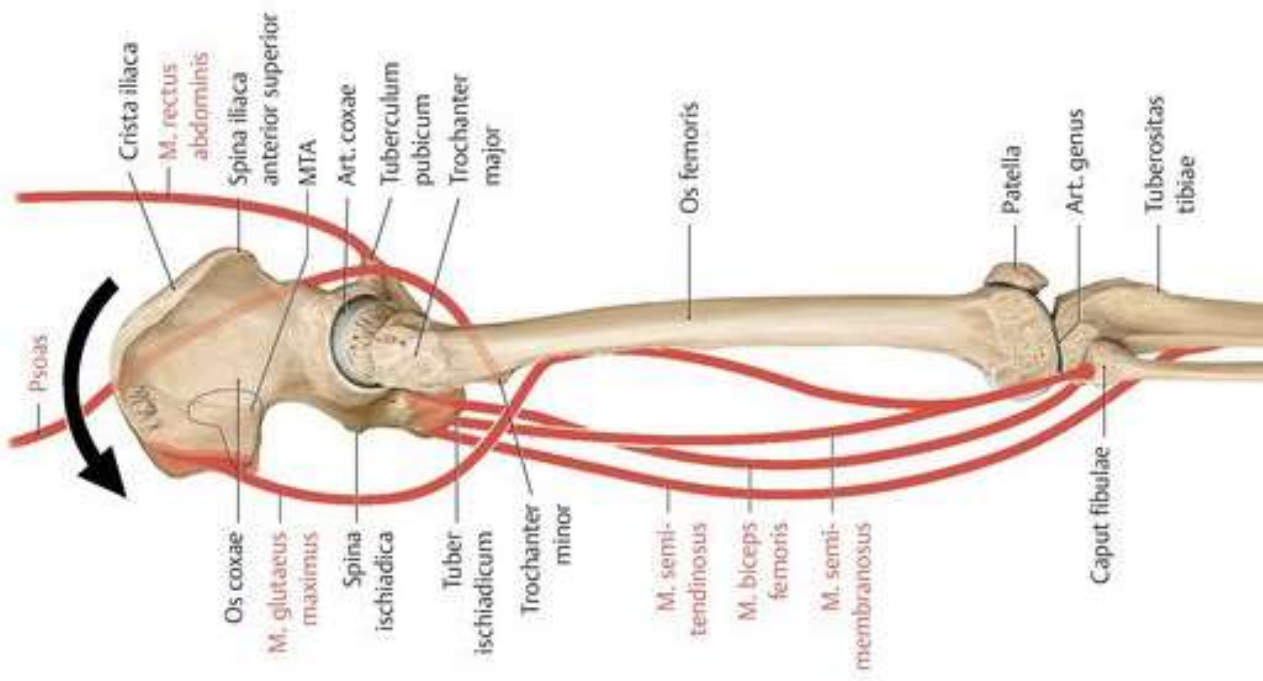
ilium posterior, inflare



ilium posterior, inflare

informativ:

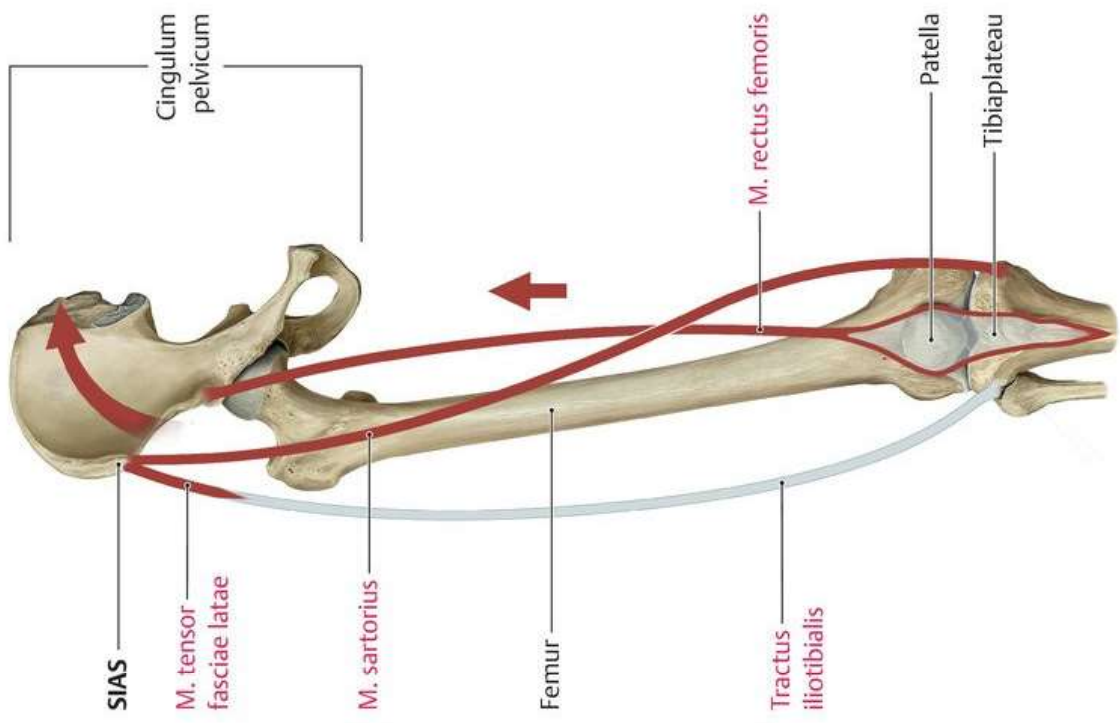
- m. biceps femoris**
- m. semitendinosus**
- m. semimembranosus**
- m. rectus abdominis**
- m. psoas major**



ilium posterior, inflare

informativ:

m. rectus femoris
m. gracilis
m. sartorius
m. tensor fasciae latae
lig. sacrospinale
lig. sacrotuberale
u.a.m.

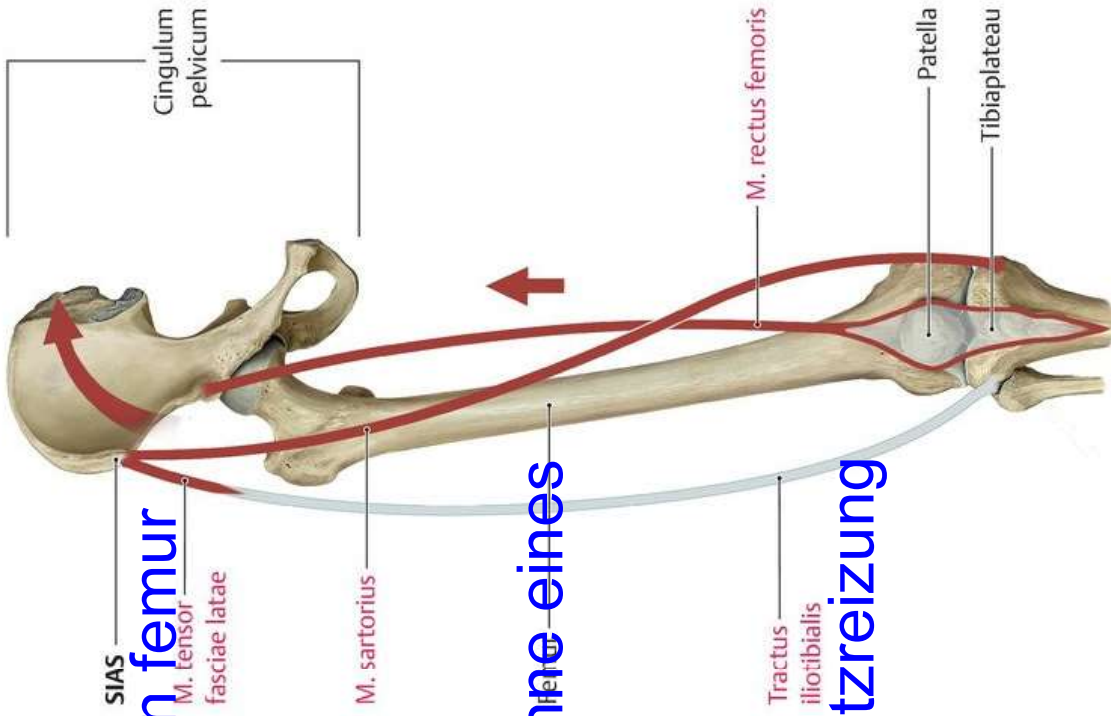


ilium posterior

Abb. 2.7 Absteigende UFK bei Dysfunktion Ilium Posterior, rechtes Bein, Ansicht von vorne. (Schünke M, Schulte E, Schumacher U. Prometheus. LernAtlas der Anatomie. Allgemeine Anatomie und Bewegungssystem. Illustrationen von M. Voll und K. Wesker. 4. Aufl. Stuttgart: Thieme; 2014: 410, Abb. 1.1Ba)

m. rectus femoris

erhöhter anpressdruck der patella an den femur
patellabasischmerz
femoropatellares schmerzsyndrom (fps)
patellaspitzen syndrom
schmerz des lig. patellae
tuberositas-tibiae-ansatztendinose im sinne eines
morbus osgood-schlatter



m. sartorius:

medialer knieschmerz infolge einer ansatzreizung
am pes anserinus profundus

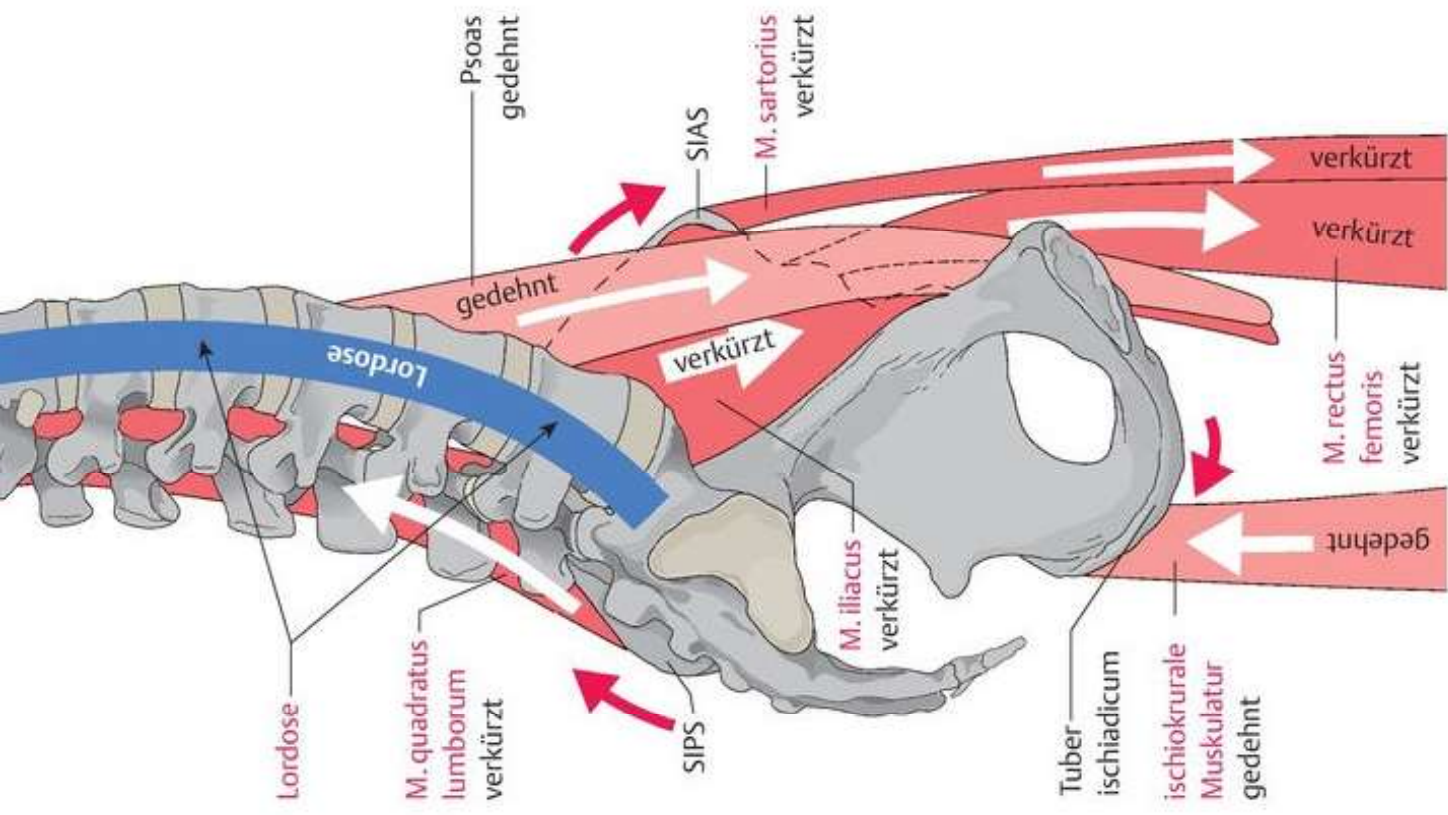
m. tensor fasciae latae:

lateraler knieschmerz infolge erhöhter tractus-illiotibialis-
spannung

ilium anterior, outflare

informativ:

- m. iliacus**
- m. quadratus lumborum**
- m. rectus femoris**
- m. sartorius**
- m. tensor fasciae latae**

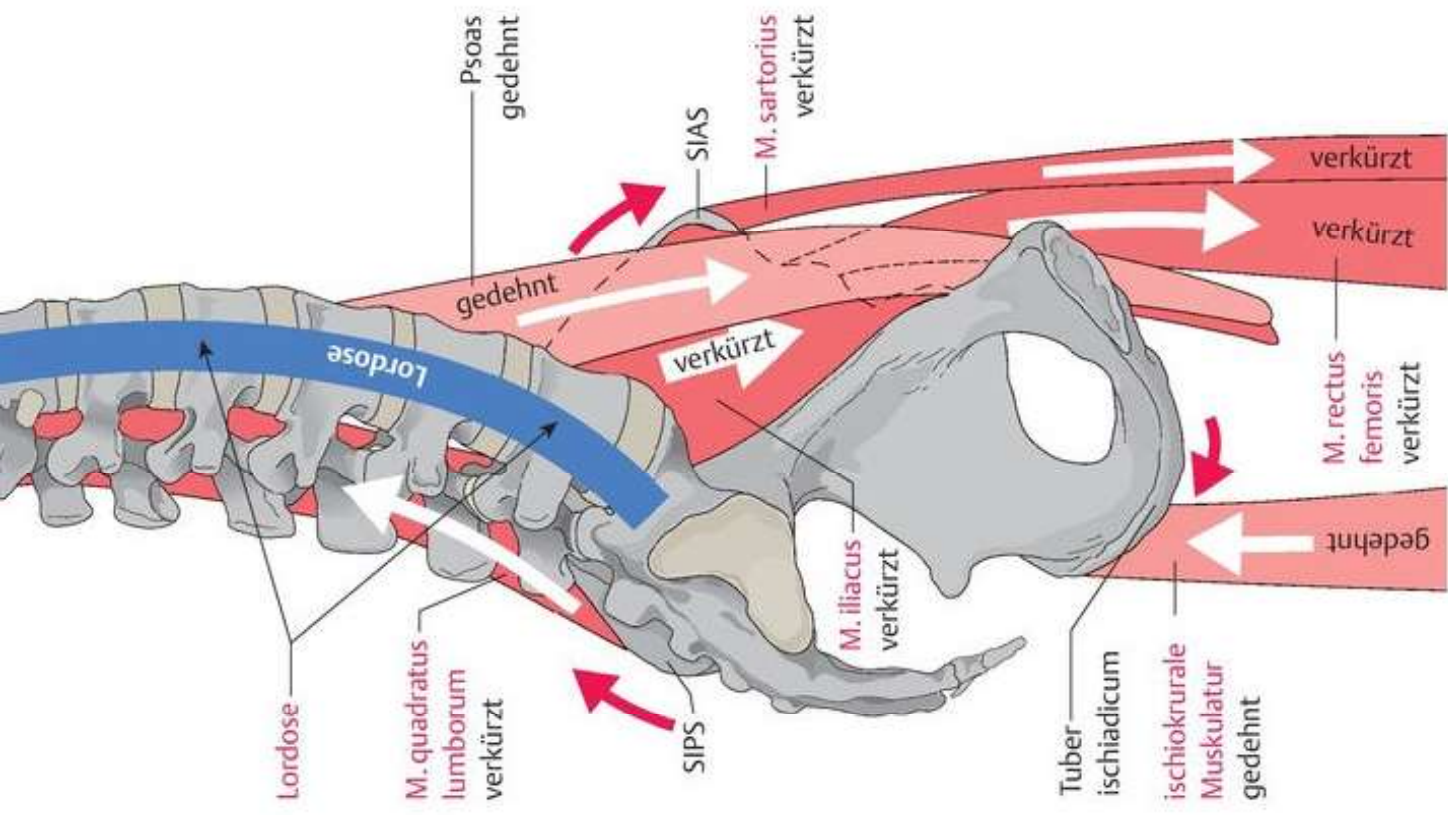


ilium anterior, outflare

informativ:

m. rectus abdominis
m. gluteus maximus

ligg. iliolumbalia
u.a.m.



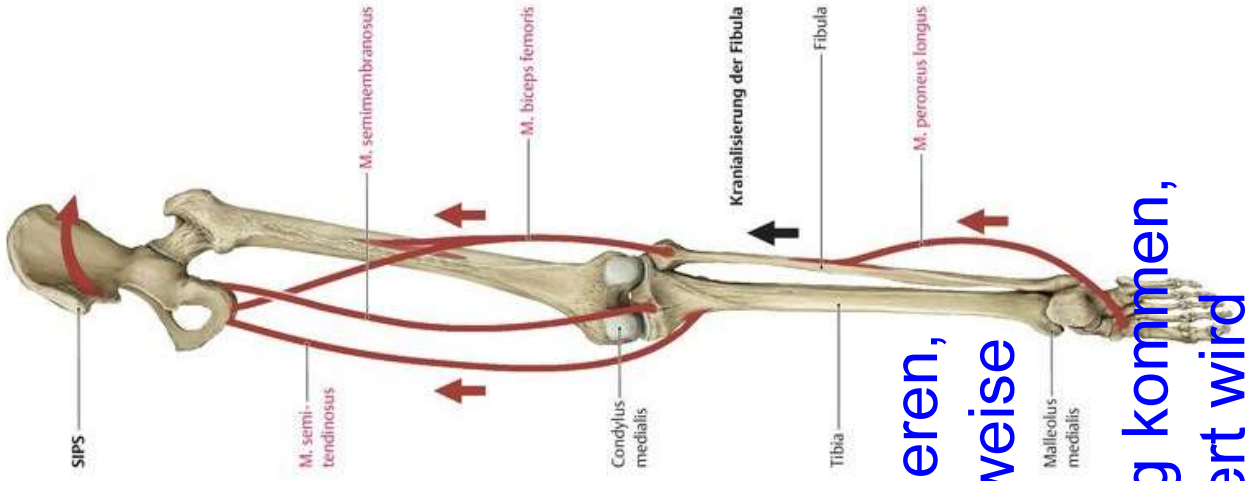
illium anterior

Abb. 2.7 Absteigende UFK bei Dysfunktion Ilium Posterior, rechtes Bein, Ansicht von vorne. (Schünke M, Schulte E, Schumacher U. Prometheus. LernAtlas der Anatomie. Allgemeine Anatomie und Bewegungssystem. Illustrationen von M. Voll und K. Wesker. 4. Aufl. Stuttgart: Thieme; 2014: 410, Abb. 1.1Bb)

m. semitendinosus

kann einen medialen knieschmerz auslösen

kann die vollständige kniestreckung mit
der dazugehörigen aro limitieren



m. semimembranosus

kann einen medialen knieschmerz an der
kapsel verursachen

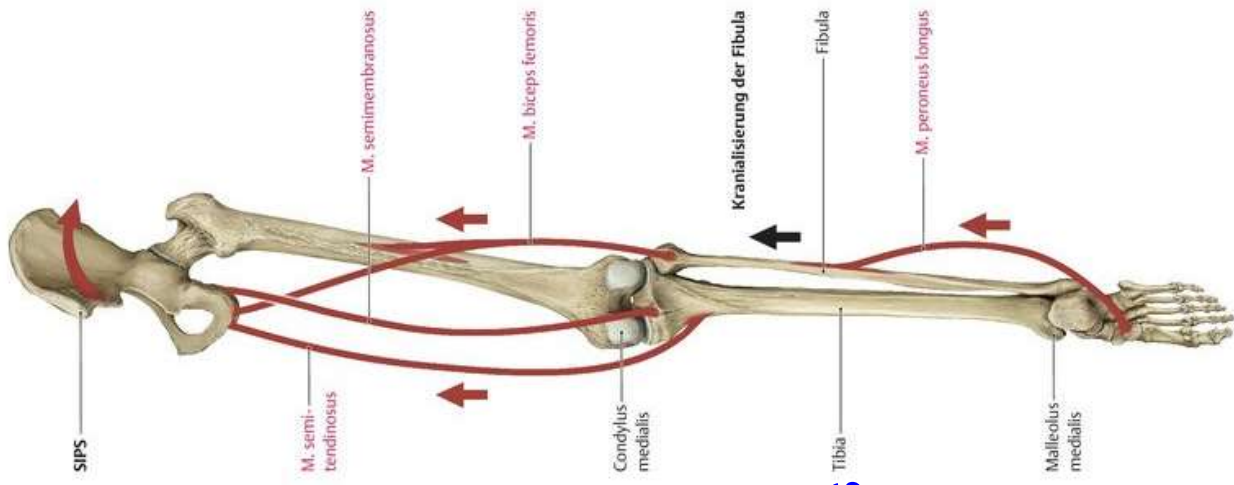
kann die vollständige kniestreckung mit
deren außenrotation limitieren

kann den innenmeniskus nach dorsal ziehen / fixieren,
da bei der kneextension physiologischerweise
beide menisken nach ventral bewegen

kann es zum med. knieschmerz bei kniestreckung kommen,
wenn der innenmeniskus nach dorsal fixiert wird

ilium anterior

Abb. 2.7 Absteigende UFK bei Dysfunktion Ilium Posterior, rechtes Bein, Ansicht von vorne. (Schünke M, Schulte E, Schumacher U. Prometheus. LernAtlas der Anatomie. Allgemeine Anatomie und Bewegungssystem. Illustrationen von M. Voll und K. Wesker. 4. Aufl. Stuttgart: Thieme; 2014: 410, Abb. 1.1Bb)



m. biceps femoris

kann das caput fibulae (mit der gesamten fibula)
kranialisieren → lateraler knieschmerz

m. peroneus longus:

zug nach kranial: cuboid-iro, da er das cuboid
als hypomochlion nutzt
navikulare-aro, aufgrund des zahnradphänomens
zwischen cuboid und navikulare wird
dieses oft in eine aro gedrängt

weitere mechanische Folgeketten, aufsteigend

ilium anterior links

sacrum nutation und torsion links

lws in rotation links und lateralflexion rechts

bws in lateralflexion links und rotation rechts

- ⇒ pectoralis rechts hypertonus
- ⇒ tos (thorax-auslass-syndrom)
- ⇒ nervale-vasale-ursache tennisellenbogen

hws in lateralflexion rechts und rotation rechts

- ⇒ facettenproblematik c5-c7
- ⇒ nervale ursache tennisellenbogen



weitere mechanische Folgeketten, aufsteigend

ilium anterior links

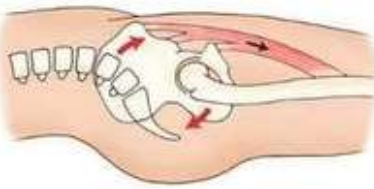
Manus Fasziopathie®



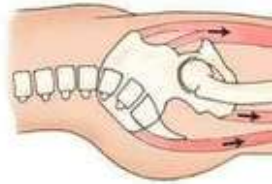
Pro- und Retraktion ISG

Retraktion ISG

TIGHT HIP FLEXORS CAN GIVE YOU
A HEADACHE



Anterior tilt of the pelvis



Vorsicht:

- „Fehlstellungen“
- Kompensationsmuster
- Ursache-Folge-Ketten

weitere mechanische Folgeketten, aufsteigend

ilium anterior links

sacrum nutation und torsion links

lws in rotation links und lateralflexion rechts

bws in lateralflexion links und rotation rechts

- ⇒ pectoralis rechts hypertonus
- ⇒ tos (thorax-auslass-syndrom)
- ⇒ nervale-vasale-ursache tennisellenbogen
- schultergelenk links in protraktion und innenrotation -> impingement-syndrom
- ⇒ arm in innerrotation und flexion
- ⇒ außenrotatoren und extensoren hypertonus
- > epicondylitis

KAPITEL 4

Die Oberflächliche Rückenlinie

Diese erste Linie, die Oberflächliche Rückenlinie (ORL) (Abb. 4.1) wird recht detailliert beschrieben, um einige generelle und spezifische Konzepte zu den Anatomischen Zuglinien zu verdeutlichen. Die nachfolgenden Kapitel verwenden die Terminologie und den Aufbau, der in diesem Kapitel entwickelt wurde. Unabhängig davon, für welche Linie Sie sich interessieren, mag es hilfreich sein, zunächst dieses Kapitel zu lesen.

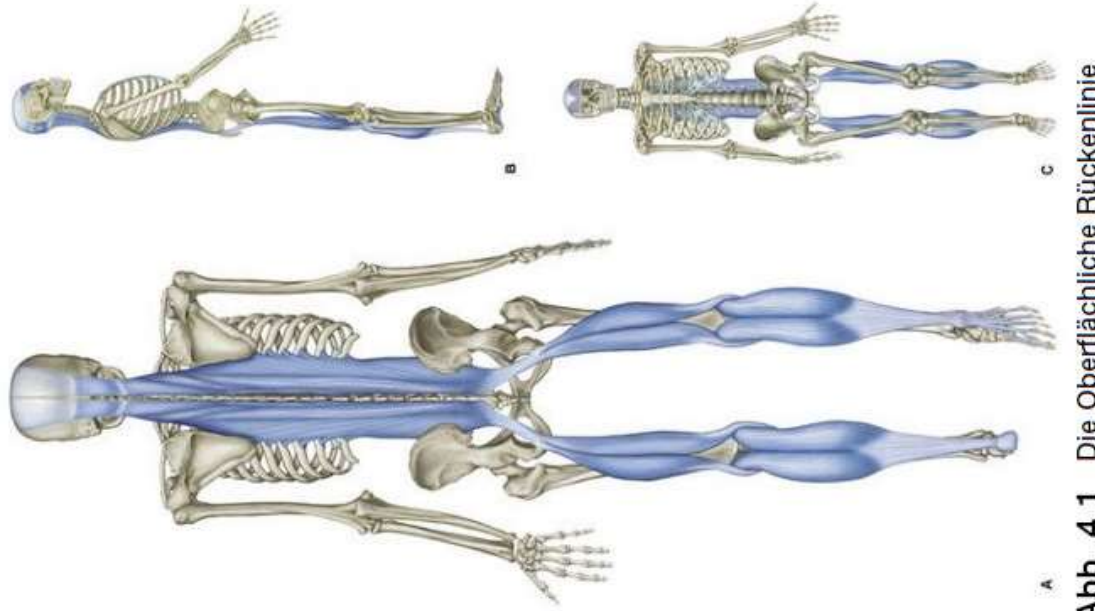


Abb. 4.1 Die Oberflächliche Rückenlinie

das longitudinale dorsale system (lds)

der begriff umfasst alle bindegewebsstrukturen, welche vom :

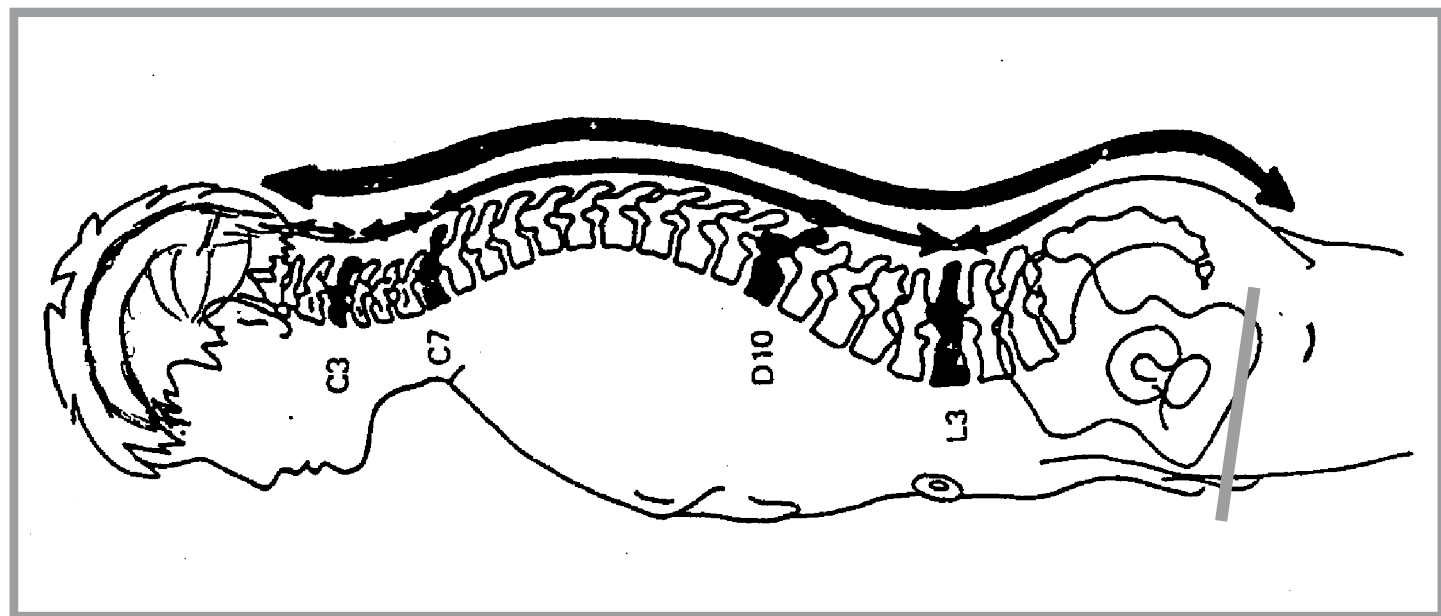
centrum tendineum perinei über das sacrum und die longitudinal verlaufende dorsale muskulatur zum occiput führt, um letztendlich über die falx cerebri zur crista galli zu gelangen
-> eine funktion des lds ist die aufrichtung - die anpassungsmechanismen beeinflussen die ausprägung der lordosen und kyphosen

so können wir beobachten, dass

die kyphosen abnehmen und lordosen zunehmen

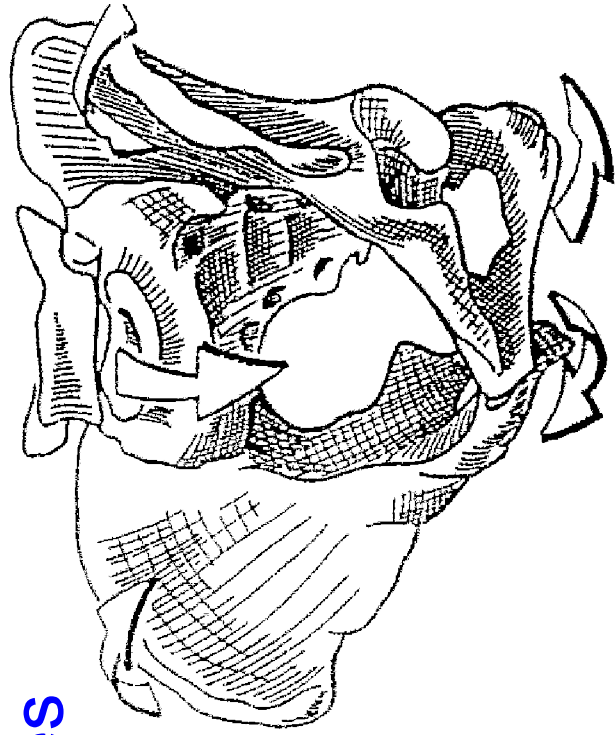
die abdom. cavität vergrößert wird und dadurch der abdom. druck verringert wird

die kraftvektoren des muskulären zuges so gerichtet sind, dass der körper sowohl strukturen stützen wie auch entlasten kann

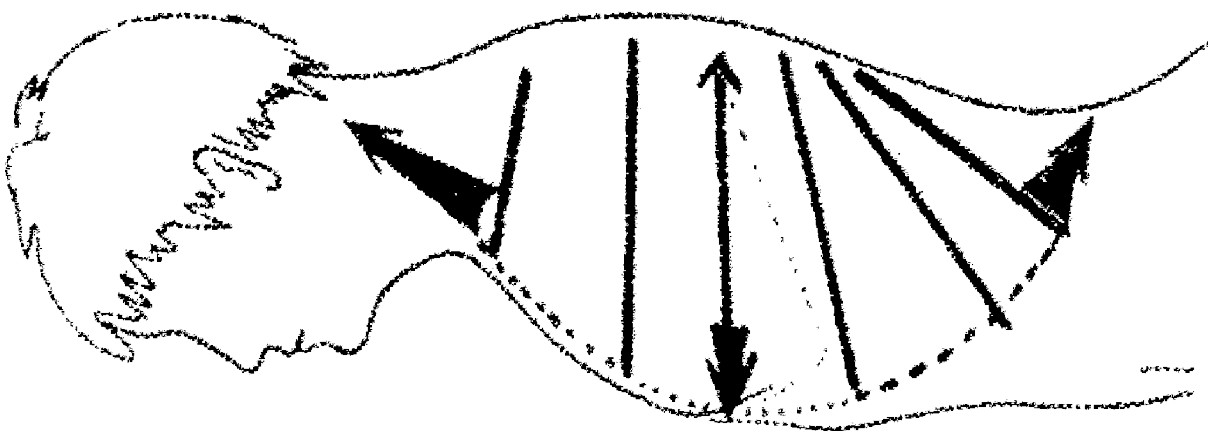


auswirkungen auf das Becken

- tonuserhöhung in der lws
- > lordose nimmt zu
- > horizontalisierung des sacrums
- > Kraftvektoren richten sich auf L3 aus
- > durch Verringerung des abdom. druckes wird der obere Beckeneingang geschlossen
- > weniger Druck auf das Eingeweide des kleinen Beckens
- > Beckenboden wird detonisiert
- > die Tuber Ischiad. entfernen sich voneinander



auswirkungen auf den thorax

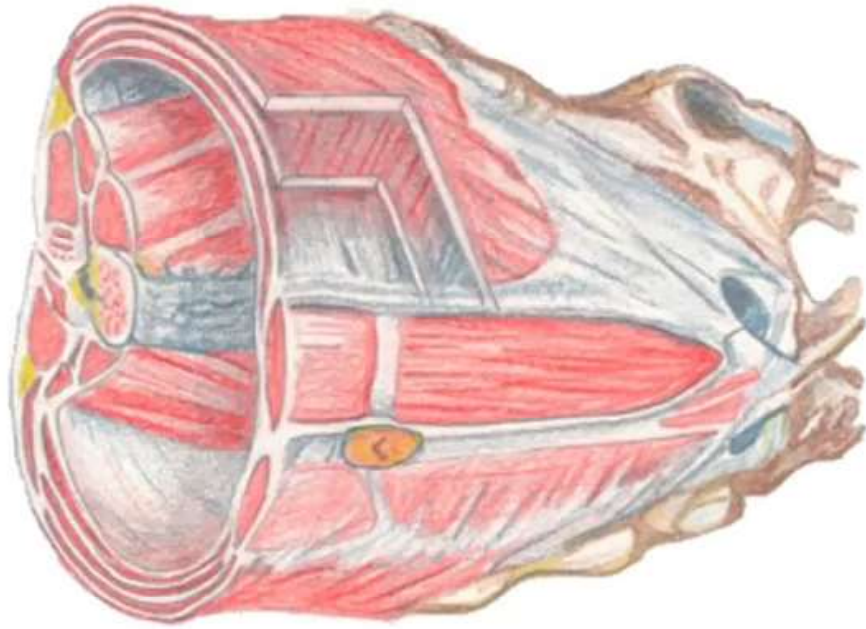


- tonuserhöhung in der bws
- > kyphose nimmt ab
- > thorax wird angehoben,
- relative einatemstellung
- > vermindering des abdominellen
drucks \Rightarrow s.o.
- > ausgleich durch einziehen der
lateralen thoraxseiten
und / oder absenken des
diaphragmas

iSG-problematiken

- hypomobilität
 - passive oder aktive mobilisation
- hypermobilität
 - aktive stabilisierung

Anatomie der Fascia profunda



Drei Faszienblätter des aktiven Bewegungsapparates

- Lamina superficialis
- Lamina media
- Lamina profunda

Faszienblatt des passiven Bewegungsapparates

- Lamina alta

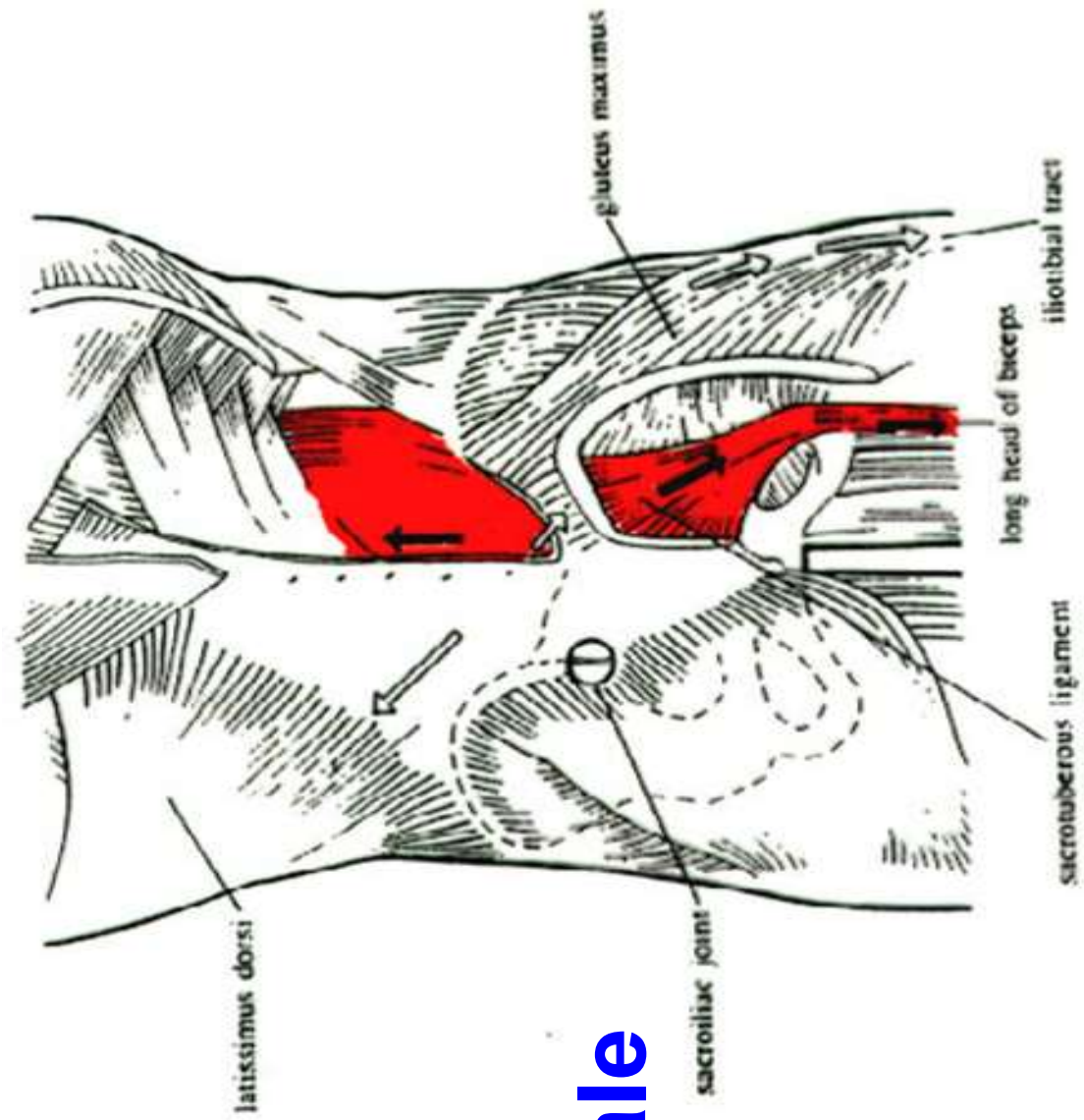
© Manus Fascia Center

längsverlaufende muskel-sehnen- faszien-schlinge

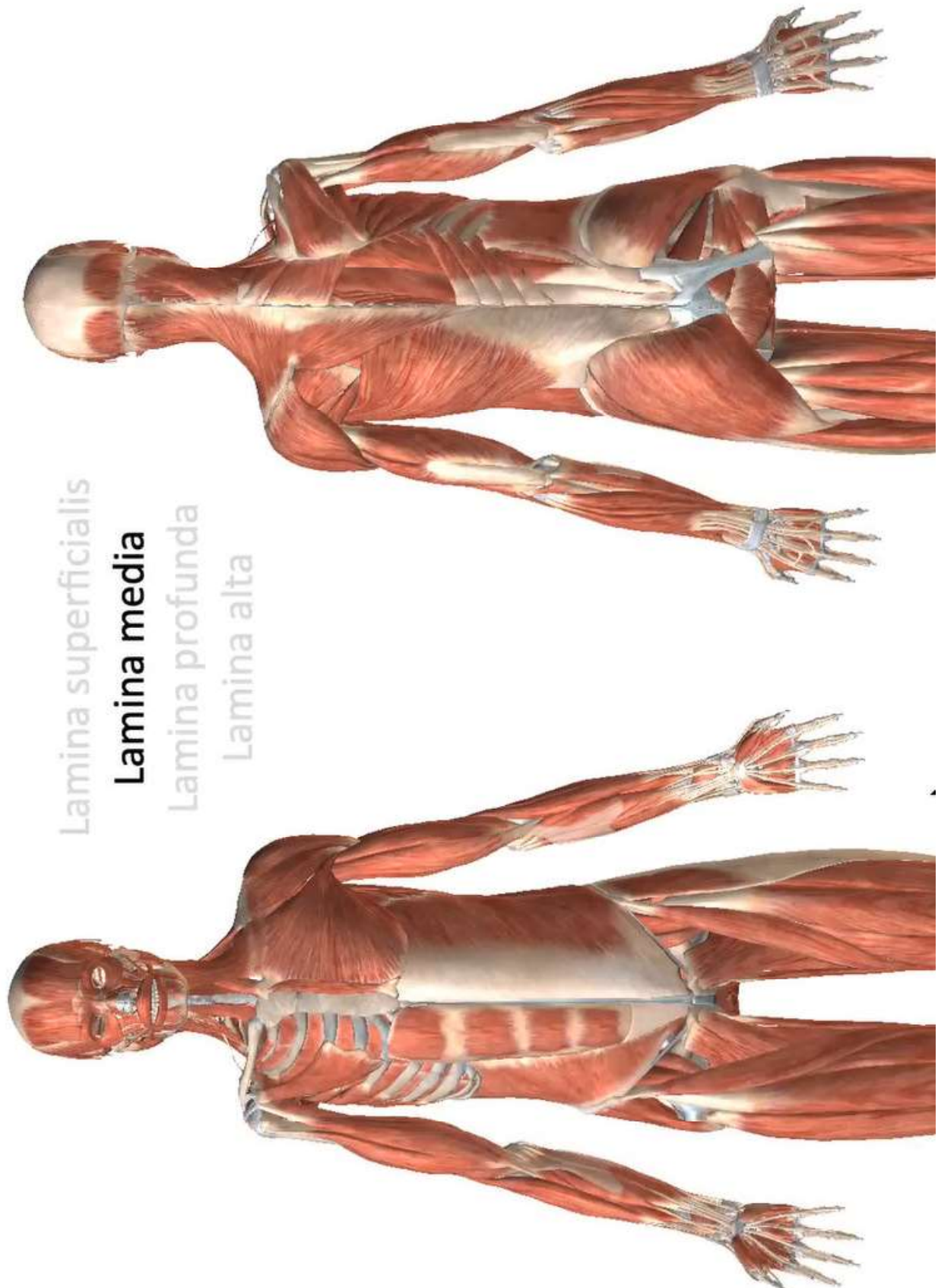
- **erector spinae**

- **lig. sacrotubercosum**

- **biceps femoris**



vleeming, mooney, stoeckart - movement stability
& lumbopelvic pain – 2nd edition, churchill
livingstone, 2007, fig. 8.9 p. 124

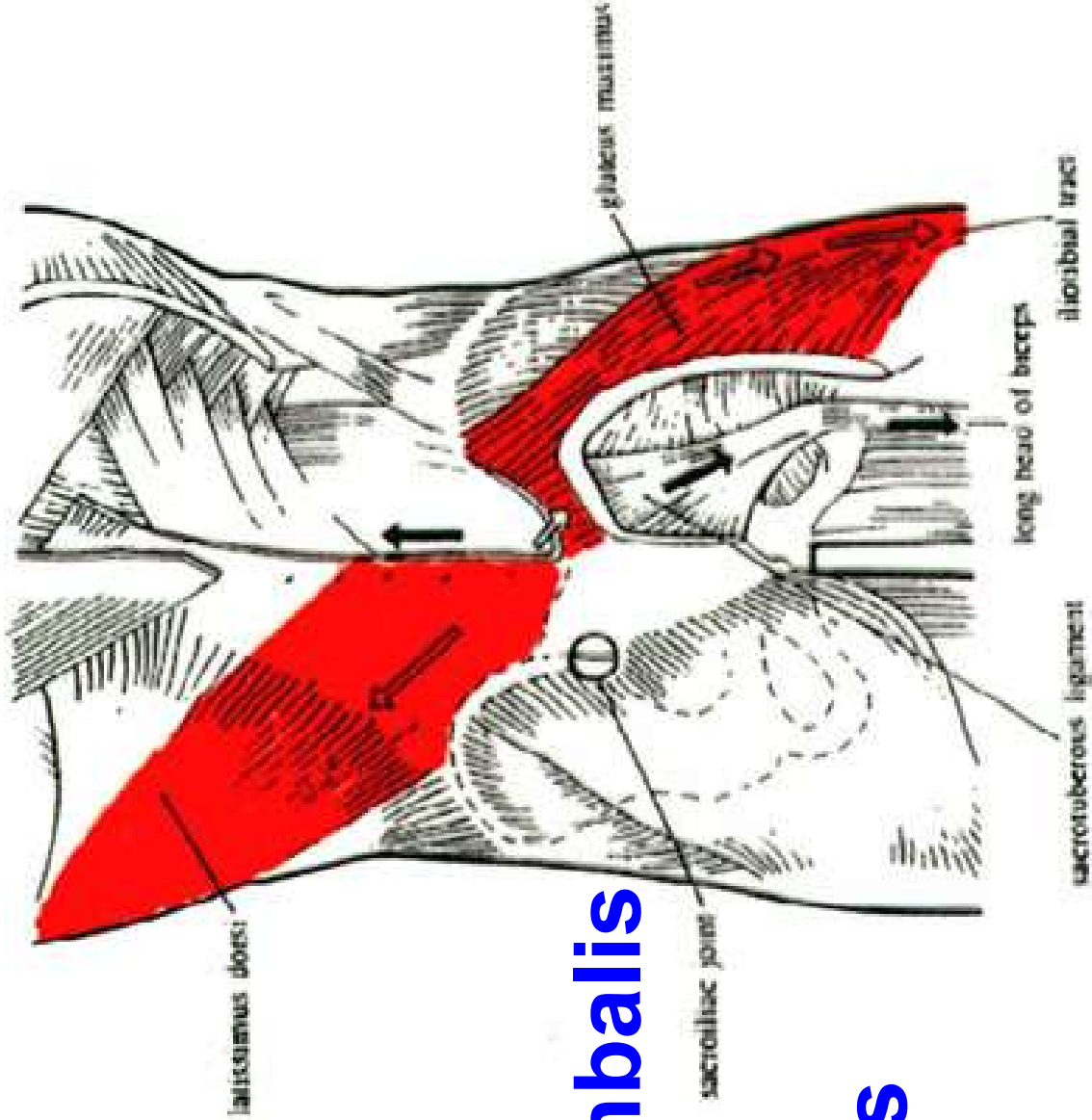


querverlaufende muskel-sehnen-faszien-schlinge

- **latissimus dorsi**

- **fascia thoracolumbalis**

- **gluteus maximus**



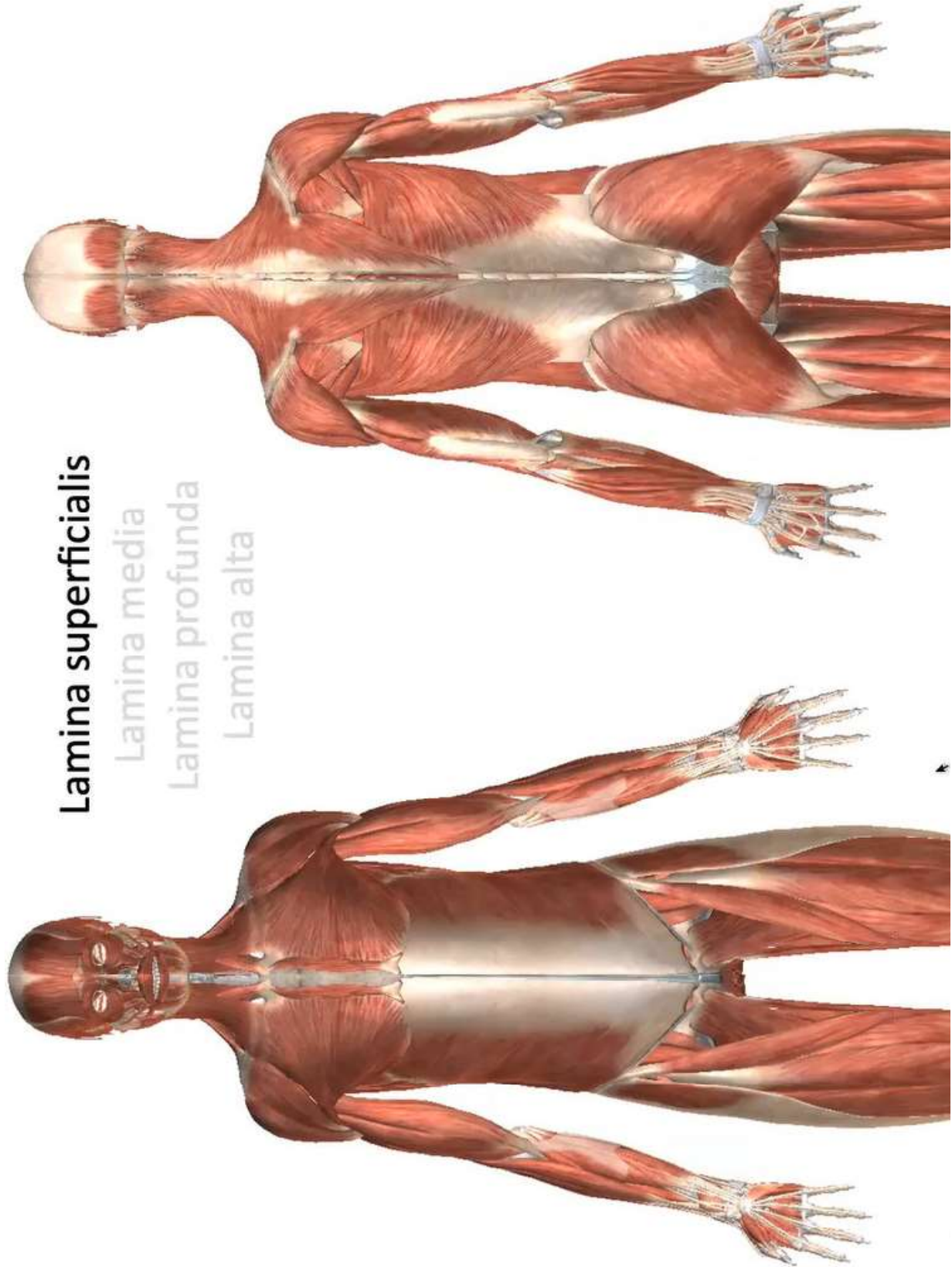
vleeming, mooney, stoeckart - movement stability
& limbopelvic pain – 2nd edition, churchill
livingstone, 2007

Lamina superficialis

Lamina media

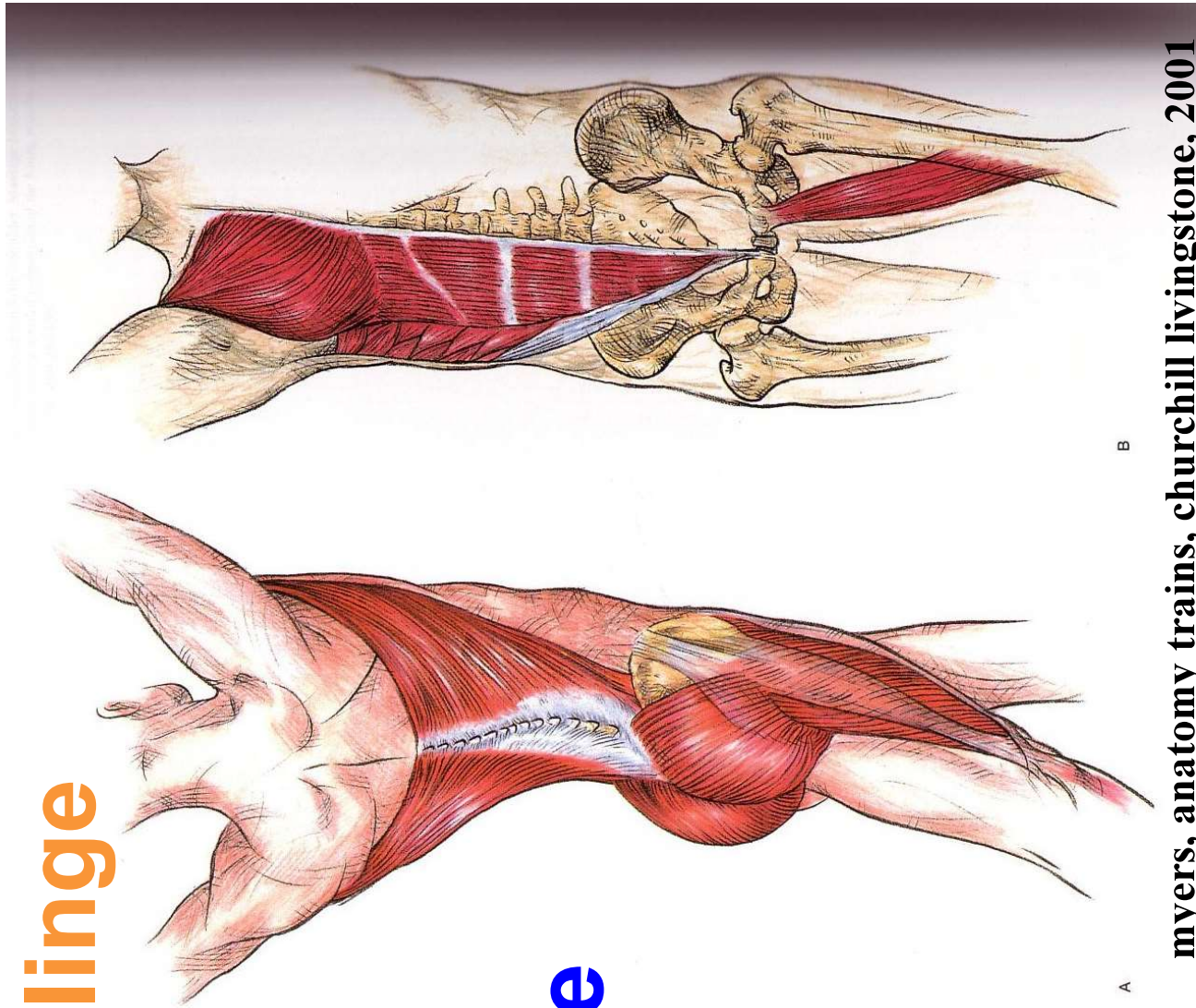
Lamina profunda

Lamina alta



quer verlaufende muskel-sehnen- faszien-schlinge

funktionelle
schlingen



myers, anatomy trains, churchill livingstone, 2001

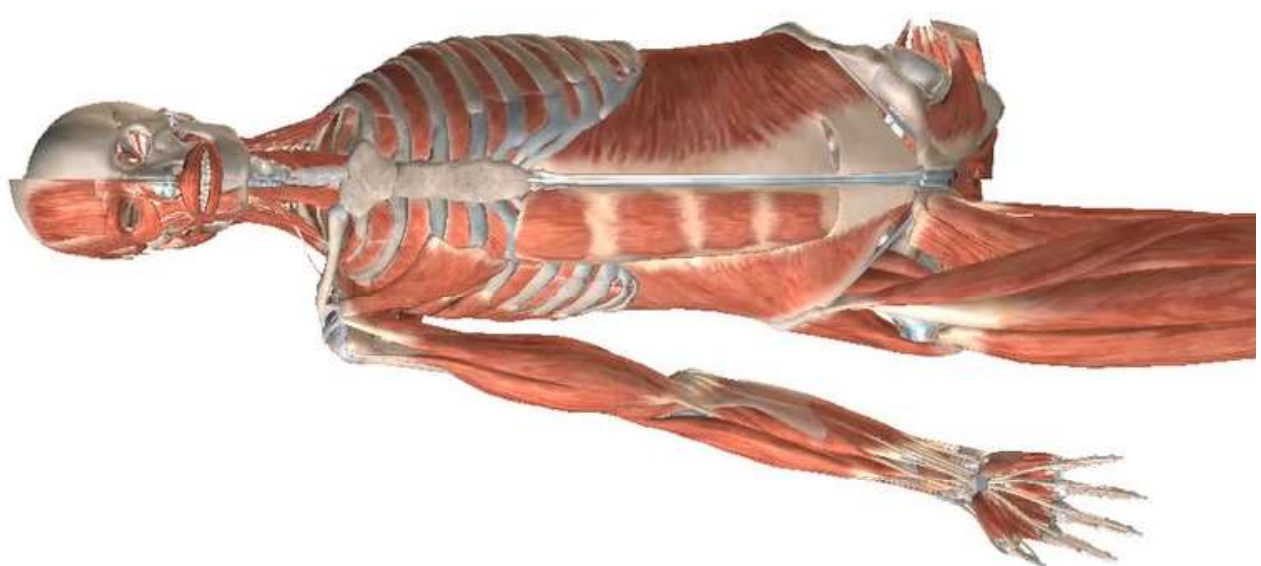


Lamina superficialis

Lamina media

Lamina profunda

Lamina alta



merke!

- **mobilisation**
- vor
- **stabilisation**

BEHANDLUNGSSCHEMATA - BEHANDLUNGSSTRATEGIEN

- TOD ODER LEBENDIG
- LOKAL -> GLOBAL
- URSÄCHLICH – KOMPENSATORISCH
 - PATHOLOGIE / THERAPIE
- MOBILISATION -> STABILISATION -> TRAINING
 - KOORDINATION / AUSDAUER / KRAFT / SCHNELLIGKEIT
- RETURN TO AKTIVITY -> RETURN TO COMPETITION

Sling Trainings Therapie



STT





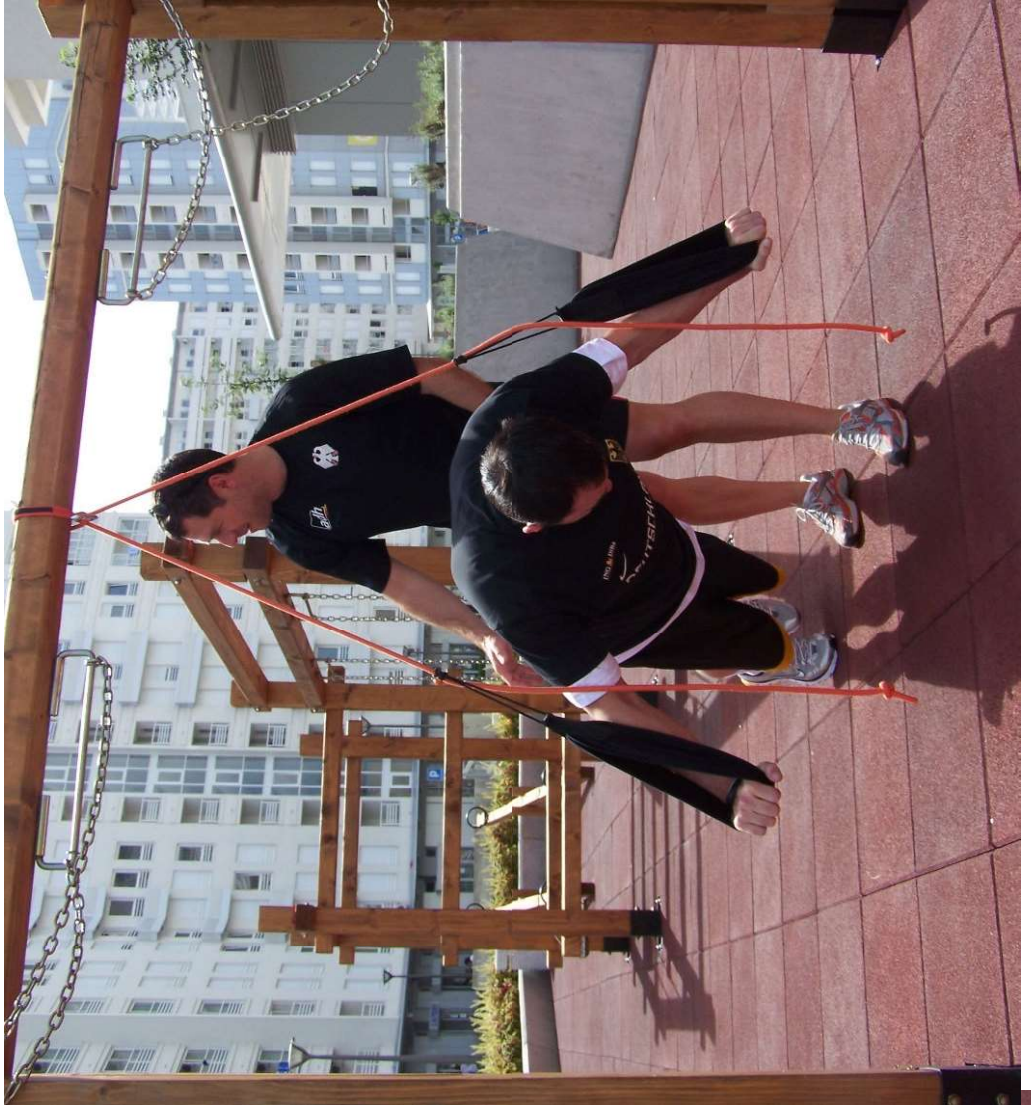






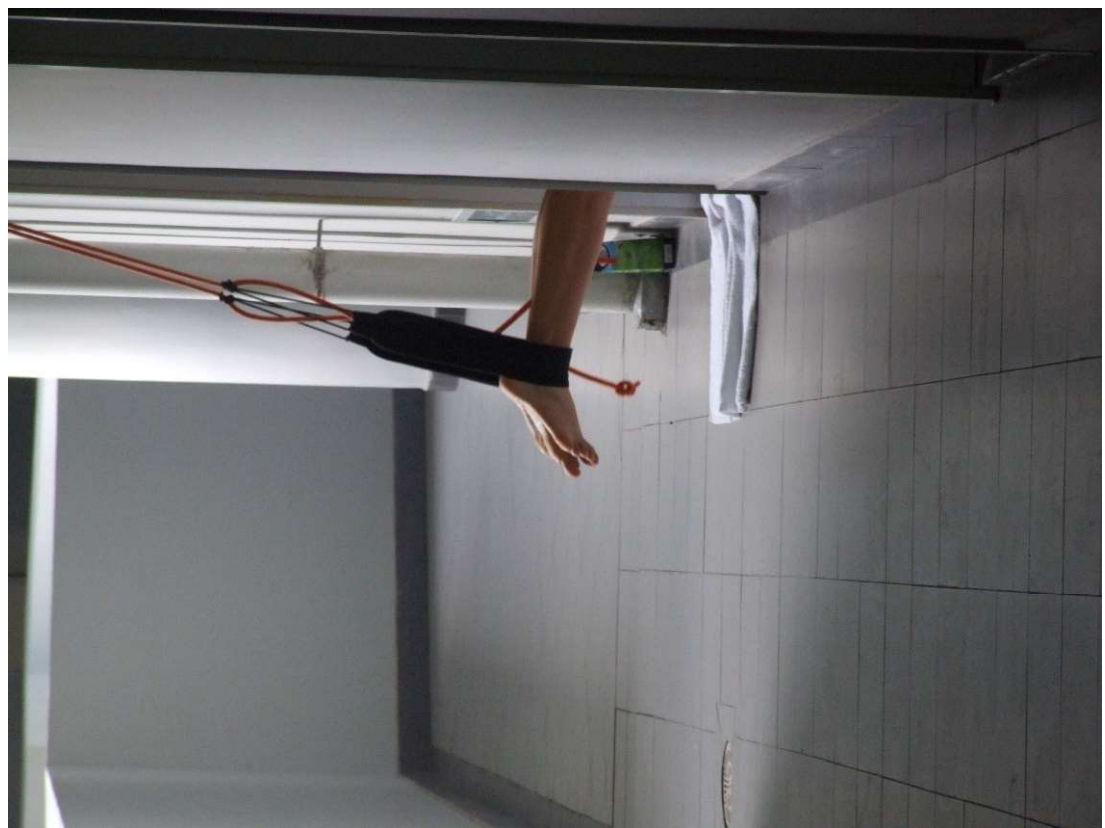
stützmuster - dynamisierung

universiade belgrad 2009
volleyball u. basketball



universiade shenzhen 2011 beachvolleyball und

leichtathletik





marcus böhme, 2,11 m, scc berlin



Sling Trainings Therapie



eine möglichkeit

vieren dank für die aufmerksamkeit



AUF EINEN BLICK

Bilder sagen mehr als tausend Worte - Mit dem Foto des Tages liefern wir euch exklusive Bilder unserer Athletinnen und Athleten des Team Deutschland Paralympics direkt aus Peking.

